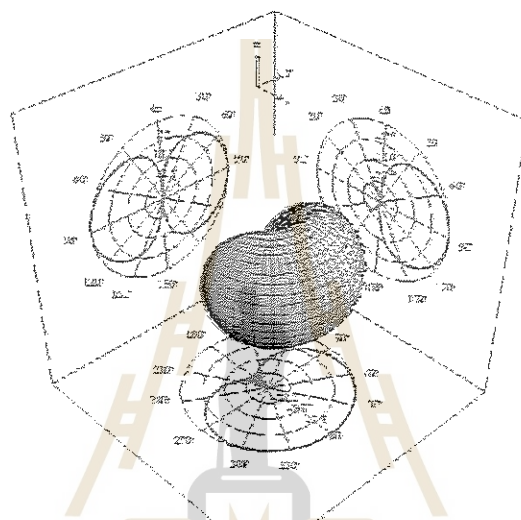




สรุปเนื้อหารายวิชา  
วิศวกรรมสายอากาศ



ผลิตโดย

นายพงษ์วนัติ สีลาเหลี่ยม นายสันติพงศ์ แตงขาว

และนายจักรพันธ์ ศรีวัฒน์

อาจารย์ที่ปรึกษา

ผู้ช่วยศาสตราจารย์ ดร.วังสรรค์ วงศ์สรรค์

สาขาวิชาวิศวกรรมโทรคมนาคม สำนักวิชาวิศวกรรมศาสตร์

มหาวิทยาลัยเทคโนโลยีสุรนารี

โครงการส่งเสริมให้นิสิต/นักศึกษาจัดทำสรุปเนื้อหารายวิชาในรูปแบบสื่ออิเล็กทรอนิกส์

สำนักงานคณะกรรมการการอุดมศึกษา กระทรวงศึกษาธิการ

## สารบัญ

คำอธิบายรายวิชา	๑
แนวคิดและวัตถุประสงค์	๒
สารบัญ	๙
<b>บทที่ ๑ ทฤษฎีวิเคราะห์แบบทั่วไปของสถาปัตยกรรมสายนอกพื้นฐาน.....</b>	<b>๑</b>
หน่วยที่ ๑-๑ แบบรูปการແຜ่กระจายคลื่นของสายอากาศໄດ້ໂພලຄົງກລິນ.....	๒
หน่วยที่ ๑-๒ แบบรูปการແຜ่กระจายคลื่นของທ່ອນນຳຄລິນເປີດ.....	๘
หน่วยที่ ๑-๓ อัตราขยายของสายอากาศປາກແຕຣທຽງພື້ຮະນິດ.....	๑๔
หน่วยที่ ๑-๔ การทดลองด้วยสายอากาศໄດ້ໂພລຄວາມຍາວ $\lambda/2$ , $\lambda$ และ $3\lambda/2$ .....	๒๒
หน่วยที่ ๑-๕ สายอากาศໄດ້ໂພລຄົງກລິນແນບພັບແລກປະເປົ້າມີແຜນຫຼັງດ້ວຍນາລັນ.....	๒๘
<b>บทที่ ๒ ทฤษฎีเชิงปฏิบัติการสายอากาศชนิดต่างๆ.....</b>	<b>๓๘</b>
หน่วยที่ ๒-๑ สายอากาศโนโนໂພລ.....	๓๙
หน่วยที่ ๒-๒ สายอากาศແນບປ່ວງ.....	๔๕
หน่วยที่ ๒-๓ การໂພລາໄຣໜີແນບວົງກລມແລກປະເປົ້າມີແຜນເກລື້ອງ.....	๕๒
หน่วยที่ ๒-๔ สายอากาศແຄວຄໍາດັນປ່ວຍສິຕີ (ຢາກີ-ອຸດະ).....	๖๐
<b>บทที่ ๓ ทฤษฎีเชิงปฏิบัติการ สายอากาศໃນໂຄຮສຕຣີປແລກປະເປົ້າມີແຜນແຄວຄໍາດັນ.....</b>	<b>๖๕</b>
หน่วยที่ ๓-๑ สายอากาศແນບແຄວຄໍາດັນ: สายอากาศແນບຮ່ອງ.....	๖๖
หน่วยที่ ๓-๒ ເທັກໂນໂລຢີຂອງสายอากาศໃນໂຄຮສຕຣີປ: สายอากาศແພທ໌ຮູ້ປົ້ນສື່ເຫຼື່ອນນຸ່ມຈາກ.....	๗๓
หน่วยที่ ๓-๓ สายอากาศແຄວຄໍາດັນຮະນານແບນໃນໂຄຮສຕຣີປ.....	๘๒
เอกสารอ้างอิงและแหล่งวิทยากร	๘๘

## คำอธิบายรายวิชา

สำหรับเนื้อหาของรายวิชา วิศวกรรมสายอาชญาศาสตร์ ประกอบไปด้วย ทฤษฎีสายอาชญาศาสตร์ขั้นพื้นฐานของสายอาชญาศาสตร์แบบเด่นลวด สายอาชญาศาสตร์แบบอะเพอร์เจอร์ สายอาชญาศาสตร์โดยความขาวคริ่งคลื่นทั้งแบบเด่นตรงและแบบพับ พารามิเตอร์ที่สำคัญของสายอาชญาศาสตร์ เช่น แบบรูปการแผ่กระจายกำลังงาน อัตราขยาย และการโพล่าร์ซ์ของสายอาชญาศาสตร์ นอกจากนี้จะมีการอธิบายถึงสายอาชญาศาสตร์ที่มีคุณภาพสูง เช่น สายอาชญาศาสตร์จำลองปรับสี สายอาชญาศาสตร์จำลองชนิดร่อง และชนิดไมโครสเตรป เทคนิคการแมตช์สายอาชญาศาสตร์วิบากลัน

## แนวคิดและวัตถุประสงค์

ในปัจจุบันได้มีความพยายามในการพัฒนาเทคโนโลยีใหม่ๆ หลากหลายรูปแบบ มาช่วยทำให้ระบบสื่อสารมีประสิทธิภาพสูงสุดและทันสมัยอย่างไม่หยุดยั้ง แต่เทคโนโลยีเกือบทั้งหมดยังคงมีความจำเป็นต้องใช้คลื่นวิทยุมาเป็นตัวกลางในการรับส่งข่าวสารไปสู่จุดหมายเข้าเดิม ซึ่งอุปกรณ์ที่สำคัญที่สุดที่ใช้ในการแพร่กระจายกำลังงานคลื่นวิทยุออกไปสู่จุดหมายปลายทางที่ต้องการ คือ สายอาชญาศาสตร์ นั่นเอง ดังนั้นจึงมีความจำเป็นอย่างยิ่งที่จะต้องพัฒนาเอกสารหรือสื่อที่ใช้ในการเรียนการสอนวิศวกรรมสายอาชญาศาสตร์ ที่มีระดับของการเรียนรู้อยู่ในระดับที่สามารถให้ผู้ศึกษาสามารถศึกษาด้วยตนเองได้ โดยสามารถศึกษาได้จากรูปแบบที่เป็นสื่ออิเล็กทรอนิกส์ประกอบกับสื่อที่เป็นตำราขนาดที่พอเหมาะประกอนกันไป

สำหรับสื่อการศึกษาในรูปแบบสื่ออิเล็กทรอนิกส์วิศวกรรมสายอาชญาศาสตร์นี้ ได้สรุป เรียนเรียง และพัฒนามาจากการเรียนการสอนในวิศวกรรมสายอาชญาศาสตร์ และบางส่วนที่เป็นประโยชน์ในทางปฏิบัติ จากการเรียนการสอนวิชาปฏิบัติการวิศวกรรมโทรคมนาคม 1 ของสาขาวิชาวิศวกรรมโทรคมนาคม สำนักวิชาวิศวกรรมศาสตร์ มหาวิทยาลัยเทคโนโลยีสุรนารี จังหวัดนครราชสีมา ได้ใช้ประกอบการเรียนการสอนภาคทฤษฎีขั้นพื้นฐานที่จำเป็นควบคู่ไปกับการศึกษาภาคทฤษฎีที่เน้นหนักในแนววิเคราะห์และคำนวณไปพร้อมๆ กัน เพื่อมาย่วยเสริมสร้างความรู้ให้กับนักศึกษาได้อย่างหนึ่ง ซึ่งจะได้ประโยชน์โดยทางตรงก็คือ นักศึกษามาสามารถนำไปทบทวนเมื่อไปพบกับปัญหาขณะทำงานจริงได้เป็นอย่างดี

ทั้งนี้ทางคณะกรรมการผู้ผลิตหวังว่าสื่อการศึกษาอิเล็กทรอนิกส์วิศวกรรมสายอาชญาศาสตร์นี้ จะจะให้ประโยชน์ทางการศึกษาก่อผู้ที่ศึกษาและนำไปใช้งานได้เป็นอย่างดี เนื่องจากมีเนื้อหาที่เข้าใจง่ายและเรียนแบบสนุก คุณความคืบของสื่อการศึกษาชุดนี้ ข้อมูลอุปกรณ์ให้กับบุรุพคนอาจารย์ มีความราคา และผู้มีพระคุณซึ่งเป็นที่รักและเคารพทุกท่าน

นักศึกษา : นายพงษ์ภัตติ สีลาเหลี่ยม นายสันติพงศ์ แดงขาว

และนายจักรพันธ์ ศรีรัตน์

อาจารย์ที่ปรึกษา : ผู้ช่วยศาสตราจารย์ ดร.รังสรรค์ วงศ์สรรค์

สาขาวิชาวิศวกรรมโทรคมนาคม

สำนักวิชาวิศวกรรมศาสตร์

มหาวิทยาลัยเทคโนโลยีสุรนารี

# บทที่ 1

## ทฤษฎีวิศวกรรมสายอากาศพื้นฐาน

### (Basic Antenna Engineering Theory)

#### กล่าวนำ

ในบทนี้นักศึกษาจะได้ศึกษาและทำความเข้าใจสายอากาศพื้นฐานสองประเภท ได้แก่ สายอากาศแบบเส้นลวด (Wire Antenna) และสายอากาศแบบอะเพอร์เจอร์ (Aperture Antenna) โดยจะเรียนรู้คุณลักษณะที่สำคัญของสายอากาศ เช่น แบบรูปการแผ่กระจายกำลังงาน (Radiation Pattern) ความกว้างลำดัน (Beamwidth) อัตราขยาย (Gain) อิมพีเดนซ์ (Impedance) และการโพลาไรซ์ (Polarization)

การศึกษาพื้นฐานของสายอากาศในบทเรียนนี้ จะใช้วิธีการวัดคุณลักษณะพื้นฐานที่สำคัญของสายอากาศ และนำมาเปรียบเทียบกับสายอากาศที่แตกต่างกัน โดยสายอากาศได้โพลจะถูกนำมาใช้เป็นตัวอย่างของสายอากาศแบบเส้นลวด (Wire Antenna) และสายอากาศปากแตรจะถูกใช้เป็นตัวอย่างของสายอากาศแบบอะเพอร์เจอร์ (Aperture Antenna) โดยขนาดของสายอากาศจะสัมพันธ์กับความถี่ปฏิบัติการ (Operating Frequency) หรือความยาวคลื่น (Wavelength) ด้วยเหตุนี้ขนาดของสายอากาศที่ความถี่ใดๆ จึงมักจะกำหนดจากความยาวคลื่นของความถี่นั้นๆ สำหรับหัวข้อที่จะศึกษาในบทนี้ มีดังต่อไปนี้

หน่วยที่ 1-1 เป็นการศึกษาแบบรูปการแผ่กระจายกำลังงาน และความกว้างลำดันครึ่งกำลัง (Half-Power Beamwidth) ของสายอากาศได้โพลครึ่งคลื่น ( $\lambda/2$ ) ทำงานที่ความถี่ 1 GHz

หน่วยที่ 1-2 เป็นการศึกษาแบบรูปการแผ่กระจายกำลังงานของหอน้ำดินปลายเปิด (Open Waveguide) และคำจำกัดความของคุณลักษณะต่างๆ ที่นำไปใช้ประโยชน์ได้ทั้งในทางทฤษฎีและทางปฏิบัติ

หน่วยที่ 1-3 เป็นการศึกษาสายอากาศปากแตรทรงพิрамิด (Pyramidal Horn Antenna) ซึ่งในทางปฏิบัติจะถูกนำไปใช้งานย่านความถี่ไมโครเวฟ

หน่วยที่ 1-4 เป็นการศึกษาสายอากาศได้โพลที่มีความยาวขนาดต่างๆ กัน ซึ่งมีผลต่อแบบรูปการแผ่กระจายกำลังงานและค่าอิมพีเดนซ์อินพุต (Input Impedance) ของสายอากาศ

หน่วยที่ 1-5 เป็นการศึกษาสายอากาศได้โพลแบบพับ (Folded Dipole) ซึ่งสายอากาศที่จะทำการทดลองนี้ประกอบด้วยสายอากาศได้โพลนานนกันคู่หนึ่งที่ถูกต่อให้เป็นป่วงແคนๆ สายอากาศชนิดนี้สามารถพิจารณาให้เป็นสายอากาศที่มีหลายส่วนประกอบ (Multiple Element Antenna) หรือเป็นแบบแฉลิดับ (Array) ได้ซึ่งจะทำให้สามารถเรียนรู้ของการแปลงอิมพีเดนซ์ได้ดียิ่งขึ้น

## หน่วยที่ 1-1

# แบบรูปการแผ่กระจายกำลังงานของสายอากาศได้โพลครึ่งคลื่น (Radiation Pattern of a $\lambda/2$ Dipole)

### 1.1 วัตถุประสงค์

สำหรับการเรียนรู้ในหน่วยนี้ นักศึกษามาสามารถศึกษาเพื่อทำความเข้าใจถึงแบบรูปการแผ่กระจายกำลังงานของสายอากาศได้โพลครึ่งคลื่น (Half-Wave Dipole) ทั้งในระนาบสนามไฟฟ้าและสนามแม่เหล็ก (E-planes and H-planes)

### 1.2 ทฤษฎี

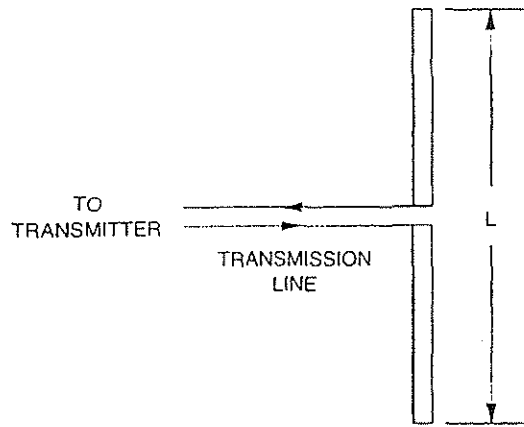
สายอากาศเป็นอุปกรณ์ที่ใช้สำหรับการแผ่กระจายกำลังงานและรับคลื่นวิทยุ โดยจะทำหน้าที่เป็นตัวส่งผ่านระหว่างท่อน้ำคลื่นหรือสายส่งกับอากาศอิสระ (Free Space) โดยทั่วไปสายอากาศตั้งหนึ่งๆ สามารถใช้ในการส่งหรือรับสัญญาณได้เหมือนกัน แต่สิ่งที่สำคัญมากสำหรับการใช้งานห้องส่องกรณีนี้ก็คือ ทิศทางและการวางแผนของสายอากาศทั้งสองในขณะที่ทำการรับส่งสัญญาณนั้น ระดับความแรงของสัญญาณที่รับได้ในทิศทางที่ถูกต้องจะมีมากกว่าในทิศทางอื่นๆ หากใช้เป็นสายอากาศส่งก็จะมีกำลังงานที่แผ่กระจายออกไปในทิศทางดังกล่าวสูงกว่าทิศทางอื่นๆ ด้วยเช่นกัน นั่นแสดงว่าทิศทางที่แผ่กระจายคลื่นได้สูงสุดของสายอากาศส่งจะมีทิศทางเดียวกันกับทิศทางของสายอากาศรับที่รับคลื่นได้สูงสุด

ในกรณีที่เป็นแหล่งจ่ายแบบ isotropic source จะเป็นสายอากาศสมมาตรที่ไม่มีทิศทาง โดยจะมีความแรงในการแผ่กระจายกำลังงานเท่ากันทุกทิศทาง สายอากาศแบบ isotropic source จะไม่มีอยู่จริงในทางปฏิบัติ แต่มีไว้ใช้สำหรับเป็นสายอากาศอ้างอิงเมื่อมีการกล่าวถึงสายอากาศนิดอื่นๆ ที่มีทิศทาง (Directional Antenna)

#### 1.2.1 สายอากาศได้โพลและได้โพลอุดมคติ

สายอากาศได้โพล (Dipole Antenna) เป็นสายอากาศที่มีโครงสร้างง่ายที่สุด มีส่วนประกอบเป็นเส้นลวดสองเส้นที่มีความยาว  $L$  วางเป็นแนวเส้นตรงดังรูปที่ 1.1 โดยจุดกึ่งกลางของตัวได้โพลจะถูกต่อเข้ากับเครื่องส่งโดยใช้สายต่อเป็นตัวกลางในการเชื่อมต่อเครื่องส่งจะจ่ายสัญญาณเป็นสัญญาณไฟฟ้ากระแสสลับไปยังสายอากาศ กระแสของสัญญาณนี้จะไหลไปยังขั้วนหนึ่งของได้โพลและไหลกลับมาอีกขั้วหนึ่งของได้โพล ดังแสดงในรูปที่ 1.1 ซึ่งมีทิศทางตรงข้ามกับทิศทางของกระแสที่ส่งไปยังขั้วแรกของได้โพล

การแจกรูปของกระแส (Current Distribution) จะแสดงให้เห็นขนาด (Magnitude) ของสัญญาณกระแสสลับที่เกิดขึ้นตลอดความยาวของสายอากาศได้โพลซึ่งมีค่าไม่เท่ากัน โดยที่ปลายทั้งสองจะมีค่าเป็นศูนย์ แต่จะมีค่าสูงสุดอยู่ที่จุดกึ่งกลางหรือที่จุดอื่นๆ บนตัวได้โพล ทั้งนี้ขึ้นอยู่กับความยาวของได้โพลและความถี่ของสัญญาณที่มาจากเครื่องส่ง



รูปที่ 1.1 สายอากาศไดโอล

ไดโอลอุดมคติ (Ideal Dipole) เป็นสายอากาศสมบูรณ์ซึ่งใช้ประโยชน์ในการศึกษาสายอากาศนิดอื่นๆ สามารถพิจารณาให้เป็นส่วนประกอบเด็กๆ ของความยาวไดโอล (Infinitesimal Dipole) ที่มีการแข่งรูปของกระแสที่เท่ากันตลอดความยาว คุณลักษณะทางทฤษฎีของไดโอลอุดมคติจะประมาณให้มีค่าทางไฟฟ้าเท่ากับสายอากาศไดโอลที่มีขนาดเด็กๆ

### 1.2.2 แบบรูปการแผ่กระจายกำลังงาน (Radiation Pattern)

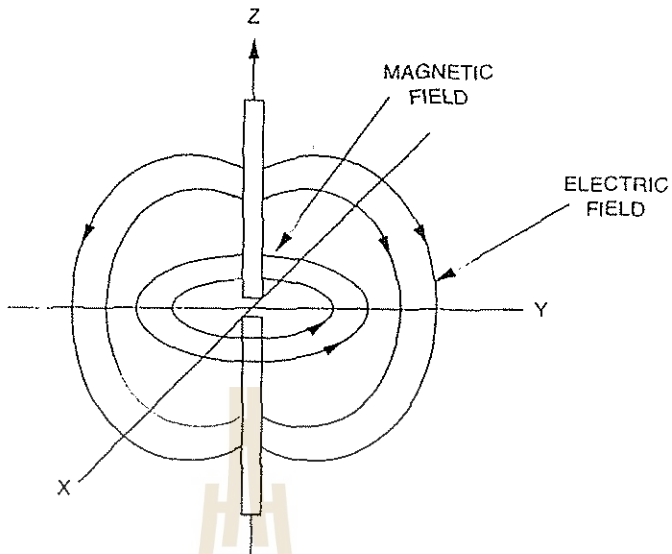
แบบรูปการแผ่กระจายกำลังงานคือ การแสดงรูปแบบของกำลังงานที่แผ่กระจายออกจากตัวสายอากาศเป็นรูปภาค 3 มิติ ที่วัดได้ในบริเวณสามมิติ คุณสมบัติการแผ่กระจายกำลังงานของสายอากาศ เป็นฟังก์ชันของพิกัดเชิงตำแหน่ง (Space Coordinates) บริเวณของสามมิติ ประกอบด้วย บริเวณที่ใกล้เพียงพอ สำหรับการวัดแบบรูปการแผ่กระจายกำลังงาน ซึ่งจะไม่ขึ้นอยู่กับระยะทางที่อยู่ห่างจากสายอากาศ แบบรูปการแผ่กระจายกำลังงานของสายอากาศใดๆ สามารถที่จะทราบได้ด้วยการวัดทดลองและถ้าทราบลักษณะ การแข่งรูปของกระแสบนตัวสายอากาศ ก็จะสามารถคำนวณหาจากการคำนวณ ได้เช่นเดียวกัน

แบบรูปการแผ่กระจายกำลังงานจะเป็นตัวแสดงถึงการกระจายพลังงานออกไปตามฟังก์ชันของทิศทางของสัญญาณที่ส่งออกไปจากสายอากาศ ซึ่งแสดงถึงระดับสัมพันธ์ของกำลังงานที่ส่งออกไปซึ่งเป็นฟังก์ชันของทิศทาง ถึงแม้ว่าจะใช้คำว่า “การแผ่กระจายกำลังงาน” กับแบบรูปที่ใช้กับสายอากาศสั่ง แต่ความจริงจะเป็นแบบรูปอันเดียวกันกับแบบรูป “การรับคลื่น” ในกรณีที่เป็นสายอากาศรับด้วย ตามทฤษฎีภาวะข้อกลับ (Reciprocity Theorem)

ถึงแม้ว่าแบบรูปการแผ่กระจายกำลังงานที่สมบูรณ์จะเป็นฟังก์ชันแบบ 3 มิติ แต่ทั่วไปจะใช้งานกันเพียง 2 มิติ ก็เพียงพอที่จะบอกคุณลักษณะของสายอากาศที่มีทิศทางได้ การวัดในแต่ละมิติจะวัดในแต่ละระนาบที่ตั้งฉากกัน คือระนาบที่ขนานกับสนามไฟฟ้าและระนาบที่ขนานกับสนามแม่เหล็ก โดยเรียกว่า E-plane และ H-plane ตามลำดับ ดังแสดงในรูปที่ 1.2

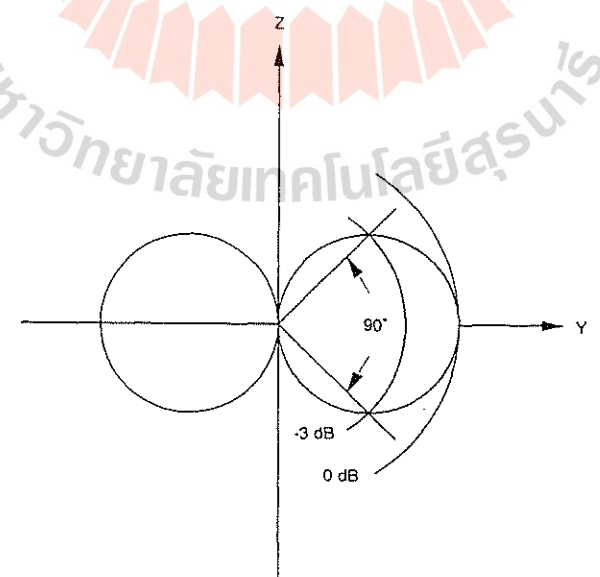
แบบรูปการแผ่กระจายกำลังงานในระนาบนั่นๆ สามารถวัดได้โดยการหมุนสายอากาศในระนาบนั้นๆ ขณะที่ระดับของกำลังงานที่รับได้จะเป็นฟังก์ชันของการหมุนของสายอากาศ เพื่อให้ได้แบบรูปการแผ่

กระจายกำลังงานที่ถูกต้องควรจะจัดสภาพแวดล้อมที่อยู่รอบสายอากาศที่ทำการวัดให้ปราศจากวัตถุใดๆ ที่อาจทำให้เกิดการสะท้อนสัญญาณและส่งกลับไปยังสายอากาศที่ทำการวัดอยู่

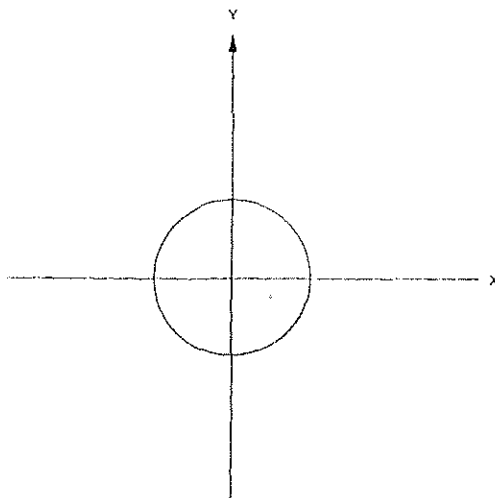


รูปที่ 1.2 ระยะstanam ไฟฟ้า: E-plane (y-z) และระยะstanam เม่หเล็ก: H-plane (x-y)  
ของสายอากาศไดโพล

รูปที่ 1.3 ไดแสดงแบบรูปการแผ่กระจายกำลังงานในระยะstanam ไฟฟ้า (E-plane) ของไดโพลอุดมคติ แบบรูปการแผ่กระจายกำลังงานนี้แสดงให้เห็นว่าไดโพลอุดมคตินี้มีทิศทางด้วย เพราะว่าการแผ่กระจายกำลังงานจะมีความแรงของสัญญาณสูงในบางทิศทางเมื่อเทียบกับทิศทางอื่นๆ ส่วนแบบรูปการแผ่กระจายกำลังงานในstanam เม่หเล็ก (H-plane) ไดแสดงไว้ในรูปที่ 1.4 ซึ่งในแบบรูปนี้การแผ่กระจายกำลังงานจะเท่ากันทุกทิศทาง



รูปที่ 1.3 แบบรูปการแผ่กระจายกำลังงานในระยะstanam ไฟฟ้า (E-plane)  
ของไดโพลอุดมคติ



รูปที่ 1.4 แบบรูปการแผ่กระจายกำลังงานในระนาบสนาณ์แม่เหล็ก (H-plane)  
ของไดโอลอคัมคติ

ความกว้างลำคลื่นครึ่งกำลัง (Half-Power Beamwidth: HPBW) ของสายอากาศ คือ การพิจารณาในใน  
ลำคลื่นหลัก โดยคิดที่กำลังงานลดลงครึ่งหนึ่ง (-3 dB) ของกำลังงานที่แผ่ออกในทิศทางของกำลังงานสูงสุด

$$\text{HPBW} = \left| \theta_{\text{HPBWleft}} - \theta_{\text{HPBWright}} \right| \quad (1.1)$$

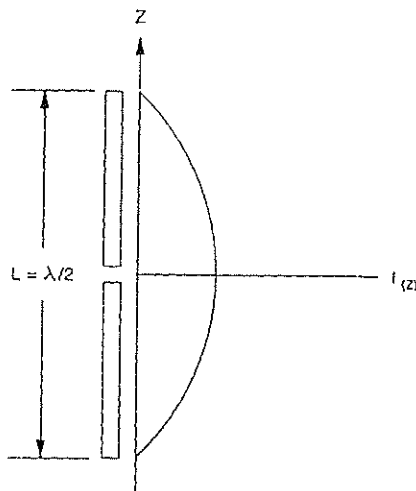
ค่า HPBW ของไดโอลอคัมคติในระนาบสนาณ์ไฟฟ้า E-plane จะเท่ากับ 90 องศาซึ่งดูได้จากรูปที่ 1.3

สำหรับสายอากาศไดโอลในทางปฏิบัติซึ่งใช้กันทั่วไป จะมีความยาว  $L$  เท่ากับ  $\lambda/2$ ,  $\lambda$  และ  $3\lambda/2$  ค่า  $\lambda$   
เป็นค่าความยาวคลื่นของสัญญาณ การแข็งรูปของกระแสที่เกิดขึ้นบนไดโอล  $\lambda/2$  จะมีรูปร่างของสัญญาณเป็น  
รูปไซน์ครึ่งคลื่น ดังแสดงในรูปที่ 1.5 โดยกระแสนี้จะมีค่าสูงสุดที่จุดกึ่งกลางและมีค่าศูนย์ที่จุดปลายสุด

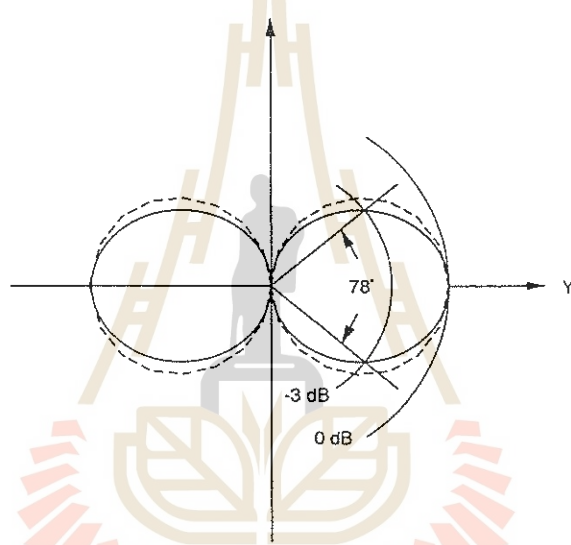
รูปที่ 1.6 ได้แสดงแบบรูปการแผ่กระจายกำลังงานทั้งจากสายอากาศไดโอลแบบ  $\lambda/2$  ในระนาบสนาณ์  
ไฟฟ้า (E-plane) และในไดโอลอคัมคติ โดยสายอากาศไดโอล  $\lambda/2$  มี HPBW 78 องศา ในระนาบสนาณ์ไฟฟ้า  
(E-plane) และให้ผลที่แคบและบางกว่าลักษณะของสายอากาศไดโอลอคัมคติ ส่วนการแผ่กระจายกำลังงาน  
ในระนาบสนาณ์แม่เหล็ก (H-plane) ของสายอากาศไดโอล  $\lambda/2$  จะมีลักษณะเป็นวงกลมดังรูปที่ 1.4

### 1.2.3 การโพลาไรซ์ของสายอากาศ (Antenna Polarization)

การโพลาไรซ์ของสายอากาศ จะใช้ในการอธิบายทิศทางของสนาณ์ไฟฟ้าของคลื่นแม่เหล็กไฟฟ้าใน  
อากาศซึ่งถูกส่งออกไปโดยตัวสายอากาศในทิศทางซึ่งมีความเข้มของสนาณ์สูงสุดและวัดได้ในสนาณ์ระบบ  
ไกล การสายอากาศจำนวนมากจะมีการโพลาไรซ์เป็นแบบเชิงเดี่ยว (Linear Polarization) นั่นคือในหนึ่งรอบ  
(Cycle) เวกเตอร์สนาณ์ไฟฟ้าจะมีลักษณะเป็นเส้นตรง และยังถูกแบ่งออกเป็นการโพลาไรซ์แนวตั้ง (Vertical  
Polarization) และการโพลาไรซ์แนวนอน (Horizontal Polarization) นอกจากนี้ยังมีการโพลาไรซ์แบบวงกลม  
(Circular) และแบบรูปวงรี (Elliptical) ซึ่งจะได้กล่าวในบทต่อไป



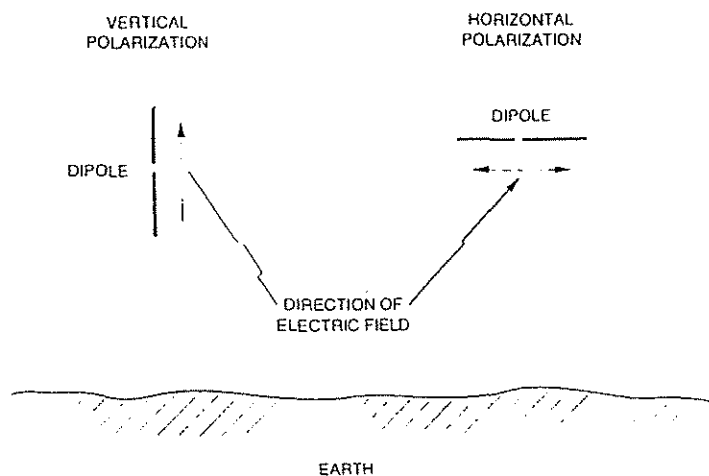
รูปที่ 1.5 การแจงรูปของกระแสบนสายอากาศได้โพล  $\lambda/2$



รูปที่ 1.6 แบบรูปการแผ่กระจายกำลังงานระนาบสนามไฟฟ้า (E-plane)

ของสายอากาศได้โพล  $\lambda/2$  (เส้นทึบ) และได้โพลอุดมคติ (เส้นประ)

บ่อยครั้งที่การโพลาไรซ์ของสายอากาศ จะพิจารณาจากรูปทรงของตัวสายอากาศเอง เช่น ในกรณีของสายอากาศแบบเด็นลวด ซึ่งอาจจะมีส่วนประกอบเพียงตัวเดียวหรือหลายตัววางขนานกัน เช่น สายอากาศแบบได้โพลและยา吉 เรากำเนิดที่จะสมมุติให้สนามไฟฟ้าซึ่งมีการโพลาไรซ์แบบเชิงเส้นขนานไปกับส่วนประกอบของตัวสายอากาศ แต่ถ้ามีสายอากาศบางชนิดซึ่งมีการโพลาไรซ์แบบเชิงเส้นเหมือนกัน แต่ไม่สามารถจะใช้รูปทรงของโครงสร้างมาทำนายการโพลาไรซ์ได้ เช่น สายอากาศปากแตร (Horn) แบบบ่วง (Loop) และแบบร่อง (Slit) เป็นต้น



รูปที่ 1.7 ลักษณะการโพลาไรซ์ของสายอากาศไดโอล

เพื่อให้การรับสัญญาณทำได้นำมากที่สุดเท่าที่เป็นไปได้ ถึงสำคัญก็คือสายอากาศที่ทำหน้าที่รับสัญญาณ จะต้องมีการโพลาไรซ์เป็นแบบเดียวกันกับการโพลาไรซ์ของสัญญาณที่ส่งมา หากเกิดการสูญเสียสัญญาณอันเนื่องมาจากการจัดวางการโพลาไรซ์ไม่ถูกต้อง ( เช่น สัญญาณที่รับได้เป็นของการโพลาไรซ์ทางแนวตั้งแต่สายอากาศที่ใช้มีการจัดการโพลาไรซ์ทางแนวนอน ) เราเรียกว่า เกิดการแยกการโพลาไรซ์แบบไขว้ (Cross-Polarization Isolation)

### 1.3 สรุป

ในบทนี้ผู้ศึกษาจะรู้จักสายอากาศไดโอลขนาดความยาว  $\lambda/2$  และวิธีการวัดแบบรูปการแผ่กระจายกำลังงานของสายอากาศชนิดนี้ทั้งระนาบสนานาไฟฟ้าและระนาบสนานามแม่เหล็ก ได้เข้าใจถึงหลักการของการโพลาไรซ์ ของสายอากาศไดโอลและสายอากาศขาคิ แล้ววิธีคำนวณหาความกว้างลำดิ่นที่กำลังลดลงครึ่งหนึ่ง (HPBW) ของสายอากาศชนิดนี้ด้วย

### 1.4 คำถามหลังการเรียนรู้

- 1) จุดประสงค์ของสายอากาศคืออะไร
- 2) แหล่งจ่ายแบบไอโซทรอปิก คืออะไร และนำໄไปใช้ประโยชน์ได้อย่างไร
- 3) แบบรูปการแผ่กระจายกำลังงานคืออะไร ให้อธิบายความแตกต่างระหว่างแบบรูปการแผ่กระจายกำลังงานของการรับกับการส่งของสายอากาศ
- 4) ให้อธิบายลักษณะและการทำงานของสายอากาศไดโอล
- 5) การโพลาไรซ์ของสายอากาศหมายถึงอะไร และสายอากาศไดโอลมีการโพลาไรซ์เป็นอย่างไร

## หน่วยที่ 1-2

### แบบรูปการแผ่กระจายกำลังงานของท่อนำคลื่นปลายเปิด

#### (Radiation Pattern of an Open Waveguide)

## 2.1 วัตถุประสงค์

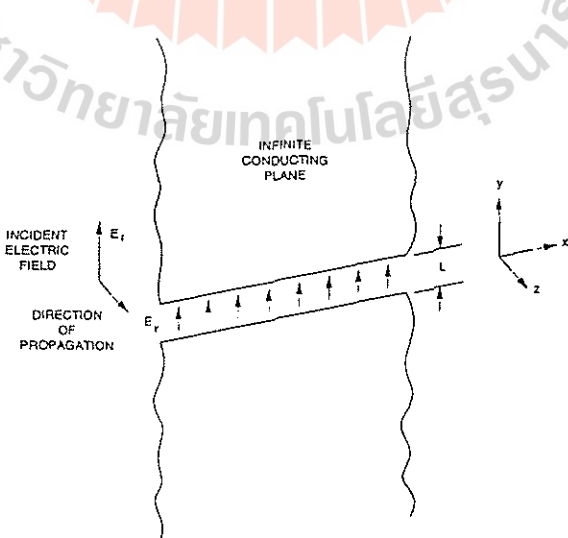
สำหรับบทที่ 1 นักศึกษาจะได้ศึกษาเพื่อทำความเข้าใจถึงแบบรูปการแผ่กระจายกำลังงานของสายอากาศที่มีลักษณะเป็นร่องเปิดรูปสี่เหลี่ยมของท่อนำคลื่น (Rectangular Aperture) ทั้งในระนาบสนานไฟฟ้า (E-plane) และสนานแม่เหล็ก (H-plane)

## 2.2 ทฤษฎี

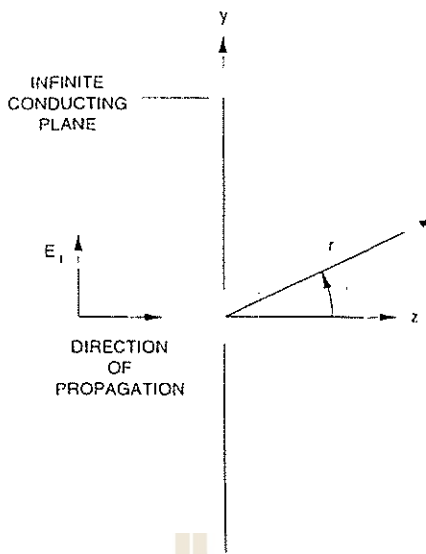
สายอากาศไดโอดipoles (Dipole) คือ ตัวอย่างหนึ่งของสายอากาศเส้นยาว ที่มีการแผ่กระจายกำลังงานจากองค์ประกอบกระเสไฟฟ้า ส่วนสายอากาศนิดอื่นๆ ที่แตกต่างจากหลักการของสายอากาศแบบเส้นยาว ก็คือ สายอากาศแบบช่องเปิด (Aperture Antenna) สายอากาศนี้จะมีช่องเปิดเพื่อให้สนานแม่เหล็กไฟฟ้าทะลุผ่านออกไปได้ ซึ่งท่อนำคลื่นปลายเปิด คือ ตัวอย่างแบบง่ายที่สุดของสายอากาศลักษณะนี้ ส่วนตัวอย่างอื่นๆ ก็คือ ท่อนำคลื่นที่มีการเจาะร่องบนผิวของโลหะที่ใช้เป็นโครงสร้าง ที่เรียกว่าสายอากาศแบบร่อง (Slot Antenna)

### 2.2.1 การแผ่กระจายกำลังงานจากร่องยาวอนันต์ (Infinite Slit)

จากรูปที่ 2.1 แสดงระนาบของคลื่นซึ่งเกิดขึ้นบนช่องในระนาบของตัวนำ โดยที่ช่องจะมีความยาวเป็นอนันต์ในทิศทางของแกน  $X$  ความกว้าง  $L$  ในทิศทางของแกน  $Y$  จะแคนบมาก ส่วนระนาบของคลื่นจะเดินทางในทิศทางตามแกน  $Z$



รูปที่ 2.1 การแผ่กระจายกำลังงานจากร่องยาวอนันต์ (Infinite Slit)



รูปที่ 2.2 มุมมองด้านข้าง (Side View) ของร่องที่ยาวอนันต์ (Infinite Slit)

การแผ่กระจายของสนามในทิศทางของแกน Y กำหนดได้โดย

$$E_y = E_o e^{-j\beta z} \quad (2.1)$$

เมื่อ  $E_y$  คือ สนามในทิศทางของแกน Y

$E_o$  คือ ค่าสูงสุดของ  $E_y$

$\beta$  คือ  $2\pi/\lambda$  ค่าคงที่ของการเดินทางของคลื่น (Propagation Constant)

การแผ่กระจายของสนามในทิศทางของ  $\theta$  ได้แก่

$$E_o = j\beta \frac{e^{-j\beta r}}{2\pi r} E_o L \frac{\sin[(\beta L/2)\sin\theta]}{(\beta L/2)\sin\theta} \quad (2.2)$$

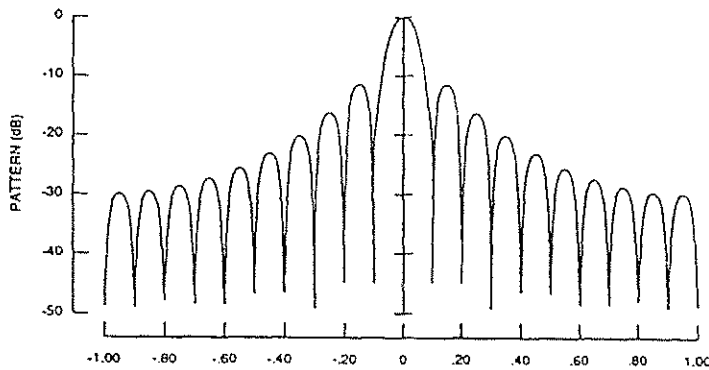
เมื่อ  $\theta$  คือ มุมที่แสดงในรูปที่ 2.2

$r$  คือ ระยะทางจากร่อง (Slit)

ส่วนที่ 2 ของสมการ (2.2) คือส่วนที่เราต้องสนใจเป็นอย่างยิ่ง เนื่องจากจะให้แบบรูปการแผ่กระจาย กำลังงานแบบนอร์มาлиз (Normalized Radiation Pattern):  $F(\theta)$

$$F(\theta) = \frac{\sin[(\beta L/2)\sin\theta]}{(\beta L/2)\sin\theta} \quad (2.3)$$

แม้ว่าสมการนี้จะดูเหมือนเป็นสมการที่ซับซ้อน แต่จริงๆ แล้วก็คือมาจากการ ( $\sin x)/x$  นั่นเอง ซึ่งมีรูปแบบในรูปของกราฟในรูปที่ 2.3

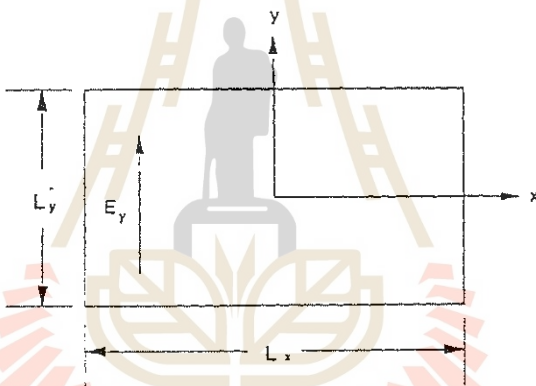


รูปที่ 2.3 กราฟของ  $(\sin x)/x$

### 2.2.2 การแผ่กระจายกำลังงานจากช่องแบนสี่เหลี่ยมมุนจากสมำเสมอ

(Uniform Rectangular Aperture)

พิจารณาท่อนำค่าสี่เหลี่ยมเปิดรูปสี่เหลี่ยมมุนคลาดซึ่งทำหน้าที่เป็นสายอากาศแบบช่องเปิด (Aperture Antenna) โดยมีภาพตัดขวางแสดงในรูปที่ 2.4



รูปที่ 2.4 ช่องเปิดรูปสี่เหลี่ยมมุนคลาด

สนามในรูปสี่เหลี่ยมมุนคลาดได้จากการคำนวณ

$$E_\theta = j\beta \frac{e^{-j\beta r}}{2\pi r} E_o L_x L_y \frac{\sin[(\beta L_y / 2)\sin \theta]}{(\beta L_y / 2)\sin \theta} \quad (2.4)$$

ซึ่งจะให้แบบรูปการแผ่กระจายกำลังงานอร์เมล์โลซ์ ดังสมการ

$$F_E(\theta) = \frac{\sin[(\beta L_y / 2)\sin \theta]}{(\beta L_y / 2)\sin \theta} \quad (2.5)$$

ส่วนสนามในรูปสี่เหลี่ยมมุนคลาดจะหาได้จากการคำนวณ

$$E_\phi = j\beta \frac{e^{-j\beta r}}{2\pi r} E_o L_x L_y \frac{\sin[(\beta L_x / 2)\sin \theta]}{(\beta L_x / 2)\sin \theta} \quad (2.6)$$

ซึ่งจะให้แบบรูปการแผ่กระจายกำลังงานนอร์เมลไลซ์ ดังสมการ

$$F_H(\theta) = \cos \theta \frac{\sin[(\beta L_s / 2) \sin \theta]}{(\beta L_s / 2) \sin \theta} \quad (2.7)$$

สมการที่แสดงแบบรูปการแผ่กระจายกำลังงานนอร์เมลไลซ์ทั้งสองสมการ จะอยู่ในรูปของ  $(\sin x)/x$  ดังนี้ ผลรวมของสมการแบบรูปการแผ่กระจายกำลังงานนอร์เมลไลซ์ ก็คือ ผลรวมของ  $(\sin x)/x$  ในระบบนามไฟฟ้า และ  $(\sin x)/x$  ในระบบนามแม่เหล็ก

### 2.3 ความหมายของสัญลักษณ์ที่ใช้ในการอธิบายพารามิเตอร์ของสายอากาศ

สัญลักษณ์และพารามิเตอร์ต่างๆ ที่จำเป็นต้องใช้อธิบายคุณสมบัติ มีดังต่อไปนี้

$P_o$  คือ กำลังงานที่ป้อนให้กับสายอากาศตัวส่ง (หน่วยเป็น วัตต์)

$P_{rad}$  คือ กำลังงานที่แผ่กระจายออกไปโดยสายอากาศตัวส่ง (หน่วยเป็น วัตต์)

$\eta$  คือ ประสิทธิภาพการแผ่กระจายกำลังงาน  $\eta = P_{rad} / P_o$  (ไม่มีหน่วย)

“สายอากาศส่วนใหญ่จะมีประสิทธิภาพการแผ่กระจายกำลังงาน (Radiation Efficiency) จะมีค่าใกล้เคียง 1 หรือ 100% อย่างไรก็ตามสำหรับสายอากาศบางชนิด เช่น สายอากาศแบบเส้นลวดสั้น (Short-Wire) ตัวอย่างเช่น สายอากาศได้โลดอุดมคติ ที่ได้อธิบายไปแล้วในแบบผึกหัด I-I จะมีประสิทธิภาพการแผ่กระจายกำลังงานค่อนข้างต่ำ”

$\phi$  คือ ความเข้มของการแผ่กระจายกำลังงาน (Radiation Intensity) (หน่วยเป็น วัตต์ต่อสเตรอร์เรเดียน)

“สเตรอร์เรเดียน (Steradian; sr) คือ หน่วยของมุมตัน (Solid Angle) ซึ่งทรงกลมหนึ่งฯลฯ มีค่า  $4\pi$  สเตรอร์เรเดียน ดังนั้นเราสามารถคำนวณให้ค่าเฉลี่ยของความเข้มการแผ่กระจายกำลังงานได้เป็น”

$$\phi_{avg} = \frac{P_{rad}}{4\pi} \quad (\text{W/sr}) \quad (2.8)$$

$D$  คือ ค่าสภาพเจาะจงทิศทาง (Directive) (ไม่มีหน่วย)

“ค่าสภาพเจาะจงทิศทาง คือ ค่าความเข้มของการแผ่กระจายกำลังงานสูงสุดในทิศทางที่กำหนด โดยเทียบกับความเข้มการแผ่กระจายกำลังงานเฉลี่ย (Average Radiation Intensity) ของสายอากาศแบบ “ไอโซทรอนิก (Isotropic Antenna)”

$$D = \frac{\phi_{max}}{\phi_{avg}} = \frac{\phi_{max}}{P_{rad}/4\pi} \quad (2.9)$$

$G$  คือ อัตราขยายของสายอากาศ (Antenna Gain) หรือ อัตราขยายเจาะจงทิศทาง (Directive Gain)

(ไม่มีหน่วย)

“สำหรับสายอากาศแบบไม่มีการสูญเสีย ค่าอัตราขยายของสายอากาศหรืออัตราขยายเจาะจงที่ศักดิ์จะมีค่าเท่ากับค่าสภาพเจาะจงที่ศักดิ์ อย่างไรก็ตามสำหรับสายอากาศที่มีค่าประสิทธิภาพการแผ่กระจายมากขึ้นกว่า 1 (100%) จะมีค่าอัตราขยายแตกต่างกัน นั่นคือ”

$$G = \eta D \quad (2.10)$$

$\Omega_a$  คือ มุมตันของลำคลื่นของสายอากาศ (Antenna Beam Solid Angle) (หน่วยเป็น steradian)

“ $\Omega_a$  จะสอดคล้องกับมุมตัน (Solid Angle) ใช้มาใช้ในการหาค่ากำลังงานที่แผ่กระจายออกมานั้นหมด ( $P_{rad}$ ) ที่ระดับความเข้มของการแผ่กระจายกำลังงานสูงสุด  $\phi_{max}$ ”

$$P_{rad} = \Omega_a \phi_{max} \quad (2.11)$$

จะได้สมการสำหรับหาค่าสภาพเจาะจงที่ศักดิ์อีกสมการหนึ่ง คือ

$$D = \frac{4\pi}{\Omega_a} \quad (2.12)$$

$A_e$  คือ พื้นที่ประสิทธิผล (Effective Area) หรือ ช่องเปิดประสิทธิผล (Effective Aperture) (หน่วยเป็นตารางเมตร)

“ค่าพื้นที่ประสิทธิผลจะเป็นไปตามขนาดพื้นที่การดูดกลืนคลื่น ซึ่งแสดงโดยตัวสายอากาศเมื่อชั้นคลื่นเข้ามาตักกระบวนการ ในกรณีของสายอากาศแบบช่องเปิดนั้น จะมีค่า  $A_e$  เท่ากันหรือมากกว่าพื้นที่ของช่องเปิดทางกายภาพ (Physical Aperture) ความสัมพันธ์ระหว่างอัตราขยายกับความยาวคลื่น ( $\lambda$  และ  $A_e$  อยู่ในหน่วยที่เหมือนกัน) จะเท่ากัน”

$$G = \frac{4\pi}{\lambda^2} A_e \quad (2.13)$$

$\eta_{ap}$  คือ ประสิทธิภาพของช่องเปิด (Aperture Efficiency) หรือ ประสิทธิภาพสายอากาศ (Antenna Efficiency) (ไม่มีหน่วย)

“ $\eta_{ap}$  คือ อัตราส่วนระหว่างค่าพื้นที่ประสิทธิผล  $A_e$  และค่าพื้นที่ทางกายภาพของช่องเปิดของสายอากาศแบบช่องเปิด ซึ่งบ่อยครั้งจะประมาณการไว้ที่ค่า 50% ของ  $A_e$  ซึ่งเป็นค่าประมาณสำหรับคิดค่าประสิทธิภาพของช่องเปิด”

$$\eta_{ap} = \frac{A_e}{A_p} \quad (2.14)$$

F/B คือ อัตราส่วนลำคลื่นด้านหน้าต่อด้านหลัง (Front-to-Back Ratio) (หน่วยเป็น เดซิเบล)

“เป็นอัตราส่วนเปรียบเทียบความแรงของสัญญาณที่ต้องการส่งในทิศทางที่ต้องการกับความแรงของสัญญาณในทิศทางตรงกันข้าม ประโยชน์อีกอย่างหนึ่งคือใช้อธิบายความสามารถของสายอากาศ เพื่อให้เห็น

ถึงความแตกต่างระหว่างสัญญาณที่เข้ามายากด้านหน้าและสัญญาณที่ได้มาจากด้านหลัง เมื่อสายอากาศถูกใช้เป็นตัวรับ"

$$F/B = \text{Main Lobe (dB)} - \text{Back Lobe (dB)} \quad (2.15)$$

## 2.4 สรุป

จากการศึกษาทฤษฎีที่ผ่านมาในหน่วยนี้ ผู้ศึกษาจะมีความรู้เกี่ยวกับสายอากาศแบบท่อน้ำคลื่น โดยเฉพาะสายอากาศปากแตรทรงพิรามิดและท่อน้ำคลื่นรูปสี่เหลี่ยมนูนคลาปaley เปิด รวมทั้งได้ศึกษาพารามิเตอร์ที่สำคัญต่างๆ ของสายอากาศชนิดนี้ เช่น แบบรูปการแผ่กระจายกำลังงานของสายอากาศท่อน้ำคลื่นปaley เปิด ความกว้างลำคลื่นที่กำลังลดลงครึ่งหนึ่ง (HPBW) ของระนาบสนานไฟฟ้าและระนาบสนานแม่เหล็ก การโพลาไรซ์ (Polarization) ของสายอากาศปากแตรทรงพิรามิดและแบบท่อน้ำคลื่นปaley เปิด ค่าสภาพเจาะจิศทางและค่าพื้นที่ประสิทธิผลของสายอากาศท่อน้ำคลื่นปaley เปิด และสามารถนำไปใช้คำนวณหาค่าตอบของพารามิเตอร์เหล่านี้ได้

## 2.5 คำถามหลังการเรียนรู้

- 1) ให้อธิบายลักษณะของสายอากาศชนิดท่อน้ำคลื่นปaley เปิด และแบบรูปการแผ่กระจายกำลังงานของสายอากาศชนิดนี้
- 2) ให้อธิบายคำจำกัดความของคำว่า สภาพเจาะจิศทางของสายอากาศ (Antenna Directivity) ทำให้มีความสามารถกล่าวไว้ว่าสายอากาศแบบไม่มีการสูญเสีย (Lossless Antenna) อัตราขยายเท่ากับสภาพเจาะจิศทาง
- 3) เราจะสามารถกล่าวได้หรือไม่ว่าสายอากาศชนิดท่อน้ำคลื่นปaley เปิดมีค่าอัตราส่วนลำคลื่นด้านหน้าต่อลำคลื่นด้านหลัง (Front-to-Back) ให้อธิบาย
- 4) หน่วย Radian ต่างจาก Steradian อย่างไร

## หน่วยที่ 1-3

### อัตราขยายของสายอากาศปีกแตรทรงพีระมิด

#### (Gain of Pyramidal Horn Antennas)

##### 3.1 วัตถุประสงค์

สำหรับทฤษฎีในหน่วยนี้ นักศึกษาจะได้ศึกษาถึงคุณลักษณะของสายอากาศปีกแตรทรงพีระมิด ได้อ่านและเขียนมากริ่งขึ้น และทราบถึงเทคนิคที่ใช้ในการคำนวณและเทคนิคสำหรับการวัดอัตราขยายของสายอากาศชนิดนี้ด้วย

##### 3.2 ทฤษฎี

###### 3.2.1 ค่าการสูญเสียจากการแผ่กระจายกำลังงานในอากาศอิสระ (Free-Space Propagation Loss)

การที่สายอากาศรับสูญเสื่อนให้ห่างออกไปจากตัวสายอากาศส่ง ทำให้ระดับของกำลังงานที่รับได้มีค่าลดลงนั้น เป็นผลมาจากการสูญเสียเนื่องจากการแผ่กระจายกำลังงานในอากาศอิสระ ซึ่งค่ากำลังงานของสัญญาณที่รับได้ จะเป็นสัดส่วนผกผันกับระยะทางยกกำลังสองระหว่างสายอากาศตัวส่งและตัวรับ ค่าการสูญเสียนี้ เรียกว่า ค่าการสูญเสียนี้ของจากการแผ่กระจายกำลังงานในอากาศอิสระ (Free-Space Propagation loss) ซึ่งแสดงในรูปของสมการทางคณิตศาสตร์ ดังนี้

$$L_F (\text{dB}) = 10 \log \left( \frac{4\pi r}{\lambda} \right)^2 = 20 \log \frac{4\pi r}{\lambda} \quad (3.1)$$

โดยที่  $r$  คือ ระยะห่างระหว่างสายอากาศส่งกับสายอากาศรับ

$\lambda$  คือ ความยาวคลื่นในอากาศอิสระ (มีหน่วยเท่ากับ  $r$ )

เมื่อกำหนดค่าความยาวคลื่น สมการ (1) จะแสดงให้เห็นว่า  $L_F$  มีอยู่กับระยะห่างระหว่างสายอากาศทั้งสองเท่านั้น ความสัมพันธ์นี้สามารถพิจารณาได้ด้วยการทดลองโดยการส่งสัญญาณจากสายอากาศอันหนึ่ง และวัดกำลังงานที่รับได้ที่ระยะห่างต่างๆ กัน อย่างไรก็ตาม เนื่องจากสายอากาศโดยทั่วไปจะมีคุณสมบัติเฉพาะที่พิเศษ ดังนั้นพิเศษทางสายอากาศต้องเหมือนเดิมตลอดการทดลอง ถ้าเราทราบระยะห่างระหว่างสายอากาศที่แตกต่างกันออกไป เราจะทราบค่าการลดthonของกำลังงานของสัญญาณที่รับ ได้ที่ระยะทางหนึ่ง สามพันรัศมีกับค่าการลดthonที่รับได้จากอีกระยะทางหนึ่ง จึงสามารถคำนวณได้โดยง่าย โดยใช้สมการ

$$A(\text{dB}) = 20 \log \frac{r_1}{r_2} \quad (3.2)$$

เมื่อ  $A$  คือ ค่าการลดthonกำลังงานที่มีหน่วยเป็นเดซิเบล (dB)

$r_1$  และ  $r_2$  คือ ค่าระยะห่างที่ 1 และ 2 ตามลำดับ

การกำหนดคุณลักษณะเชิงเลขของคุณสมบัติเชิงทิศทางของสายอากาศนั้น หลักการของค่าสภาพเจาะจงทิศทาง (Directivity) หรือค่าอัตราขยายเจาะจงทิศทาง (Directive Gain) จะถูกนำมาใช้พิจารณาเสมอ จากที่ได้ทำการศึกษามาแล้วในปฏิบัติการที่ 2 เรายาระว่า ค่าสภาพเจาะจงทิศทาง ก็คือ ค่าความเข้มในการแผ่กระจายกำลังงานสูงสุกในทิศทางที่กำหนดให้สัมพันธ์กับค่าความเข้มในการแผ่กระจายกำลังงานของสายอากาศส่วนแบบไอโซทรอร์ปิก ซึ่งมีกำลังงานเท่ากันทุกทิศทาง และสายอากาศที่ไม่มีการสูญเสียนั้น อัตราขยายของสายอากาศ (Directive Gain) จะมีค่าเดียวกันกับค่าสภาพเจาะจงทิศทาง (Directivity)

### 3.2.2 การวัดค่าอัตราขยายของสายอากาศ (Antenna Gain Measurement)

การวัดค่าอัตราขยายของสายอากาศมีอยู่หลายวิธีด้วยกัน วิธีที่ง่ายที่สุด ก็คือวิธีที่เรียกว่า วิธีแบบใช้สายอากาศอ้างอิง (Reference Antenna Method) หรือ วิธีการเปรียบเทียบ (Comparison Method) หรือวิธีการแทนที่ (Substitution Method) ซึ่งสามารถหาได้โดยการเปรียบเทียบกำลังงานที่ได้รับด้วยสายอากาศอ้างอิง ( $P_{ref}$ ) กับกำลังงานที่รับได้จากสายอากาศที่ทำการทดสอบ ( $P_{test}$ ) ค่าอัตราขยายของสายอากาศที่ต้องการทราบจะหาได้จากการคำนวณดังนี้

$$G_{test} = \frac{P_{test}}{P_{ref}} G_{ref} \quad (3.3)$$

เมื่อต้องการคำตอบ ให้มีหน่วยเป็น dB ก็จะหาได้จากสมการ

$$G_{test} (\text{dB}) = P_{test} (\text{dB}) - P_{ref} (\text{dB}) + G_{ref} (\text{dB}) \quad (3.4)$$

ก่อนที่จะนำวิธีการแทนที่มาใช้นั้น เราจะต้องปรับเทียบเพื่อหาค่าอัตราขยายของสายอากาศที่ใช้ในการอ้างอิงเสียก่อน โดยการใช้สายอากาศสองตัวที่เหมือนกันทุกประการมาเป็นสายอากาศรับและส่ง จากนั้น วัดค่ากำลังงานที่ส่งออกไปและค่าของกำลังงานที่รับได้ นำมาคำนวณหาค่าอัตราขยาย ซึ่งจะเป็นอัตราขยายของสายอากาศอ้างอิง ดังสมการ

$$G = \frac{4\pi r}{\lambda} \sqrt{\frac{P_{rec}}{P_o}} \quad (3.5)$$

เมื่อ  $G$  ก็คือ ค่าอัตราขยายของสายอากาศที่จะใช้เป็นตัวอ้างอิง

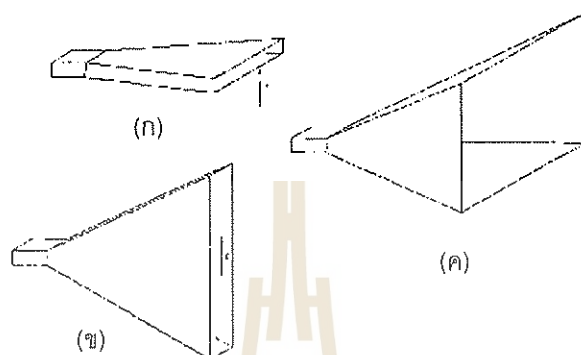
$r$  ก็คือ ระยะทางระหว่างสายอากาศที่ส่ง

$P_{rec}$  และ  $P_o$  ก็คือ กำลังงานที่รับได้และกำลังงานที่ส่งออกไป ตามลำดับ

$\lambda$  ก็คือ ความยาวคลื่นในอากาศ (หน่วยเดียวกันกับ  $r$ )

### 3.2.3 สายอากาศปีกแตรชนิดต่างๆ (Types of Horn Antennas)

สายอากาศปีกแตรจะมีการส่งผ่านคลื่นแม่เหล็กไฟฟ้าระหว่างท่อน้ำคู่กับอากาศอิสระค่อนข้างจะต่อเนื่อง สายอากาศชนิดนี้ได้ถูกสร้างขึ้นมาในหลายรูปแบบ ทั้งนี้ขึ้นอยู่กับค่าอัตราขยาย แนวรูปการแผ่กระจายกำลังงานและค่าอิมพีเดนซ์ที่ต้องการ ตามรูปที่ 3.1 ได้แสดงชนิดของสายอากาศปีกแตรที่มีใช้อยู่ทั่วไป



รูปที่ 3.1 สายอากาศปีกแตร ชนิดท่อน้ำคู่รูปร่างผืนผ้า

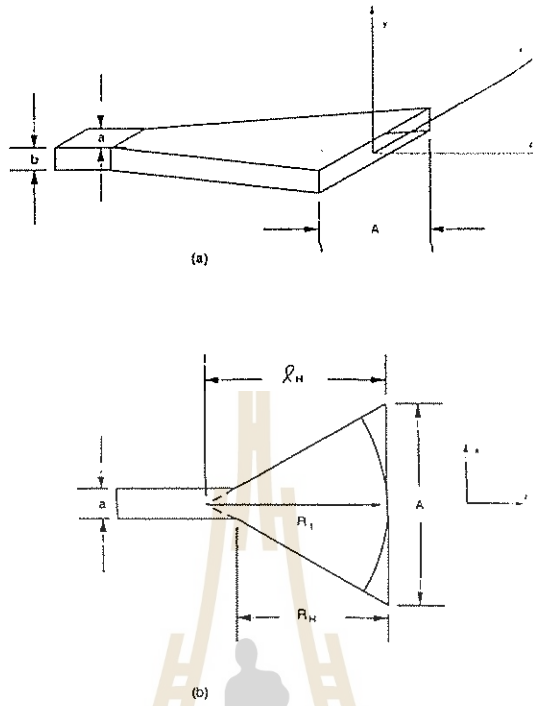
- (ก) ปีกแตรแบบเชกเตอร์รูบานสนานแม่เหล็ก
- (ข) ปีกแตรแบบเชกเตอร์รูบานสนานไฟฟ้า
- (ค) ปีกแตรทรงพีระมิด

สายอากาศปีกแตรทรงพีระมิดมักจะถูกใช้เป็นสายอากาศอ้างอิงในการวัดค่าอัตราขยายของสายอากาศ เนื่องจากค่าอัตราขยายของสายอากาศสามารถคำนวณได้อย่างแม่นยำจากขนาดทางกายภาพของตัวสายอากาศเอง สำหรับสายอากาศปีกแตรแบบเชกเตอร์นี้ ส่วนของปีกแตรจะทางออกไปในรูบานโดยรูบานหนึ่งเท่านั้น ซึ่งจัดเป็นสายอากาศแบบปีกแตรทรงพีระมิดกรณีพิเศษ ส่วนสายอากาศปีกแตรชนิดอื่นที่ไม่ได้แสดงในที่นี้ ได้แก่ สายอากาศปีกแตรทรงกรวย ซึ่งจะใช้กับท่อน้ำคู่ในวงกลม

คุณลักษณะของสายอากาศปีกแตรแบบเชกเตอร์จะใกล้เคียงกับสายอากาศปีกแตรทรงพีระมิดอย่างมาก ดังนั้นในการศึกษาคุณสมบัติของสายอากาศเชกเตอร์ดังกล่าวจะใช้วิธีการประมาณค่าอัตราขยายของสายอากาศปีกแตรทรงพีระมิดจากขนาดทางกายภาพของมัน

### 3.2.4 สายอากาศปีกแตรแบบเชกเตอร์รัฐนาสนานามแม่เหล็ก (H-plane Sectoral Horn Antenna)

รูปทรงเรขาคณิตของสายอากาศปีกแตรแบบเชกเตอร์รัฐนาสนานามแม่เหล็กได้แสดงในรูปที่ 3.2



รูปที่ 3.2 สายอากาศปีกแตรแบบเชกเตอร์รัฐนาสนานามแม่เหล็ก

(ก) รูปทรงเรขาคณิตของสายอากาศ

(ข) ภาพตัดขวางในรัฐนาสนานามแม่เหล็ก

ความสัมพันธ์ของขนาดทางกายภาพสามารถแสดงโดยสมการต่อไปนี้

$$\ell_H^2 = R_1^2 + \left(\frac{A}{2}\right)^2 \quad (3.6)$$

$$R_1 = A \sqrt{\left(\frac{\ell_H}{A}\right)^2 - \frac{1}{4}} \quad (3.7)$$

$$\frac{A}{R_1} = \frac{A-a}{R_H} \quad (3.8)$$

$$R_H = (A-a) \frac{R_1}{A} \quad (3.9)$$

แทนค่า  $R_1$  ด้วยค่าจากสมการ (3.7) จะได้

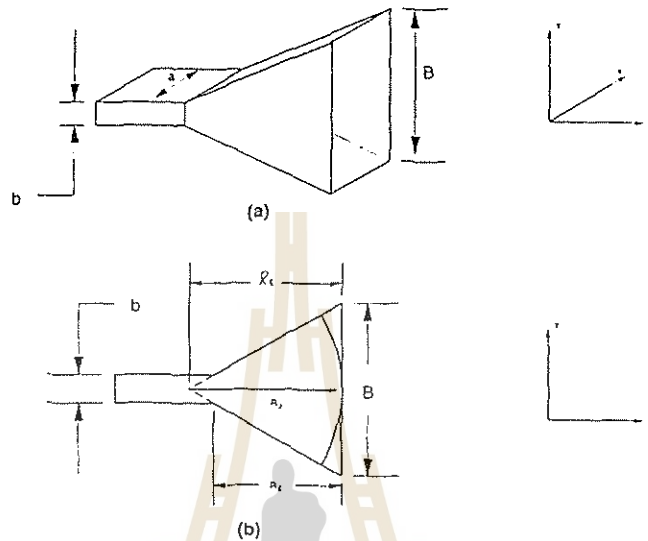
$$R_H = (A-a) \sqrt{\left(\frac{\ell_H}{A}\right)^2 - \frac{1}{4}} \quad (3.10)$$

ซึ่งแสดงว่าสายอากาศปีกแตรที่มีอัตราขยายสูงสุดนั้น จะมีขนาดของ  $A$  เท่ากับ

$$A = \sqrt{(3\lambda R_1)} \quad (3.11)$$

### 3.2.5 สายอากาศปีกแตรแบบเชกเตอร์รัฐบาลสนามไฟฟ้า (E-Plane Sectoral Horn Antennas)

รูปทรงเรขาคณิตของสายอากาศปีกแตรแบบเชกเตอร์รัฐบาลสนามไฟฟ้า แสดงได้ดังรูปที่ 3.3



รูปที่ 3.3 สายอากาศปีกแตรแบบเชกเตอร์รัฐบาลสนามไฟฟ้า

(ก) รูปทรงเรขาคณิต

(ข) ภาพตัดขวางในรัฐบาลสนามไฟฟ้า

ความสัมพันธ์ของขนาดทางกายภาพสามารถแสดงได้โดยสมการ

$$\ell_E^2 = R_1^2 + \left(\frac{B}{2}\right)^2 \quad (3.12)$$

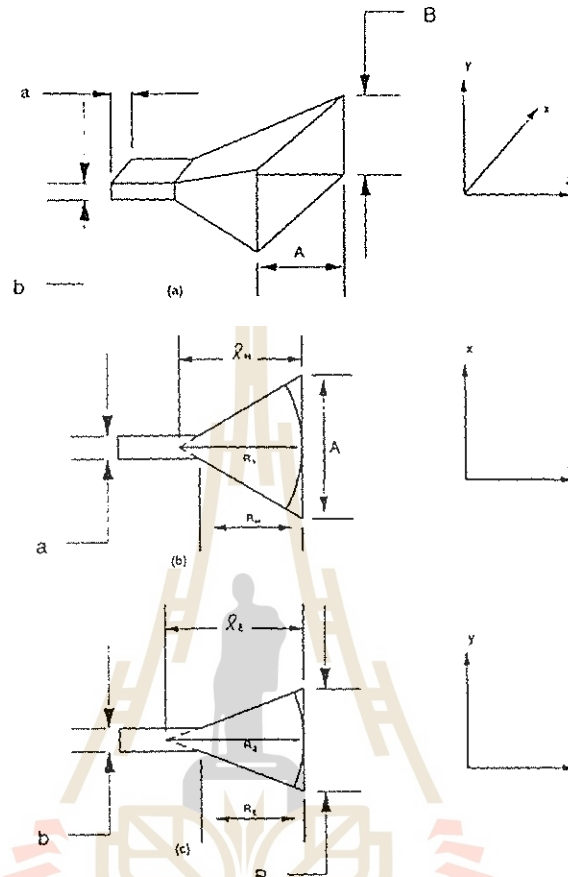
$$R_2 = (B - b) \sqrt{\left(\frac{\ell_E}{B}\right)^2 - \frac{1}{4}} \quad (3.13)$$

ขนาดของสายอากาศปีกแตรที่มีอัตราขยายสูงสุด จะมีขนาดของ  $B$  เท่ากับ

$$B = \sqrt{(2\lambda R_2)} \quad (3.14)$$

### 3.2.6 สายอากาศปากแตรทรงพีระมิด (Pyramidal Horn Antenna)

สายอากาศปากแตรทรงพีระมิดเป็นสายอากาศขดชนิดหนึ่งที่ใช้งานกันอย่างกว้างขวาง มีรูปทรงเรขาคณิต ดังรูปที่ 3.4



รูปที่ 3.4 สายอากาศปากแตรทรงพีระมิด

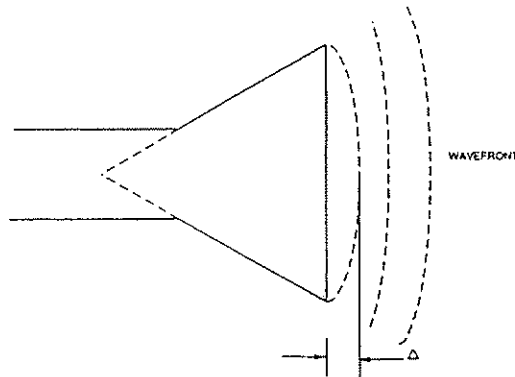
(ก) รูปทรงเรขาคณิต

(ข) ภาพตัดขวางในระนาบสนานามแม่เหล็ก

(ค) ภาพตัดขวางในระนาบสนานามไฟฟ้า

ห้องน้ำคัลลินสามารถแผ่กระจายกำลังงานสนานามแม่เหล็กไฟฟ้าได้หลายโหมด (Mode) โดยมีจำนวนของโหมดที่ไม่สิ้นสุด แต่ละโหมดจะมีองค์ประกอบของสนานามแม่เหล็กและสนานามไฟฟ้าเป็นเอกลักษณ์ของตัวเอง ถ้ามุ่งเป้าของปีกของสายอากาศปากแตรทรงพีระมิดมีขนาดเล็กเพียงพอ ก็จะมีเพียงโหมดการกระจายคลื่นเป็นใหญ่ที่เรียกว่า Dominant Mode เท่านั้น ที่สำคัญที่สุด

เส้นสนานามของโหมดเป็นใหญ่ที่สุด ในกรณีที่เป็นสายอากาศปากแตรแบบเซกเตอร์ จะถูกแบ่งขายออกไปในลักษณะของรูปทรงกระบอก (Cylindrical Form) และในกรณีที่เป็นสายอากาศปากแตรทรงพีระมิดถูกแบ่งขายออกไปในรูปทรงกลม (Spherical Form) ดังแสดงในรูปที่ 3.5



รูปที่ 3.5 ค่าผิดพลาดเชิงเฟส (Phase Errors:  $\Delta$ ) ขึ้นเนื่องมาจากการโถ้งของหน้ากลีนในสายอากาศปักแตะ

ในรูปที่ 3.5 ลักษณะของหน้ากลีน (Wave Front) จะมีความโถ้งไม่แบบราบ จึงทำให้เกิดความผิดพลาดเชิงเฟส (Phase Errors) ซึ่งต้องนำมาคำนวณในการวิเคราะห์คุณลักษณะของสายอากาศด้วย เราสามารถอธิบายค่าผิดพลาดเชิงเฟสนี้โดยใช้ค่าผิดพลาดของวิถีนอร์แมลไลซ์ (Normalized Path Errors)  $s$  และ  $t$

$$s = \frac{\Delta_E}{\lambda} = \frac{B^2}{8\lambda \ell_E} \quad (3.15)$$

$$t = \frac{\Delta_H}{\lambda} = \frac{A^2}{8\lambda \ell_H} \quad (3.16)$$

เมื่อ  $s$  และ  $t$  คือ ค่าความผิดพลาดของวิถีนอร์แมลไลซ์  
 $\lambda$  คือ ความยาวคลื่น

$A, B, \ell_E$  และ  $\ell_H$  คือ ขนาดที่แสดงในรูปที่ 3.4

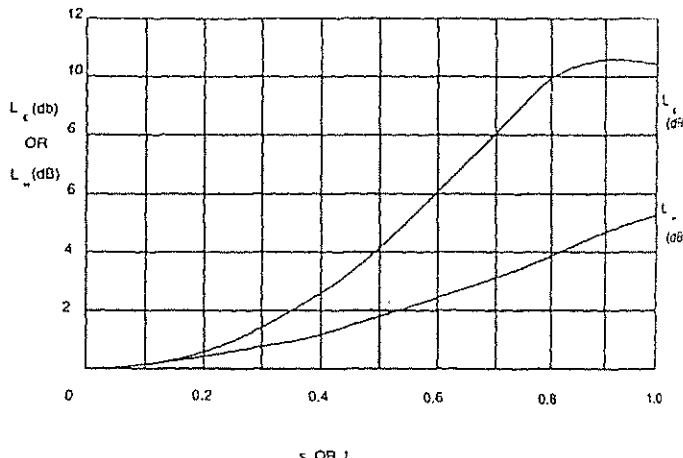
ค่าอัตราขยายโดยประมาณของสายอากาศปักแตะทรงพีระมิด สามารถคำนวณได้โดยใช้สมการ

$$G = \frac{32}{\pi} \left( \frac{A}{\lambda} \right) \left( \frac{B}{\lambda} \right) L_E L_H \quad (3.17)$$

เมื่อ  $L_E$  และ  $L_H$  แสดงค่าสูญเสียเนื่องจากค่าผิดพลาดเชิงเฟส ที่เกิดจากการทางออกของปักแตะซึ่งสามารถแสดงเป็นสมการในหน่วย dB ได้คือ

$$G(\text{dB}) = 10.08 + 10 \log \left[ \left( \frac{A}{\lambda} \right) \cdot \left( \frac{B}{\lambda} \right) \right] - L_E(\text{dB}) - L_H(\text{dB}) \quad (3.18)$$

ค่าของ  $L_E(\text{dB})$  และ  $L_H(\text{dB})$  สามารถหาได้ โดยคำนวณค่าของ  $s$  และ  $t$  โดยใช้สมการ (3.15) และ (3.16) ออกมา ก่อน จากนั้นอ่านค่า  $L_E(\text{dB})$  และ  $L_H(\text{dB})$  จากกราฟในรูปที่ 3.6



รูปที่ 3.6 ค่าส่วนประกอบการสูญเสีย (Loss Factor) ที่เกิดขึ้นใน  
ระยะนับนา�ไฟฟ้าและระยะนับนามแม่เหล็ก

### 3.3 สรุป

จากการศึกษาที่ผ่านมาในหน่วยนี้ ผู้ศึกษาได้เข้าใจถึง ค่าการสูญเสียกำลังงานที่เรียกว่า ค่าการสูญเสียจากการแพร่กระจายในอากาศอิสระ (Free-Space Propagation Loss) ซึ่งเกิดจากการแยกจากกันระหว่างสายอากาศสองตัว และได้เรียนรู้คุณลักษณะของสายอากาศปากแตรทรงพิริมิดเพิ่มมากขึ้น โดยเฉพาะค่าความกว้างลำครึ่งกำลัง ค่าอัตราส่วนลำคลื่นด้านหน้าต่อด้านหลัง ค่าพื้นที่ประสิทธิผลและค่าอัตราขยายของสายอากาศนิดนึง และที่สำคัญได้เข้าใจวิธีการคำนวณเพื่อหาค่าอัตราขยายของสายอากาศด้วยวิธีแทนที่ (Substitution Method)

### 3.4 คำถามหลังการเรียนรู้

- เมื่อกำหนดค่าความยาวคลื่น มีพารามิเตอร์ตัวใดที่มีอิทธิพลต่อค่าการสูญเสียจากการแพร่กระจายกำลังงานในอากาศอิสระ (Free-Space Propagation Loss)  $L_F$
- ถ้าต้องการออกแบบสายอากาศปากแตรแบบเชกเตอร์ระยะนับนามแม่เหล็ก สำหรับใช้งานที่ความถี่ 10.52 GHz ขนาดภายในของห้อน้ำคือ  $a = 2.3$  เซนติเมตร  $b = 1$  เซนติเมตร และปากแตรมีความลึกด้านใน  $R_L = 5$  เซนติเมตร ให้หาความกว้างของช่องเปิด ( $A$ ) และค่าความลึกด้านนอก ( $R_H$ ) ของปากแตร
- ให้อธิบายว่าทำไง  $G = \frac{26000}{HPBW_E \cdot HPBW_H}$  จึงให้ค่าอัตราขยายโดยประมาณของสายอากาศปากแตรได้เป็นอย่างดี
- สังเคราะห์อิทธิพลของมุมเปิดของปีก (Opening Angle Flare) ของสายอากาศปากแตรทรงพิริมิด ที่มีผลต่อความสามารถแพร่กระจายคลื่น
- ค่าพารามิเตอร์ตัวใดที่ถูกนำมาใช้ในการพิจารณาเพื่อหาค่าอัตราขยายของสายอากาศปากแตรทรงพิริมิด

## หน่วยที่ 1-4

### สายอากาศไดโอดความยาว $\lambda/2$ , $\lambda$ และ $3\lambda/2$

#### (The $\lambda/2$ , $\lambda$ and $3\lambda/2$ Dipole Antennas)

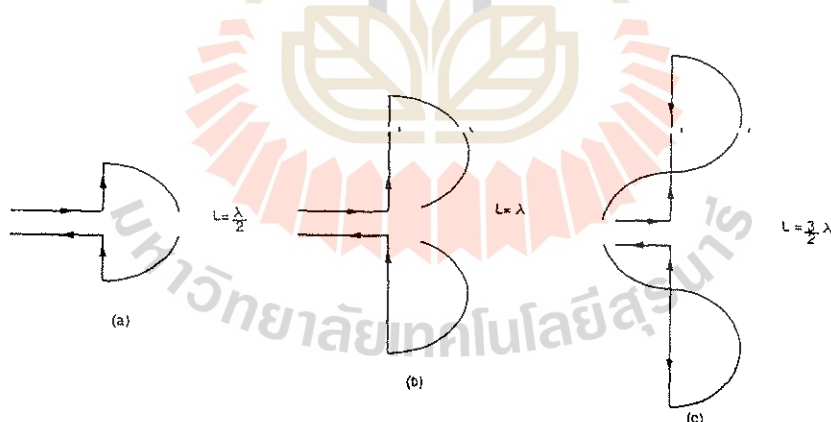
#### 4.1 วัตถุประสงค์

สำหรับเนื้อหาในหน่วยนี้ เมื่อผู้ศึกษาได้ผ่านการเรียนรู้เรียบร้อยแล้ว จะสามารถเข้าใจคุณลักษณะที่สำคัญของสายอากาศไดโอดซึ่งมีขนาดความยาวแตกต่างกัน เช่น มีความยาว  $\lambda/2$ ,  $\lambda$  และ  $3\lambda/2$  ได้เป็นอย่างดี

#### 4.2 ทฤษฎี

##### 4.2.1 เรโซแนนซ์ในไดโอด (Resonance in Dipole)

เนื่องจากการแข่งรูปของกระแสบนสายอากาศไดโอดจะมีค่าไม่คงที่ โดยจะมีค่าของกระแสเป็นศูนย์ที่ปลายของสายอากาศและอาจจะมีค่าของกระแสสูงที่สุดอยู่ที่จุดกึ่งกลางหรือจุดอื่นๆ บนตัวสายอากาศได้ ทั้งนี้ขึ้นอยู่กับความยาวของตัวไดโอดและความถี่ของสัญญาณที่ส่งออกมาจากเครื่องส่ง จากรูปที่ 4.1 (ก) (ข) และ (ค) แสดงให้เห็นการแข่งรูปของกระแสของสายอากาศไดโอดแบบป้อนตรงกลาง (Center-Fed) ซึ่งมีความยาว  $\lambda/2$ ,  $\lambda$  และ  $3\lambda/2$  ตามลำดับ โดยในรูปได้แสดงลูกศรกำกับทิศทางของกระแสที่เกิดขึ้นตามขนาดความยาวของไดโอดที่แตกต่างกัน ขนาดและข้อของกระแสที่เกิดขึ้นต่อตัวไดโอดจะแสดงเป็นรูปของสัญญาณรูปไซน์ (Sinusoidal)



รูปที่ 4.1 การแข่งรูปของกระแสในสายอากาศไดโอดแบบป้อนตรงกลาง

##### 4.2.2 อินพุตอิมพีเดนซ์ (Input Impedance)

ไดโอดที่มีความยาว  $\lambda/2$ ,  $\lambda$  และ  $3\lambda/2$  จะเป็นตัวแปรกระจายคลื่นที่มีประสิทธิภาพได้ จะต้องมีคุณลักษณะเสมือนกับอิเล็มเม้นต์แบบตัวต้านทาน (Resistive Element) กระแสและแรงดันจึงจะมีเฟสเดียวกัน จึงจะทำให้ค่ารีแอคเคนซ์ (Reactance) ของสายอากาศมีค่าน้อยมากๆ อย่างไรก็ตามการปรับแต่งสายอากาศไดโอดที่มีความยาว  $\lambda$  ให้มีค่าอิมพีเดนซ์ที่เหมาะสมกับเครื่องส่งนั้น จะทำได้ก่อนข้างยาก

หากวัดค่าอินพุตอิมพีเดนซ์ของสายอากาศได้โดยขนาดความยาว  $\lambda/2$  หรือ  $3\lambda/2$  จะพบว่าค่ารีแอกเคนซ์จะมีค่าเข้าใกล้ศูนย์ และค่าความต้านทาน (Resistance) ทางทฤษฎีจะเท่ากับ 73 โอห์ม

$$Z_{in} = R_{in} + jX_{in} = 73 + j0 \quad \Omega \quad (4.1)$$

สำหรับไดโอลที่มีขนาดความยาวอื่น ๆ (มากกว่า  $\lambda/2$  แต่ไม่นึง  $\lambda$  หรือ  $3\lambda/2$ ) จะมีอินพุตอิมพีเดนซ์มากกว่า 73 โอห์ม และค่ารีแอกเคนซ์จะมีค่าไม่เข้าใกล้กับศูนย์ จึงทำให้แรงดันกับกระแสไม่เฟสต่างกัน ทำให้สายอากาศไม่มีประสิทธิภาพในการเผยแพร่กระจายคลื่น สำหรับตารางที่ 4.1 คือ สูตรสำหรับใช้คำนวณหาค่าความต้านทานอินพุตโดยประมาณของสายอากาศไดโอลที่ความยาวต่างๆ กัน

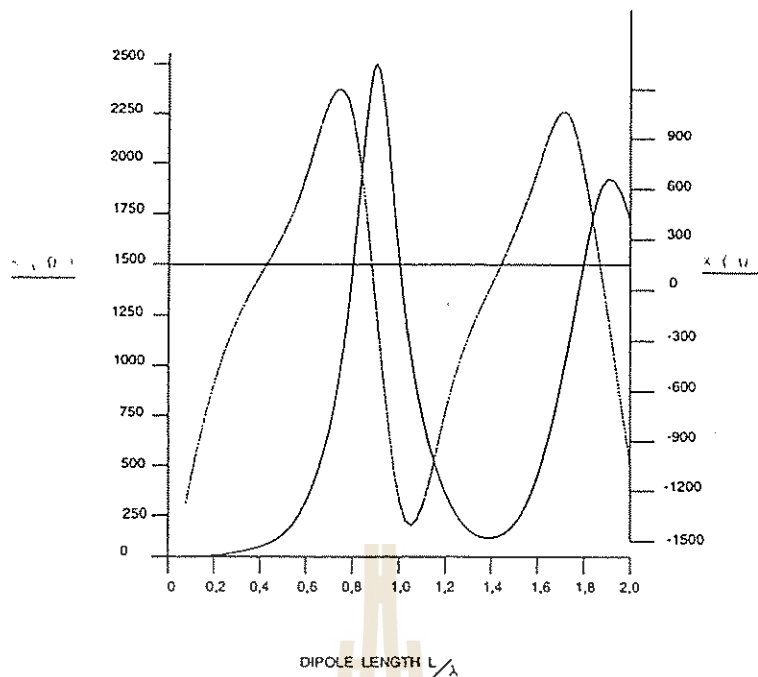
ตารางที่ 4.1 สูตรสำหรับคำนวณค่าความต้านทานอินพุต (Input Resistance) ของสายอากาศไดโอล

ความยาวของไดโอล ( $L$ )	ค่าความต้านทานอินพุต ( $R_{in}$ )
$0 < L < \frac{\lambda}{4}$	$20\pi \left(\frac{L}{\lambda}\right)^2$
$\frac{\lambda}{4} < L < \frac{\lambda}{2}$	$24.7 \left(\pi \frac{L}{\lambda}\right)^{2.4}$
$\frac{\lambda}{2} < L < 0.637\lambda$	$11.14 \left(\pi \frac{L}{\lambda}\right)^{4.17}$

รูปที่ 4.2 แสดงค่าความต้านทานอินพุต  $R_{in}$  และค่าอินพุตรีแอกเคนซ์  $X_{in}$  ซึ่งเป็นฟังก์ชันของความยาวของสายอากาศ จากราฟจะเห็นว่าเมื่อความยาวของไดโอลอยู่ที่ประมาณ  $\lambda/2$  หรือ  $3\lambda/2$  ค่าอินพุตรีแอกเคนซ์จะเท่ากับศูนย์และค่าความต้านทานอินพุตจะเข้าใกล้ค่า 73 โอห์ม โดยกราฟนี้สามารถใช้กับสายอากาศที่มีขนาดเด่นดวงที่เล็กมากๆ เท่านั้น

นอกจากนี้ในรูปที่ 4.2 ยังได้แสดงให้เห็นว่า เมื่อความยาวของไดโอลอยู่ที่ประมาณ  $\lambda$  ค่าความต้านทานอินพุตจะสูงมากและค่าอินพุตรีแอกเคนซ์จะแสดงเป็นค่าประจุ (Capacitive) และค่าอินพุตรีแอกเคนซ์จะเป็นส่วนหนึ่งของค่าอินพุตอิมพีเดนซ์ที่สามารถลดคลื่นลงให้เป็นศูนย์ได้ โดยการลดความยาวของไดโอลให้อยู่ที่ประมาณ  $0.9\lambda$  แต่ในขณะเดียวกัน ที่ขนาดความยาวนี้จะให้ค่าความต้านทานอินพุตสูงที่สุด ด้วยเหตุผลนี้ สายอากาศไดโอลความยาว  $\lambda$  จึงจัดว่าเป็นสายอากาศที่ปรับแต่งค่าอินพุตอิมพีเดนซ์ยากที่สุด

หมายเหตุ ค่าอินพุตอิมพีเดนซ์ของไดโอล  $\lambda$  ที่มีค่าสูง สามารถครุภัยได้จากรูปที่ 4.1 ซึ่งจะแสดงกระแสที่มีค่าเป็นศูนย์ที่ชุดกึ่งกลางสาย ซึ่งเป็นจุดที่จะต้องต่อสายส่งสัญญาณเข้ามาที่จุดนี้ ในทางทฤษฎีความต้านทานตรงจุดนี้จึงมีค่าเป็นอนันต์



รูปที่ 4.2 ค่าความต้านทานอินพุต (เส้นทึบ) และค่าอินพุตเรื่องเดนซ์ (เส้นประ) ของไดโอลซึ่งเป็นฟังก์ชันของความยาวสายอากาศ

#### 4.2.3 แบบรูปการแผ่กระจายกำลังงาน (Radiation Pattern)

แบบรูปการแผ่กระจายกำลังงานในระบบสนามแม่เหล็กของไดโอลนี้จะมีลักษณะเป็นวงกลมโดยประมาณส่วนในระบบสนามไฟฟ้าถูกอธิบายด้วยสมการ (4.2)

$$E_\theta = E_o \frac{\cos[(\beta L/2) \cos \theta] - \cos(\beta L/2)}{\sin \theta} \quad (4.2)$$

โดยที่  $E_o$  เป็นค่าสูงสุดของ  $E_\theta$   
และ  $\beta = 2\pi/\lambda$

ในกรณีที่  $L = \lambda/2$  สมการ (4.2) จะเท่ากับ

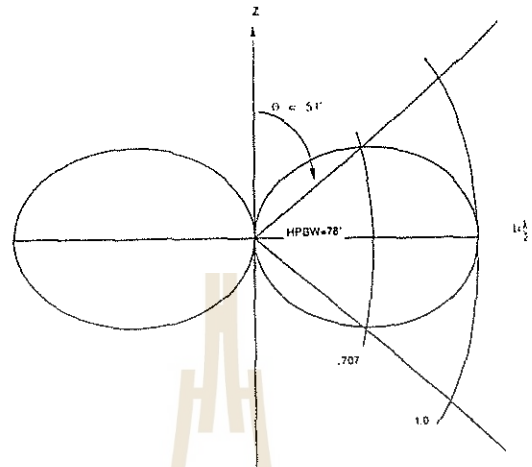
$$E_\theta = E_o \frac{\cos[(\pi/2) \cos \theta]}{\sin \theta} \quad (4.3)$$

จะมีรูปร่างดังแสดงในรูปที่ 4.3 ค่าสูงสุดของ  $E_\theta$  อู้ที่  $\theta = 90^\circ$  และที่  $\theta = 51^\circ$ ,  $E_\theta = 0.707E_o$  ซึ่งคำแห่งนี้ก็คือ จุดที่มีกำลังงานลดลงครึ่งหนึ่งของกำลังงานสูงสุด ดังนั้นความกว้างลำคลื่นที่กำลังลดลงครึ่งหนึ่ง (Half Power Beam Width: HPBW) จึงหาได้จาก

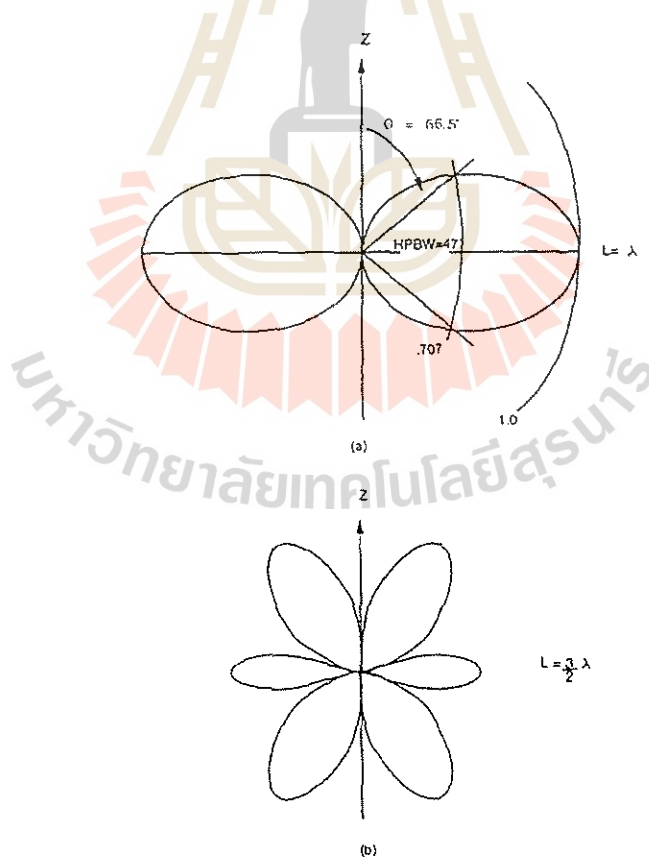
$$\text{HPBW} = 2(90 - 51) = 78^\circ \quad (4.4)$$

ดังนั้น ค่าสภาพเจาะจงทิศทางของสายอากาศ จะเท่ากับ  $D = 1.64 = 2.15 \text{ dB}$

แบบรูปการแผ่กระจายกำลังงานของสายอากาศไดโอดความยาว  $\lambda$  และ  $3\lambda/2$  ได้ถูกพิสูจน์และแสดงไว้ในรูปที่ 4.4 ค่าสภาพเฉพาะจงทิศทางของไดโอดที่มีความยาวมากกว่า  $1.25\lambda$  จะลดลงเมื่อความยาวของไดโอดเพิ่มขึ้น ที่เป็นเห็นนี้เพราะว่ากระแสที่อยู่ในส่วนที่แยกต่างกันของไดโอด จะเกิดการหักล้างกันเองของสนาม ทำให้แบบรูปของการแผ่กระจายกำลังงานที่ได้ซึ่งเกิดลำดับขั้นขึ้นจำนวนมาก



รูปที่ 4.3 แบบรูปการแผ่กระจายกำลังงานของสายอากาศไดโอด

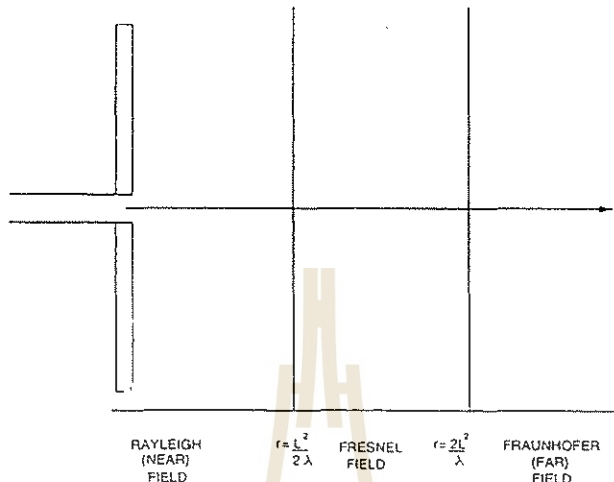


รูปที่ 4.4 (ก) แบบรูปการแผ่กระจายกำลังงานของไดโอดความยาว  $\lambda$

(ข) แบบรูปการแผ่กระจายกำลังงานของไดโอดความยาว  $3\lambda/2$

#### 4.2.4 สนามของสายอากาศ (Antenna Fields)

หลักการของสนามคือสิ่งสำคัญในการศึกษาเกี่ยวกับเรื่องของสายอากาศ ซึ่งแบ่งได้เป็น 3 บริเวณ (Regions) ได้แก่ สนามเรย์ลีหรือสนามระยะใกล้ (Rayleigh or Near Field) สนามเฟรสเนล (Fresnel Field) และสนามฟรอนโซเฟอร์หรือสนามระยะไกล (Fraunhofer or Far Field) ดังแสดงในรูปที่ 4.5



รูปที่ 4.5 การแบ่งบริเวณสนามของสายอากาศ

สนามระยะไกล (Far Field) หาก้าได้จาก

$$r > \frac{2L^2}{\lambda} \quad (4.5)$$

โดยที่  $r$  เป็นระยะจากสายอากาศ

$L$  เป็นความยาวของสายอากาศ (หรือขนาดที่ใหญ่สุดของช่องเปิด)

บริเวณสนามระยะไกล คือ บริเวณที่เราสนใจเพื่อทำการศึกษาเรื่องของสายอากาศ เพราะเป็นบริเวณที่ใช้จัดการสายอากาศเพื่อทำการวัดแบบรูปการແຜกระยะกำลังงานหรือทำการวัดคุณลักษณะต่างๆของสายอากาศ ในกรณีที่ความยาวของสายอากาศสั้นและสายอากาศสร้างมีขนาดแตกต่างกัน จะต้องแทนค่า  $L$  ด้วยขนาดของสายอากาศที่มีความยาวสูงสุด เพื่อจะได้มั่นใจว่าเป็นบริเวณสนามระยะไกลที่ถูกต้อง

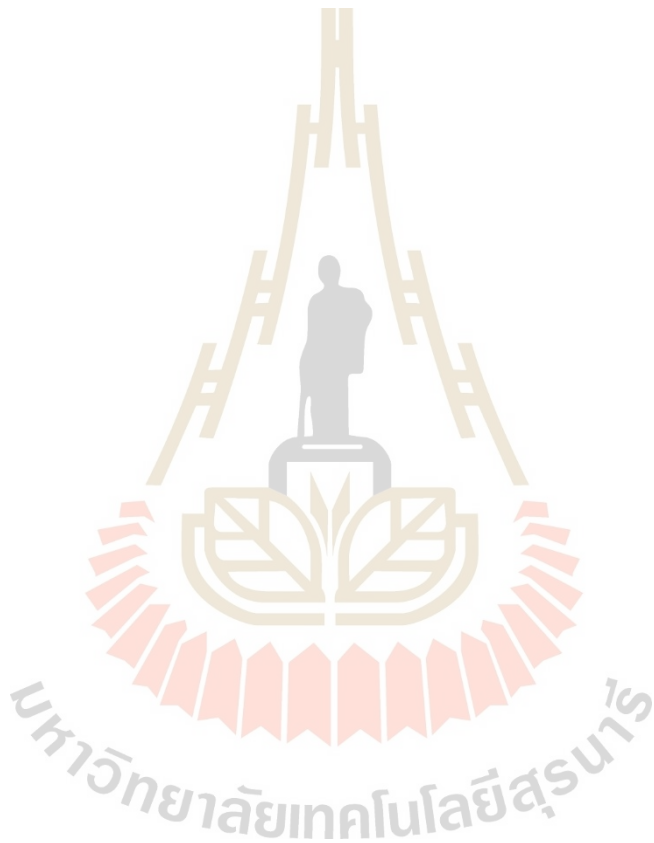
หมายเหตุ ไม่ควรร่วงสายอากาศในบริเวณที่เป็น Rayleigh เมื่อทำการวัดคุณลักษณะใดๆ แต่ในบางกรณีอาจจะขอมรับได้เมื่อวางแผนสายอากาศในบริเวณที่เป็น Fresnel

### 4.3 สรุป

ในหน่วยเรียนที่ผ่านมา ผู้ศึกษาจะเข้าใจลักษณะการແຜกระยะกำลังงานคลื่นจากแบบรูปการແຜกระยะกำลังงานของสายอากาศ โดยเฉพาะขนาดที่ความยาว  $\lambda/2$ ,  $\lambda$  และ  $3\lambda/2$  โดยจะสังเกตเห็นค่าอินพุตอิมพีเดนซ์ของสายอากาศที่มีความยาวต่างกันและมีผลต่อประสิทธิภาพของสายอากาศด้วย และสุดท้ายผู้ศึกษาจะเข้าใจวิธีการหาค่าสภาพเจาะจงที่ทางของสายอากาศโดยความยาว  $\lambda/2$

#### 4.4 คำถามหลังการเรียนรู้

- 1) สายอากาศได้โพลทั้งสามชนิดที่ได้ทำปฏิบัติการผ่านไปแล้วนั้น ความยาวเท่าใดที่เราสนใจและให้ประสิทธิภาพการทำงานดีที่สุด ทำไมจึงเป็นเช่นนั้น
- 2) ถ้าค่าสภาพเฉพาะทางทิศทางของได้โพลขนาดความยาว  $\lambda$  ดีกว่าได้โพลความยาว  $\lambda/2$  ทำไมไม่เลือกสายอากาศนี้มาเป็นคำตอบในข้อที่ 1
- 3) อธิบายความสัมพันธ์ระหว่างการแข่งรูปของกระแส อินพีเดนซ์และความยาวของได้โพลมาพอสั้นๆ ระยะห่างที่ 1 เมตร จะเป็นเงื่อนไขของสนามระยะใกล้ที่ใช้กับสายอากาศได้โพล  $\lambda/2$  และ  $\lambda$  ที่ความถี่ 915 MHz ได้หรือไม่และระยะห่างที่น้อยที่สุดของสายอากาศในเงื่อนไขนี้มีค่าเท่าใด
- 4) ให้แสดงว่าความกว้างลำคลื่นที่กำลังลดลงครึ่งหนึ่ง (HPBW) ของสายอากาศได้โพลความยาว  $\lambda/2$  มีค่าเท่ากับ 78 องศา



## หน่วยที่ 1-5

### สายอากาศไดโพลครึ่งคลื่นแบบพับและการเปลี่ยนอิมพีเดนซ์ด้วยบาลัน

#### (Half-Wave Folded Dipole Antennas and Impedance Transformation with Baluns)

### 5.1 วัตถุประสงค์

ในหน่วยนี้จะเป็นการศึกษาคุณลักษณะของสายอากาศไดโพลครึ่งคลื่นแบบพับ (Half-Wave Folded Dipole Antennas) ซึ่งมีความขาวของตัวไดโพลเท่ากับครึ่งหนึ่งของความขาวคลื่น ต่อจากนี้จะเป็นการอธิบายถึงวิธีการเปลี่ยนแปลงค่าอิมพีเดนซ์ของสายอากาศโดยใช้บาลัน (Baluns)

### 5.2 ทฤษฎีพื้นฐาน

#### 5.2.1 พื้นฐานสายอากาศไดโพลครึ่งคลื่นแบบพับ

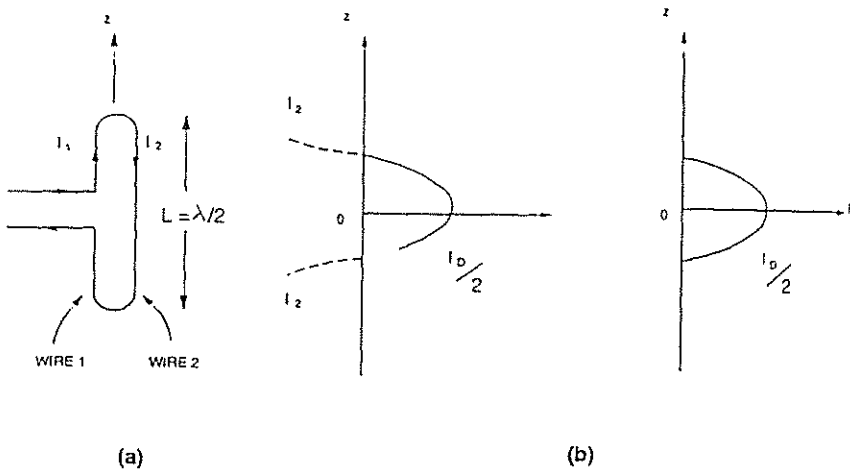
สายอากาศไดโพลแบบพับ (Folded Dipole) จะประกอบด้วยตัวไดโพลสองตัววางขนานกันโดยต่อปลายทั้งสองข้างด้วยกันในลักษณะที่เป็นห่วงแคบๆ ในรูปที่ 5.1 และรูปที่ 5.2 ไดแสดงให้เห็นความแตกต่างระหว่างสายอากาศไดโพลครึ่งคลื่นแบบปกติกับสายอากาศไดโพลครึ่งคลื่นแบบพับ



รูปที่ 5.1 สายอากาศไดโพลครึ่งคลื่น (Half-Wave Dipole Antennas)

(ก) โครงสร้างของสายอากาศ

(ข) การแจงรูปของกระแส



รูปที่ 5.2 สายอากาศໄດ້ໂພລຄົງຄື່ນແບບພັບ (Half-Wave Folded Dipole Antennas)

(ก) ໂຄຮງສ້າງຂອງສາຍອາກາສ

(ข) ການແຈງຮູບຂອງກະຮແສ

ຈາກຮູບທີ 5.1 ເປັນໄດ້ໂພລຄົງຄື່ນ (Half-Wave Dipole) ກະຮແສທີ່ປິບໃໝ່ແກ້ໄໄໂພລຈະນີ້ກ່າວປິບສູນທີ່ປ່າຍສາຍທີ່ສອງດ້ານ ກະຮແສທີ່ແຈງຮູບນີ້ຈະເປັນສັງຄູາລັກນະໄຫີນ (Sinusoidal) ໂດຍມີຄ່າສູງສຸດອູ້ທີ່ຈຸດກິ່ງກລາງຂອງໄໄໂພລ

ການແຈງຮູບຂອງກະຮແສບນໄໄໂພລສາມາດແສດງໃນຮູບຂອງສາມາດການທາງຄົນຕາສຕຣີໄດ້ ອີ້

$$I(Z) = I_D \sin\left[\frac{2\pi}{\lambda}\left(\frac{L}{2} - |Z|\right)\right], \quad |Z| < \frac{L}{2} \quad (5.1)$$

ໂດຍທີ່  $Z$  ແລະ  $L$  ໄດ້ແສດງໄວ້ໃນ ຮູບທີ່ 5.1

ໄໄໂພລຄົງຄື່ນແບບພັບ (Half-Wave Folded Dipole) ໃນຮູບທີ່ 5.2 ຈະມີການແຈງຮູບຂອງກະຮແສບນ Wire 1 ເປັນສັງຄູາລັກນະໄຫີນແໜ່ອນກັນ ແຕ່ຈະມີຄ່າສູງສຸດຂອງກະຮແສບນ ວິວເມວຊຸດກິ່ງກລາງເຫັນ  $I_D/2$  ແພນທີ່ ຈະເຫັນ  $I_D$  ກະຮແສຮູບໃໝ່ຈະມີຄ່າກລາງເປັນສູນທີ່ມີອູ້ທີ່ປ່າຍທີ່ສອງຂອງ Wire 1 ຈາກນີ້ຈະຄ່ອຍໆເພີ່ມຂຶ້ນ ຈາກ Wire 1 ໂປ່ງສູ່ Wire 2 ຈົນກະທີ່ຈະມີຄ່າສູງສຸດອູ້ທີ່ກິ່ງກລາງຂອງ Wire 2

ການແຈງຮູບຂອງກະຮແສທີ່ສອງບນ Wire 1 ແລະ Wire 2 ຂອງສາຍອາກາສໄໄໂພລແບບພັບ ຈະເກີດກາເສຣີມ ກັນຈົນມີລັກນະໄຫີນກັບການແຈງຮູບຂອງກະຮແສບນສາຍອາກາສໄໄໂພລແບບປົກຕິ ກໍາລັງຂອງຄື່ນທີ່ແຜ່ກະຈາຍ ອອກໄປສາມາດເຂື້ອນໃນຮູບຂອງສາມາດການໄດ້ ອີ້

$$P_D = \frac{1}{2} Z_D I_D^2 = P_F = \frac{1}{2} Z_F I_F^2 = \frac{1}{2} Z_F \left(\frac{I_D}{2}\right)^2 \quad (5.2)$$

ໂດຍທີ່  $P_D$ ,  $Z_D$  ແລະ  $I_D$  ອີ້ ຄ່າກໍາລັງງານ ຄ່າອົມພື້ແດນ໌ ແລະ ຄ່າຂອງກະຮແສບນສາຍອາກາສໄໄໂພລແບບປົກຕິ

$P_F$ ,  $Z_F$  ແລະ  $I_F$  ອີ້ ຄ່າກໍາລັງງານ ຄ່າອົມພື້ແດນ໌ ແລະ ຄ່າຂອງກະຮແສບນສາຍອາກາສໄໄໂພລແບບພັບ

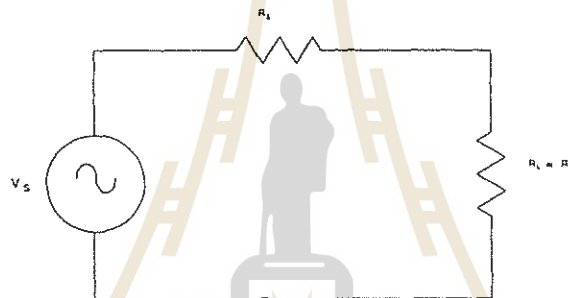
ผลจากสมการ (5.2) จะพบว่า ค่าอิมพุตอินพีเดนซ์มากกว่าของสายอากาศได้โผลแบบปักติอยู่ประมาณ 4 เท่า (ปักติจะอยู่ที่ 73 โอห์ม) ดังนั้นค่าอิมพุตอินพีเดนซ์ของไดโผลแบบพันจึงเท่ากับ

$$Z_F = (5.4)Z_D = (5.4)(73) = 292 \quad \Omega \quad (5.3)$$

หมายเหตุ ค่าอิมพุตอินพีเดนซ์ของสายอากาศไดโผลแบบปักติจะมีค่าอยู่ประมาณ 70, 72 หรือ 73  $\Omega$  (ขึ้นอยู่กับบางตำรา) ผลที่ตามมาก็คือค่าอิมพุตอินพีเดนซ์ของสายอากาศไดโผลแบบพันจึงมีค่าแตกต่างกันออกไปค่อนข้างชัดเจน ตั้งแต่  $280 \Omega$  ถึง  $300 \Omega$

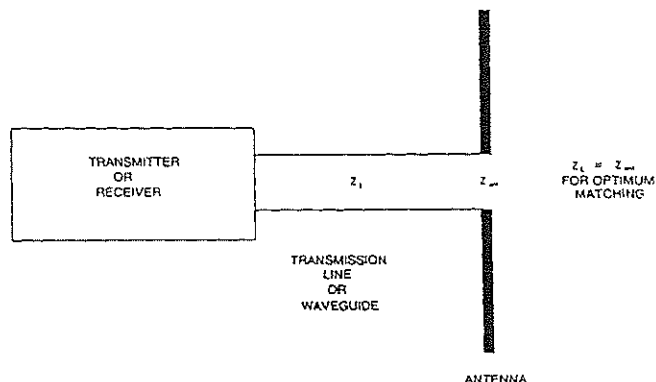
### 5.2.2 การแมตช์ค่าอิมพีเดนซ์ (Impedance Matching)

เพื่อให้เกิดการถ่ายโอนกำลังงานได้สูงสุด ค่าอิมพีเดนซ์ของแหล่งจ่ายจะต้องเท่ากับค่าอิมพีเดนซ์ของโหลด จากรูปที่ 5.3 แสดงตัวอย่างของวงจรแบบง่ายที่มีการต่อ กันของแหล่งจ่ายแรงดัน ( $V_s$ ) ที่มีค่าอิมพีเดนซ์ ( $R_s$ ) ต่ออยู่กับความต้านทานที่เป็นโหลด ( $R_L$ ) การถ่ายโอนกำลังงานสูงสุดจะเกิดขึ้นก็ต่อเมื่อค่า  $R_s = R_L$



รูปที่ 5.3 การแมตช์ค่าอิมพีเดนซ์ของแหล่งจ่ายกับของโหลด  
เพื่อให้เกิดการถ่ายโอนกำลังงานได้สูงสุด

ระบบสายอากาศก็มีหลักการเช่นเดียวกัน การถ่ายโอนกำลังงานจะได้ผลดีที่สุดเมื่อค่าอิมพีเดนซ์ของสายอากาศ ( $Z_{ant}$ ) ต้องเท่ากับค่าอิมพีเดนซ์ของสายส่ง หรือท่อน้ำคลีน (Waveguide) ( $Z_L$ ) ดังในรูปที่ 5.4



รูปที่ 5.4 ค่าอิมพีเดนซ์ที่สายส่งและที่จุดต่อสายอากาศ

ถ้าการแมตช์ระหว่างสายส่งและสายอากาศทำได้ดีย่างไม่สมบูรณ์ กำลังงานทางส่วนของการถ่ายโอนจะเกิดการสะท้อนกลับมาที่เครื่องส่งแทนที่จะถูกส่งไปให้สายอากาศเพื่อทำหน้าที่แผ่กลืนออกไป ในกรณีของสายอากาศรับก็เช่นกัน จะเกิดสัญญาณส่วนหนึ่งที่รับได้โดยสายอากาศจะไม่ถูกส่งไปบังเครื่องรับ เมื่อเกิดการไม่แมตช์ของค่าอิมพีเดนซ์ สมการ (5.4) จะแสดงความสัมพันธ์ของกำลังที่ถูกส่งออกไปยังจุดต่ออิมพีเดนซ์กับกำลังงานที่ถูกสะท้อนกลับมา

$$P_T = 1 - P_{Rf} = 1 - \left| \frac{SWR - 1}{SWR + 1} \right|^2 = 1 - \left| \frac{Z_{ant} - Z_L}{Z_{ant} + Z_L} \right|^2 \quad (5.4)$$

เมื่อ  $P_T$  คือ กำลังที่ส่งผ่านไปยังจุดต่อของอิมพีเดนซ์

$P_{Rf}$  คือ กำลังที่สะท้อนกลับที่จุดต่อของอิมพีเดนซ์

$SWR$  คือ อัตราส่วนคลื่นนึง

สำหรับกรณีที่มีการแมตช์ที่สมบูรณ์  $Z_{ant} = Z_L$  และจะไม่เกิดคลื่นนึง เนื่องจาก  $SWR = Z_{ant}/Z_L = 1$  ซึ่งจะไม่เกิดการสะท้อนกลับของกำลังงาน นั่นคือ

$$P_{Rf} = \left| \frac{SWR - 1}{SWR + 1} \right|^2 = \left| \frac{0}{1} \right|^2 = 0 \quad (5.5)$$

และกำลังงานทั้งหมดสามารถส่งผ่านไปได้

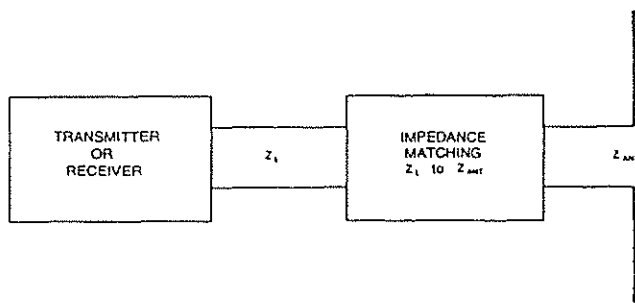
เมื่อสายส่งมีค่าอิมพีเดนซ์ 73 โอห์มต่อคันสายอากาศได้โพลคริ่งคลื่นแบบพับ (Half-Wave Folded Dipole Antennas) ที่มีค่าอิมพีเดนซ์เป็น 4 เท่าของสายส่ง ( $4 \times 73 = 292$  โอห์ม) มีผลทำให้เกิดคลื่นนึงและค่า  $SWR$  คือ

$$SWR = \frac{Z_{ant}}{Z_L} = \frac{4}{1} = 4 \quad (5.6)$$

$$P_T = 1 - P_{Rf} = 1 - \left| \frac{SWR - 1}{SWR + 1} \right|^2 = 1 - \left| \frac{3}{5} \right|^2 = 0.64 \quad (5.7)$$

ในกรณี กำลังงานทั้งหมดสามารถส่งผ่านไปได้ 64% และจะถูกสะท้อนกลับประมาณ 36% pragmatically การณ์นี้ไม่ทำให้เกิดผลรุนแรง (ถึงแม่ว่าจะอยู่ที่ระดับกำลังงานสูงๆ) แต่ก็เป็นสิ่งที่เราไม่ต้องการ การทำงานจะกระทำได้ดีย่างสมบูรณ์ก็ต่อเมื่อค่าอิมพีเดนซ์ระหว่างสายส่งและสายอากาศเกิดการแมตช์กันมากที่สุด ดังแสดงในรูปที่ 5.5

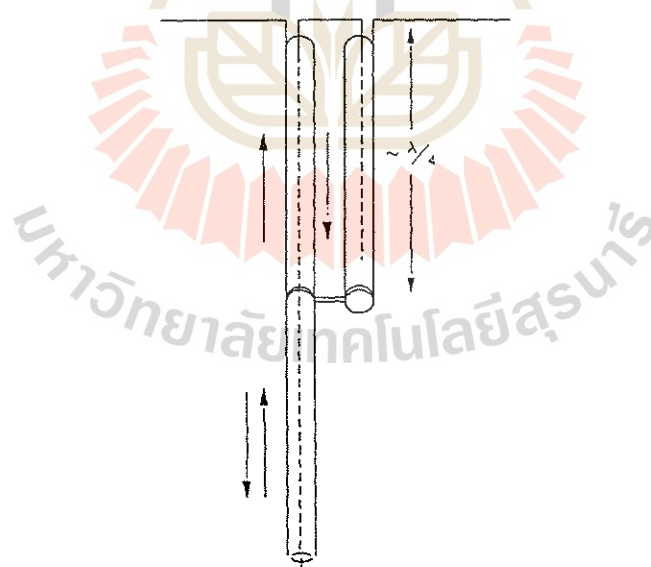
ปัญหานั้นซึ่งเกี่ยวข้องกับปัญหาของการแมตช์อิมพีเดนซ์ก็คือ การต่อสายอากาศแบบสมดุล (Balanced Antenna) เช่น สายอากาศได้โพลชนิดป้อนตรงกลาง (Center-Fed) เข้ากับสายส่งที่ไม่สมดุล (Unbalanced Transmission Line) เช่น สายแบบคู่ขนาน (Parallel-Wire Pair) ปัญหาของการต่อสายอากาศที่สมดุลกับสายส่งที่ไม่สมดุลก็จะไม่เกิดขึ้น



รูปที่ 5.5 การแมตช์ค่าอิมพีเดนซ์ (Impedance Matching) ระหว่างสายอากาศและสายส่ง

ด้านสายอากาศได้โพลแบบป้อนตรงกลางถูกต่อเข้ากับสายโภคแลกเชียล ความสมดุลย์ของสายอากาศก็จะสูญเสียไป โดยด้านหนึ่งของโภลจะถูกต่อเข้ากับสายตัวนำส่วนใน (Inner Conductor) ของสายโภคแลกเชียล และอีกด้านหนึ่งจะต่อเข้ากับส่วนที่เป็นชีล์ดของสายส่วนเดียวกัน กรณีนี้จะทำให้กระแสที่ไหลบนด้านนอกของชีล์ดสร้างสนามขึ้นมา ซึ่งสนามนี้จะไม่สามารถถูกหักล้างจากสนามที่เกิดจากกระแสที่ไหลในสายตัวนำส่วนในได้ เนื่องจากการชีล์ดนั้นเอง ดังนั้นจึงเกิดการแผ่กระจายคลื่นออกมาจากกระแสที่ไหลบนด้านนอกของชีล์ดของโภคแลกเชียลด้วย

ปัญหาดังกล่าวสามารถแก้ไขได้โดยการใช้สายโภคแลกเชียลยาวประมาณ  $\lambda/4$  ดังแสดงในรูปที่ 5.6 มีการต่อส่วนที่เป็นชีล์ดด้านนอกเข้าด้วยกันที่จุดที่ต่ำลงมาจากขั้วต่อของสายอากาศประมาณ  $\lambda/4$  ดังนั้นกระแสในส่วนที่สองจะถูกเหนี่ยววนบนด้านนอกของชีล์ด ทำให้กระแสสองชุดเกิดหักล้างซึ่งกันและกัน การจัดสายโภคแลกเชียลในลักษณะนี้เรียกว่า บาลัน (Balun) ซึ่งมาจากคำว่า Balanced to Unbalanced



รูปที่ 5.6 บาลันสำหรับต่อสายอากาศได้โพลเข้ากับสายโภคแลกเชียล

หลักการของสายส่งซึ่งมีความยาว  $\lambda/4$  จะปรากฏเมื่อนค่าอิมพีเดนซ์ที่ตัวไดโภลเป็นอนันต์ และจะไม่มีผลกระทบต่อการทำงานของสายอากาศ อย่างไรก็ตามกระแสซึ่งไหลบนด้านบาลันจะสมดุลกับกระแสที่ไหลบนด้านนอกของสายโภคแลกเชียล

บาลันที่ใช้กันอยู่มีอยู่หลายชนิด สำหรับอุปกรณ์ที่ใช้ในการปฏิบัติการนี้ บาลันจะถูกติดตั้งเอาไว้แล้ว ที่ขั้วต่อที่ใช้สำหรับไดโอด ซึ่งเป็นบาลันที่มีโครงสร้างคล้ายกันกับที่แสดงในรูปที่ 5.6 แต่ที่มีบาลันแบบอื่นๆ อีกหนึ่งกันที่นอกจากจะทำหน้าที่ช่วยในการสร้างสมดุลย์ระหว่างสายอากาศที่สมดุลยกับสายส่งที่ไม่สมดุลย์แล้วยังมีหน้าที่เปล่งค่าอิมพีเดนซ์ระหว่างสายอากาศและสายส่งให้เท่ากันได้อีกด้วย ซึ่งต่อไปจะเป็นการศึกษาถึงกรณีที่สายอากาศไดโอดครึ่งคลื่นแบบพับต่อเข้ากับสายโคแอกเชียล โดยกรณีแรกเป็นแบบไม่ต้องใช้บาลัน ส่วนกรณีที่สองจะเป็นบาลันที่สามารถเปล่งค่าอิมพีเดนซ์ในอัตราส่วน 4:1 ได้ด้วย

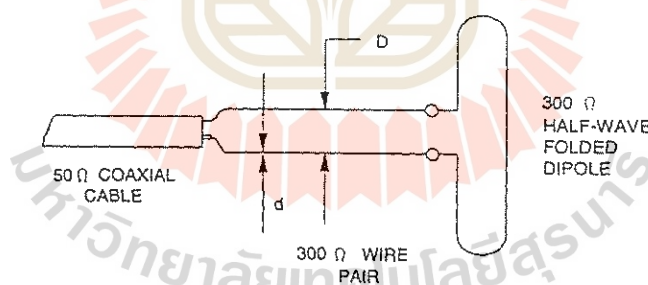
### 5.2.3 สายอากาศครึ่งคลื่นแบบพับของชุดปฏิบัติการ

สำหรับอุปกรณ์ในชุดปฏิบัติการจะมีสายอากาศไดโอดครึ่งคลื่นแบบพับ (Half-Wave Folded Dipole) ซึ่งมีความถี่ใช้งานที่ 1 GHz โดยทั่วไปสายอากาศนี้จะมีค่าอินพุตอิมพีเดนซ์ประมาณ 292 Ω โอห์ม

สายส่งสัญญาณที่ใช้กับสายอากาศที่ความถี่ 1 GHz ของชุดปฏิบัติการนี้จะเป็นสายโคแอกเชียล 50 Ω โดยจะมีตัวเปล่งค่าอิมพีเดนซ์ทั้งสองข้างเพื่อเปล่งค่าอิมพีเดนซ์จากสายโคแอกเชียล 50 Ω ไปหาค่าอิมพีเดนซ์ของสายอากาศไดโอดแบบพับที่ 292 Ω ได้ โดยนิยมแรกนี้จะเป็นตัวเปล่งค่าอิมพีเดนซ์ที่ไม่ต้องใช้บาลัน ส่วนนนิยมที่สองจะเป็นบาลันที่สามารถเปล่งค่าอิมพีเดนซ์ในอัตราส่วน 4:1 ได้ด้วย

### 5.2.4 การส่งผ่านโดยไม่ต้องใช้บาลัน

จากรูปที่ 5.7 เป็นการส่งผ่านโดยไม่ต้องใช้บาลัน จากสายโคแอกเชียลอิมพีเดนซ์ 50 Ω ไปยังสายส่งคู่ขนานที่มีอิมพีเดนซ์ 300 Ω ซึ่งเป็นสายส่งแบบสมดุลย์และต่อเข้ากับสายอากาศไดโอดครึ่งคลื่นแบบพับ ซึ่งมีค่าอิมพีเดนซ์ประมาณ 300 Ω



รูปที่ 5.7 การส่งผ่านโดยไม่ต้อง用บาลันจากสายโคแอกเชียล 50 Ω ไปยังสายคู่ขนาน 300 Ω

และต่อเข้ากับสายอากาศไดโอดครึ่งคลื่นแบบพับที่มีอิมพีเดนซ์ 300 Ω

หมายเหตุ ค่าอิมพีเดนซ์ของสายคู่ขนานจะเป็นพึ่งกึ่งของ อัตราส่วนของ  $D/d$  เมื่อ  $D$  คือ ระยะห่างระหว่างสายสองเส้นซึ่งนานกัน และ  $d$  คือ เส้นผ่านศูนย์กลางของสายแต่ละเส้น สำหรับ 300 Ω ค่า  $D/d$  ประมาณ 6 และที่ 75 Ω ค่า  $D/d$  ประมาณ 1.25

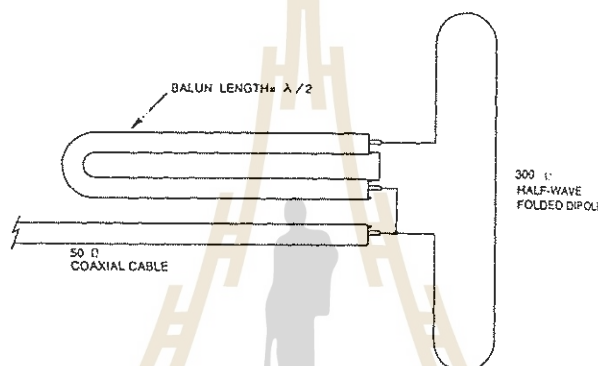
ในกรณีรูปที่ 5.7 เนื่องจากค่าอิมพีเดนซ์มีสัดส่วนระหว่าง 50 Ω และ 300 Ω ค่า SWR จะได้เท่ากับ  $300/50 = 6$  ความสัมพันธ์ระหว่างกำลังที่ถูกส่งออกไป ( $P_t$ ) และกำลังที่สะท้อนกลับ ( $P_{ref}$ ) จะเท่ากับ

$$P_T = 1 - P_{RF} = 1 - \left| \frac{SWR - 1}{SWR + 1} \right|^2 = 1 - 0.51 = 0.49 \quad (5.8)$$

เมื่อการแมตช์อิมพีเดนซ์ทำได้สมบูรณ์แบบ กำลังงานทั้งหมด (100%) จะสามารถส่งผ่านไปได้ แต่ในกรณีที่กำลังงานสามารถส่งผ่านไปได้ประมาณ 50% ของกำลังงานทั้งหมด ที่เหลืออีกครึ่งหนึ่งจะสูญเสียโดยสะท้อนกลับ 3 dB เมื่อเทียบกับกรณีที่อิมพีเดนซ์อยู่ในสภาพที่แมตช์

### 5.2.5 การส่งผ่านโดยการต่อบาลันที่แปลงอิมพีเดนซ์ 4:1

จากรูปที่ 5.8 เป็นการส่งผ่านโดยใช้สายโคลอแอกเชียล อิมพีเดนซ์ 50 Ω ไปยังสายคู่ขนาน 300 Ω ต่อ กับสายอากาศ ได้โดยครึ่งคลื่นแบบพับ อิมพีเดนซ์ 300 Ω โดยใช้บาลันที่แปลงอิมพีเดนซ์แบบ 4:1 บาลัน ของไดโอลแบบพับบางครึ่งจะใช้สายโคลอแอกเชียลที่มีค่าอิมพีเดนซ์ 72 Ω เช่น RG59U



รูปที่ 5.8 การส่งผ่านจากสายโคลอแอกเชียล 50 Ω กับสายอากาศ ไดโอลครึ่งคลื่นแบบพับ ที่มีค่าอิมพีเดนซ์ 300 Ω โดยผ่านบาลันแบบแปลงอิมพีเดนซ์

สังเกตว่าในกรณีการแปลงอิมพีเดนซ์แบบ 4:1 ยังไม่ใช่ทางอุดมคติเสียที่เดียวแนก เพราะในทางอุดมคติจะต้องมีอัตราส่วนในการแปลงอิมพีเดนซ์เท่ากับ 6:1 จึงจะเกิดการแปลงอิมพีเดนซ์จาก 50 Ω ไปสู่ 300 Ω อย่างแท้จริง ถึงแม้ว่าอัตราส่วนการแปลงอิมพีเดนซ์แบบ 4:1 จะยังไม่สมบูรณ์แบบนัก แต่ก็สามารถนำมาใช้งานได้เนื่องจากยังถือว่าไม่รุนแรงเท่าไนน์ก เพื่อการแปลงอิมพีเดนซ์จะแปลงจาก 300 Ω ให้เป็น 75 Ω แล้ว จึงส่งผ่านสัญญาณไปยังสายโคลอแอกเชียล 50 Ω ดังนั้นจุดต่ออิมพีเดนซ์ตรงจุดนี้จึงมีค่า SWR เท่ากับ 75/50 หรือ เท่ากับ 1.5 ซึ่งยังเป็นค่าที่พอยอมรับได้ โดยมีความสัมพันธ์ระหว่างกำลังงานที่ส่งออกไป และกำลังงานที่สะท้อนกลับในขณะนี้ คือ

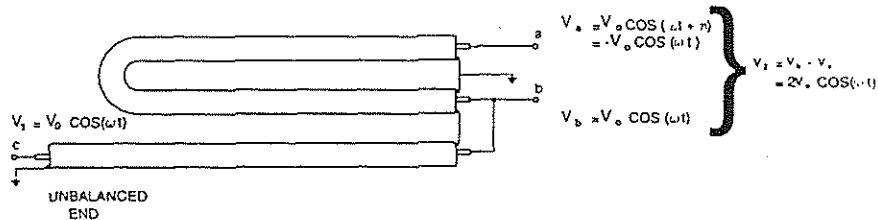
$$P_T = 1 - P_{RF} = 1 - \left| \frac{SWR - 1}{SWR + 1} \right|^2 = 1 - 0.04 = 0.96 \quad (5.9)$$

นั่นคือ กำลังงานประมาณ 96% จะสามารถส่งออกไปได้ และมีการสะท้อนกลับเพียง 4% ซึ่งถือว่าใกล้เคียงกับทางอุดมคติ ซึ่งจะต้องให้ส่งผ่านได้ทั้ง 100% แต่ก็กระทำได้ยากมาก

สายอากาศแบบ ไดโอลครึ่งคลื่นแบบพับที่ต่อ กับบาลัน จะให้ประสิทธิภาพดีกว่าที่ต่อ กับดัวแปลงอิมพีเดนซ์ที่ไม่มีบาลัน จึงให้ผลในการวัดต่างกันถึง 3 dB

### 5.2.6 การทำงานของบาลันที่มีการเปลี่ยนแปลงอัตราส่วน 4:1

จากรูปที่ 5.9 สามารถอธิบายการทำงานของบาลันได้ โดยการสมมติให้มีแรงดันระหว่างเส้น漉คตัวนำตรงกลางของสายโ Cooke แยกกับส่วนที่เป็นชีล์กราวด์ด้านนอกเท่ากับ  $V_1 = V_o \cos(\omega t)$  ซึ่งอยู่ที่ปลายของสายแบบไม่สมดุลย์ที่จุด c ดังแสดงในรูปที่ 5.9



รูปที่ 5.9 การทำงานของบาลันที่มีการเปลี่ยนแปลงอัตราส่วน 4:1

หากไม่คำนึงถึงความสูญเสียภายในสายเคเบิล แรงดันระหว่าง漉คตัวนำตรงกลางสายกับกราวด์จะเท่ากับ  $V_b = V_o \cos(\omega t)$  ณ ที่จุด b ไม่ว่าสายเคเบิลจะมีความยาวเท่าใดก็ตาม ระหว่างจุด b และ a จะมีระยะห่าง  $\lambda/2$  และจุด 2 จุดนี้จะต่างไฟฟ้า  $\pi$  หรือ  $180^\circ$  อย่างไรก็ตามระหว่างจุด b กับ จุด a จริงๆ แล้วจะมีความยาว  $\lambda/2$  ซึ่งจะทำให้ระหว่างสองจุดนี้มีความต่างไฟฟ้า  $180^\circ$  ( $\pi = 180^\circ$ ) และแรงดันระหว่างตัวนำตรงกลางและกราวด์ชีล์กราวด์ที่จุด a จะเท่ากัน

$$V_a = V_o \cos(\omega t + \pi) = -V_o \cos(\omega t) \quad (5.10)$$

ดังนั้น

$$V_2 = V_b - V_a = 2V_o \cos(\omega t) \quad (5.11)$$

เนื่องจากเราไม่ได้คำนึงถึงความสูญเสียในสายโ Cooke แยกกับกราวด์ด้านนอกมา ( $P_2$ ) ซึ่งวัดได้ที่ปลายของจุดสมดุลย์ (ที่จุดป้อนสัญญาณของสายอากาศหรือที่จุด a, b) จะมีค่าเท่ากับกำลังงาน  $P_1$  ซึ่งวัดได้ที่ปลายของจุดที่ไม่สมดุลย์ (ที่ปลายสายโ Cooke แยกกับกราวด์จุด c) และเมื่อใช้ความสัมพันธ์ของ  $P = \frac{V^2}{Z}$  จะเขียนสมการใหม่ได้ในรูปของ

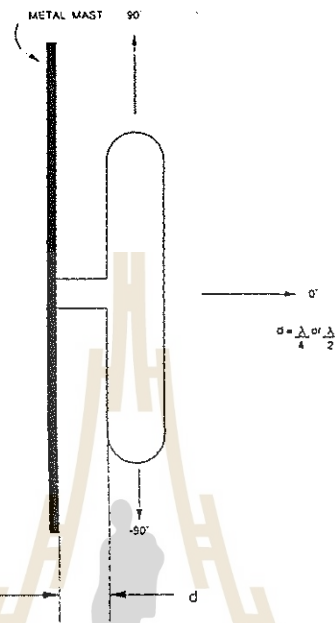
$$P_1 = \frac{(V_{1rms})^2}{Z} = P_2 = \frac{(V_{2rms})^2}{Z} \quad (5.12)$$

$$\text{หรือ} \quad \frac{Z_2}{Z_1} = \frac{(V_{2rms})^2}{(V_{1rms})^2} = 2^2 = 4 \quad (5.13)$$

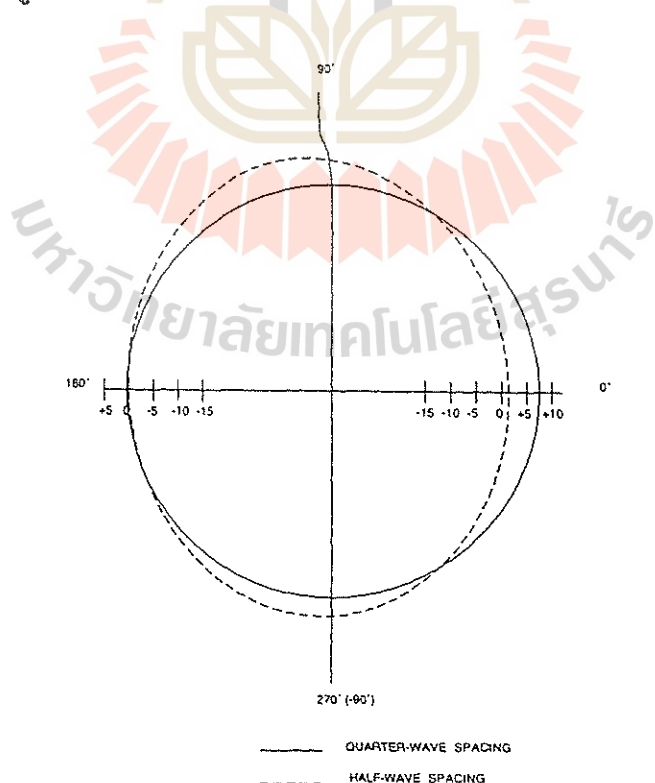
$$\text{ดังนั้น} \quad Z_2 = 4Z_1 \quad (5.14)$$

### 5.2.7 การใช้สายอากาศไดโพลแบบพับกันเสาโลหะ (Folded Dipole with Metal Mast)

ตามหลักการในทางปฏิบัตินี้ แบบรูปแบบการแผ่กระจายคลื่นในระบบสนามแม่เหล็กของสายอากาศไดโพลและไดโพลแบบพับจะมีลักษณะเป็นรูปวงกลมเหมือนกัน แต่ลักษณะของวงกลมอาจจะถูกทำให้ผิดรูปไปจากเดิม คือ อาจจะถูกยืดออกไปที่ด้านหนึ่ง เมื่อมีการนำไปติดตั้งใกล้เสาโลหะ ดังแสดงในรูปที่ 5.10



รูปที่ 5.10 สายอากาศไดโพลแบบพับติดตั้งบนเสาโลหะ



รูปที่ 5.11 ผลของเสาโลหะที่มีต่อแบบรูปการแผ่กระจายคลื่นของสายอากาศไดโพลแบบพับ

ดังที่แสดงในรูปที่ 5.11 การเว้นช่องระยะห่างประมาณ  $\lambda/4$  ระหว่างสายอากาศได้โพลกับเสาโลหะทำให้แบบรูปการแผ่กระจายคลื่นจะขยายออกไปในทิศทางด้านข้าง ( $0^\circ$ ) เมื่อเว้นช่องระหว่างสายอากาศแบบได้โพลกับเสาโลหะเท่ากับ  $\lambda/2$  จะทำให้แบบรูปการแผ่กระจายคลื่นจะถูกขยายออกไปในทิศทาง  $+90^\circ$  และ  $-90^\circ$  อัตราขยายในสภาพเจาะจงทิศทางสามารถจะมีค่าได้ตั้งแต่ 3-5 dB ซึ่งหมายความว่าแก่การใช้งาน

### 5.3 สรุป

จากที่ได้ศึกษาในหน่วยนี้ ผู้ศึกษาได้ทราบถึงคุณสมบัติต่างๆ ของสายอากาศได้โพลแบบพับ เท่านั้น แบบรูปการแผ่กระจายคลื่นของสายอากาศนิดนี้ทั้งแบบที่มีนาฬิกาและแบบไม่มีนาฬิกา และจะเข้าใจถึงสาเหตุที่อัตราขยายมีค่าเพิ่มขึ้น อันเป็นผลมาจากการใช้นาฬิกาแบบ 4:1 กับสายอากาศที่มีค่าอินพุตอิมพีเดนซ์ 300 Ω นอกจากนี้ผู้ศึกษาจะทราบถึงความหมายของอัตราขยายในหน่วยของ dBd เพื่อนำไปใช้ในการคำนวณหาค่าอัตราขยายของสายอากาศได้โพลแบบพับ สุดท้ายผู้ศึกษาจะได้เรียนรู้ถึงผลกระบวนการเสาโลหะหรือที่เรามักจะเรียกว่า บูม (Boom) ที่วางอยู่ด้านหลังของได้โพล ซึ่งจะส่งผลกระทบต่อสภาพเจาะจงทิศทาง (Directivity) ของสายอากาศได้

### 5.4 คำถามหลังการเรียนรู้

- 1) ทำไมค่าอิมพีเดนซ์ของสายอากาศได้โพลแบบพับจึงมีค่ามากกว่าสายอากาศได้โพลครึ่งคลื่นถึงสี่เท่า
- 2) การแมตช์ค่าอิมพีเดนซ์ของสายอากาศด้วยวิธีใด ทำให้การแมตช์ค่าอิมพีเดนซ์ของสายอากาศกับสายส่งจึงมีความสำคัญมาก และถ้าเกิดการ mismatch จะเกิดอะไรขึ้น
- 3) ถ้าสายอากาศมี  $HPBW_E = 28$  องศา และ  $HPBW_H = 32$  องศา ให้คำนวณอัตราขยายของสายอากาศนี้ ข้างลงกับอัตราขยายของสายอากาศได้โพลครึ่งคลื่นทางทฤษฎี
- 4) การใช้นาฬิกาอัตราส่วน 4:1 เป็นการปรับปรุงอัตราขยายของสายอากาศได้โพลแบบพับที่ป้อนด้วยสายส่ง  $75 \Omega$  ให้อธิบายว่าทำไมจึงเป็นเช่นนั้น
- 5) ให้อธิบายเหตุผลในการติดตั้งเสาโลหะเข้ากับสายอากาศได้โพลแบบพับ และระยะระหว่างตัวสายอากาศกับเสาโลหะมีความสำคัญอย่างไร

## บทที่ 2

### ทฤษฎีของสายอากาศนิดต่างๆ

#### (Different Antenna Types Theory)

##### กล่าวว่า

ในบทที่ 2 นี้จะเป็นการศึกษาทฤษฎีและคุณสมบัติของสายอากาศที่พัฒนามาจากสายอากาศพื้นฐาน ได้แก่ สายอากาศแบบโโนโน่โพล (Monopole Antenna) สายอากาศแบบบ่วง (Loop Antenna) สายอากาศแบบเกลียว (Helical Antenna) และสายอากาศแบบแคร์ดัมป์รัสติก (Parasitic Array Antenna)

ในบทนี้จะครอบคลุมทฤษฎีพื้นฐานอีกรูปแบบหนึ่งของสายอากาศนิดต่างๆ ดังกล่าวทั้งหมด แต่จะมีรายละเอียดน้อยกว่าในบทที่ 1 เนื่องจากได้อธิบายคุณสมบัติพื้นฐานของสายอากาศโดยทั่วไปแล้วในบทดังกล่าว โดยบทนี้จะประกอบไปด้วย

หน่วยที่ 1 จะเป็นการศึกษาทฤษฎีของสายอากาศแบบโโนโน่โพล ซึ่งมีความยาวเป็นครึ่งหนึ่งของสายอากาศแบบได้โพลแบบความยาวครึ่งคลื่น สายอากาศนิดนี้จะมีแผ่นระนาบกราวด์ (Ground Plane) มาทำหน้าที่เป็นแผ่นสะท้อนเพื่อทดสอบส่วนของตัวได้โพลอีกครึ่งหนึ่งที่หายไป

หน่วยที่ 2 จะเป็นทฤษฎีของสายอากาศแบบบ่วง ซึ่งปกติทั่วไปจะมีหลายรูปแบบทั้งแบบบ่วงวงกลม บ่วงสี่เหลี่ยมขนมเปียกปูน บ่วงลีฟ์เหลี่ยมจัตุรัส เป็นต้น

สายอากาศที่จะได้ศึกษาในหน่วยที่ 1 และ 2 จะให้การโพลาไรซ์เป็นแบบเชิงเส้น (Linearly Polarized Waves) ทั้งหมด ซึ่งจะมีทั้งการโพลาไรซ์ในแนวอน (Horizontal) ในแนวตั้ง (Vertical) หรือในแนวเอียง (Oblique) ดังนั้นในหน่วยต่อไปจึงเป็นการศึกษาสายอากาศที่ให้การโพลาไรซ์ที่แตกต่างกันออกไป

หน่วยที่ 3 จะครอบคลุมเนื้อหาในเรื่องของสายอากาศแบบเกลียวที่สามารถกำเนิดคลื่นให้มีการโพลาไรซ์เป็นแบบเกลียวทั้งแบบวนทางซ้ายมือหรือวนทางขวามือ (Left-hand or Right-hand Circularly Polarized Waves)

หน่วยที่ 4 จะกล่าวถึงสายอากาศแบบแคร์ดัมป์รัสติก โดยเฉพาะสายอากาศแบบยา基-อุดะ (Yagi-Uda) หรือที่มักจะเรียกว่า สายอากาศแบบยา基 (Yagi) ซึ่งจะประกอบด้วยองค์ประกอบสององค์ประกอบ即 Activer Element และองค์ประกอบพาสซีฟ (Passive Element) หรือองค์ประกอบปรัสติก (Parasitic Element) สายอากาศแบบนี้จะให้อัตราขยายและค่าสภาพเจาะจงทิศทางทางที่ดีกว่าสายอากาศนิดอื่นๆ ที่ได้กล่าวไปแล้ว

## หน่วยที่ 2-1

### เสาอากาศโมโนโพล

#### (Monopole Antenna)

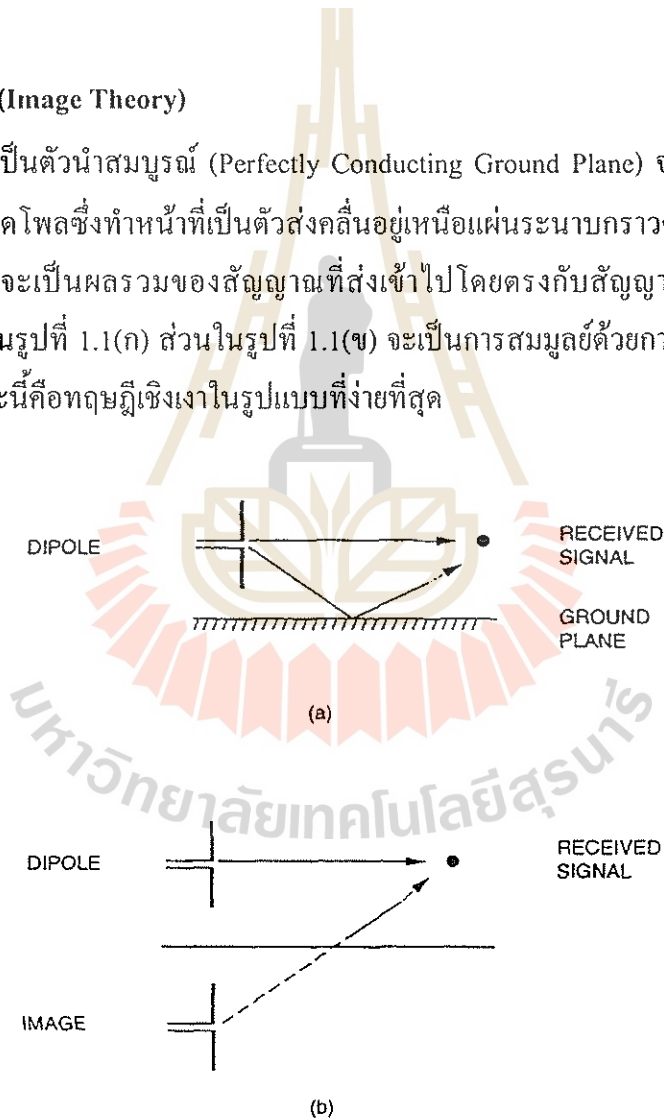
##### 1.1 วัตถุประสงค์

เมื่อผู้ศึกษาได้ทำการศึกษาในบทนี้แล้ว จะมีความเข้าใจถึงคุณสมบัติต่างๆ ที่สำคัญของเสาอากาศแบบโมโนโพลมาตรฐาน และเสาอากาศโมโนโพลแบบมีระนาบกราวด์ (Drooping Monopole Antennas)

##### 1.2 ทฤษฎี

###### 1.2.1 ทฤษฎีเชิงเงา (Image Theory)

ระนาบกราวด์ที่เป็นตัวนำสมบูรณ์ (Perfectly Conducting Ground Plane) จะทำหน้าที่เสมือนกระจก เอา ตัวอย่างก็คือ ถ้ามีໄโคโพลซึ่งทำหน้าที่เป็นตัวส่งคลื่นอยู่เหนือแผ่นระนาบกราวด์ที่เป็นตัวนำ สัญญาณที่เครื่องรับสามารถรับได้จะเป็นผลรวมของสัญญาณที่ส่งเข้าไปโดยตรงกับสัญญาณที่ถูกสะท้อนโดยแผ่นระนาบกราวด์ ดังแสดงในรูปที่ 1.1(ก) ส่วนในรูปที่ 1.1(ข) จะเป็นการสมมูลย์ด้วยการแทนแทนแผ่นระนาบกราวด์ด้วยกระจกเงา ซึ่งลักษณะนี้คือทฤษฎีเชิงเงาในรูปแบบที่ง่ายที่สุด

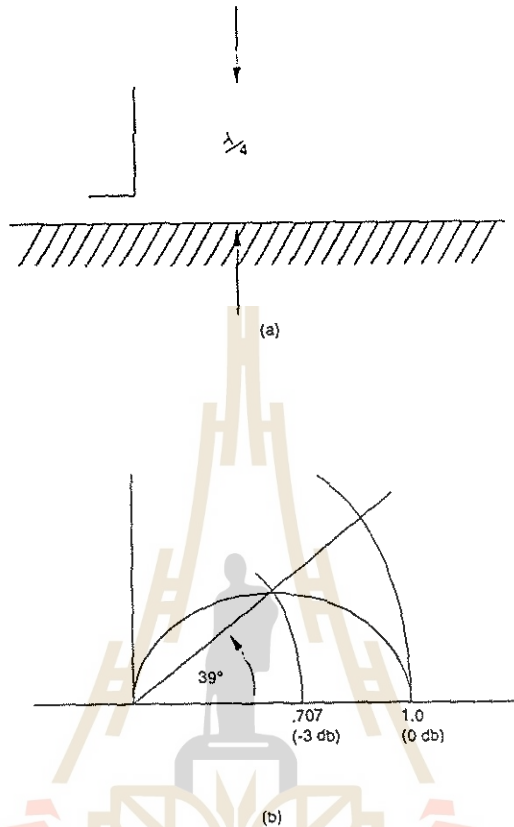


รูปที่ 1.1 (ก) ໄโคโพลที่วางอยู่เหนือแผ่นตัวนำที่สมบูรณ์

(ข) แบบสมมูลย์โดยใช้ทฤษฎีเชิงเงา

### 1.2.2 สายอากาศโมโนโพล

รูปที่ 1.2 แสดงสายอากาศแบบโมโนโพลที่มีความยาว  $\lambda/4$  ที่คิดจากความถี่ปัจจุบัน การวางอยู่เหนือแผ่นดินทำสมบูรณ์ซึ่งมีความยาวเป็นครึ่งหนึ่งของสายอากาศได้โพลที่มีความครึ่งหนึ่งของความยาวคลื่น ( $\lambda/2$ )



รูปที่ 1.2 สายอากาศโมโนโพล  $\lambda/4$  ที่วางอยู่เหนือแผ่นดินทำสมบูรณ์

(ก) ลักษณะทางกายภาพ

(ข) แบบรูปการเผยแพร่องศากระยะกำลังงาน

กระแสไฟฟ้าที่เกิดจากการแข็งรูปในสายอากาศโมโนโพล จะเหมือนกับกระแสไฟฟ้าที่เกิดขึ้นในครึ่งได้ครึ่งหนึ่งของสายอากาศได้โพล  $\lambda/2$  อย่างไรก็ตามแรงดันที่ขึ้นอินพุตของสายอากาศโมโนโพลจะมีค่าเพียงครึ่งหนึ่งของสายอากาศได้โพล  $\lambda/2$  ดังนั้นค่าอินพุตอินพีเดนซ์ของสายอากาศโมโนโพลจึงมีค่าเท่ากับครึ่งหนึ่งของสายอากาศได้โพล

$$Z_{in} = 37.5 \Omega \quad (1.1)$$

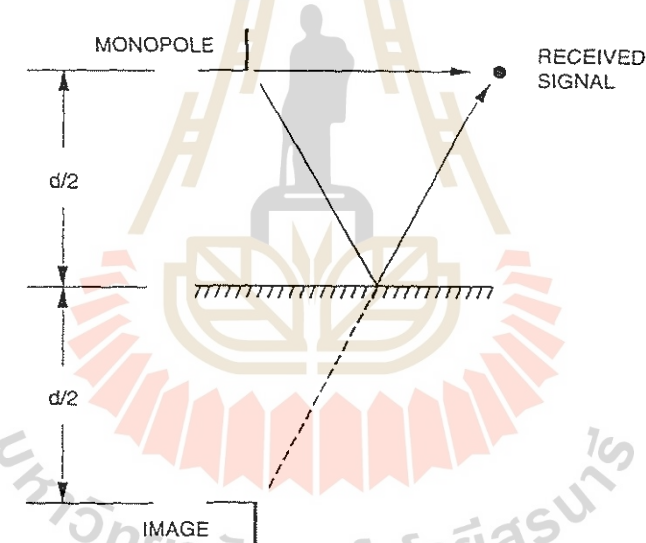
การที่การแข็งรูปของกระแสไฟฟ้าในสายอากาศโมโนโพลมีลักษณะเหมือนกับสายอากาศได้โพล  $\lambda/2$  ดังนั้นกำลังงานที่เผยแพร่องศากระยะกำลังงานที่ไปจึงมีลักษณะเหมือนกับของสายอากาศได้โพลด้วย แต่เนื่องจากแผ่นดินเป็นผู้นำกระแสไฟฟ้าได้ดีตัดผ่านจุดกึ่งกลางของแบบรูปการเผยแพร่องศากระยะกำลังงาน ความกว้างลำคลื่นจึงมีค่าเพียงครึ่งหนึ่งของได้โพล ดังนั้นค่าสภาพเจาะจงทิศทางและค่าอัตราขยาย จึงมีค่าเป็นสองเท่าของสายอากาศได้โพล นั่นคือ

$$G = 2 \times 1.64 = 3.2 = 5 \text{ dB} \quad (1.2)$$

แบบรูปการแผ่กระจายกำลังงานของสายอากาศไมโนโพล  $\lambda/4$  ซึ่งอยู่ที่พิวของแผ่นระนาบกราวด์จะมีรูปร่างเหมือนกับของสายอากาศไดโพล  $\lambda/2$  ที่มุมหนึ่งจากศูนย์องศาเข้าไป แบบรูปการแผ่กระจายกำลังงานที่ได้จากการถูกวัดไดแสดงไว้ในรูปที่ 1.2 (ข) ซึ่งหาได้จากสมการ (1.3) ซึ่งเป็นของสายอากาศไดโพล  $\lambda/2$  ที่ไดอธิบายผ่านไปแล้ว

$$F(\theta)_{\lambda/4\text{monopole}} = \frac{1}{2} \frac{\cos\left(\frac{\pi}{2} \cos \theta\right)}{\sin \theta}, \quad \theta > 0 \quad (1.3)$$

ถ้าสายอากาศไมโนโพลถูกยกขึ้นเหนือแผ่นกราวด์ที่ความสูง  $d/2$  คั่งแสดงในรูปที่ 1.3 ตัวของสายอากาศจะแสดงตัวเหมือนกับสายอากาศแอลดี้คัมแบน 2 องค์ประกอบ (2- Element Array) การแผ่กระจายกำลังงานจากองค์ประกอบตัวบนและจากตัวล่างจะพุ่งเข้ามาร่วมกันที่จุดรับสัญญาณ ซึ่งจะมีค่าแตกต่างกันมากเท่าใดนั้น จะขึ้นอยู่กับระยะความสูงจากแผ่นกราวด์ที่เปลี่ยนแปลงไป ทำให้เกิดค่าตัวประกอบแอลดี้คัม (Array Factor) ขึ้นมา ซึ่งจะศึกษาต่อไปในปฏิบัติการที่ 3

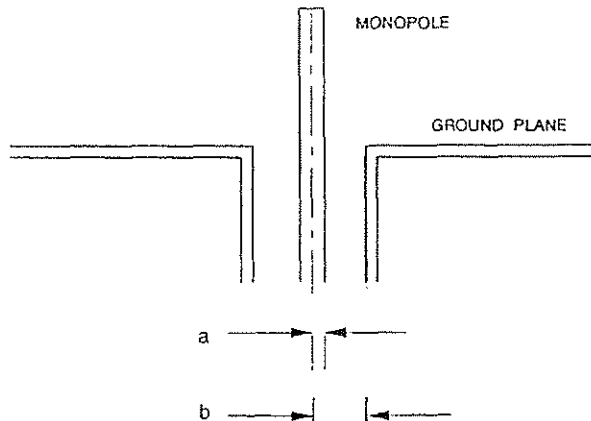


รูปที่ 1.3 การรวมกันของคลื่นที่แผ่กระจายจากสายอากาศไมโนโพลและที่มาจากการเชิงเงาของมัน

กรณีนี้จะคล้ายกันกับกรณีของสายอากาศไดโพลที่วางอยู่เหนือแผ่นตัวนำสมบูรณ์ ซึ่งยังไม่ได้กล่าวถึงมาก่อน เพราะว่าไดทำการทดลองสายอากาศไดโพลในอากาศอิสระ (Free Space) เท่านั้น ไม่ได้ทดลองในกรณีที่วางอยู่เหนือแผ่นกราวด์

### 1.2.3 สายอากาศไมโนโพลมาตรฐาน

สายอากาศไมโนโพลมาตรฐาน ที่ใช้ในการปฏิบัติการไดแสดงไว้รูปที่ 1.4 ซึ่งจะมีการป้อนสัญญาณโดยผ่านสายโคลอฟเฟค 50 โอห์ม ผ่านช่องของแผ่นระนาบกราวด์ขนาดใหญ่เข้าไปที่ข้ออินพุตของสายอากาศไมโนโพล



รูปที่ 1.4 สายอากาศโมโนโพลที่ป้อนด้วยสายโคแอกเชียลและระนาบกราวด์

แผ่นระนาบกราวด์ คือ ส่วนที่จำเป็นสำหรับการออกแบบสายอากาศโมโนโพล ในทางอุตสาหกรรมนั้นจะต้องมีขนาดเป็นอนันต์ แต่ในทางปฏิบัติจะกำหนดให้มีรัศมีเท่ากับ  $5\lambda$  กีเพียงพอที่จะให้เกิดเสื่อมไฟไกล์เคียงกับขนาดในอุตสาหกรรมได้ หรือจะใช้ขนาดที่ต่ำที่สุดซึ่งจะให้เสื่อมไฟไกล์เคียงอุตสาหกรรมได้ เช่นกัน กีคือที่  $0.5\lambda$  ซึ่งสายอากาศโมโนโพลที่ใช้ในปฏิบัติการ จะใช้แผ่นระนาบกราวด์ที่มีขนาดดังกล่าวนี้

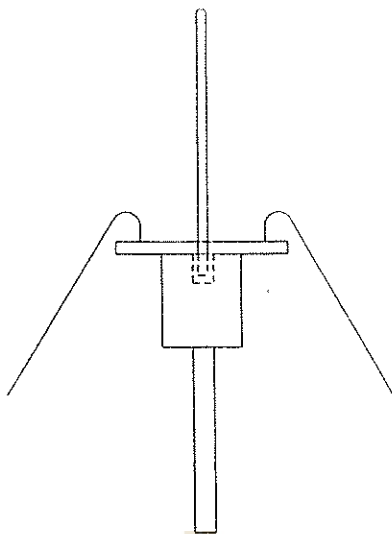
สายเคเบิลที่ใช้สำหรับป้อนสัญญาณให้กับตัวสายอากาศจะเป็นสายโคแอกเชียลที่มีค่าอิมพีเดนซ์  $50$  โอห์ม ซึ่งจะต้องมีการแปลงค่าอิมพีเดนซ์นี้ให้ลดลงไปอยู่ที่  $37.5$  โอห์ม เพื่อให้เกิดการแมตช์กับค่าอิมพีเดนซ์ของสายอากาศโมโนโพล ในกรณีนี้ค่าอิมพีเดนซ์ที่จะเปลี่ยนไปจะเป็นฟังก์ชันของส่วนผ่านศูนย์กลางของตัวนำที่อยู่ตรงกลางกับระยะห่าง  $b$  ระหว่างตัวนำตรงกลางกับขอบของช่องวงกลมในแผ่นระนาบกราวด์ ดังแสดงในรูปที่ 1.4 และสมการแสดงความสัมพันธ์ของค่าอิมพีเดนซ์นี้ ได้แสดงไว้ในสมการ (1.4)

$$Z_0 = 60 \log \left( \frac{b}{a} \right) \quad (1.4)$$

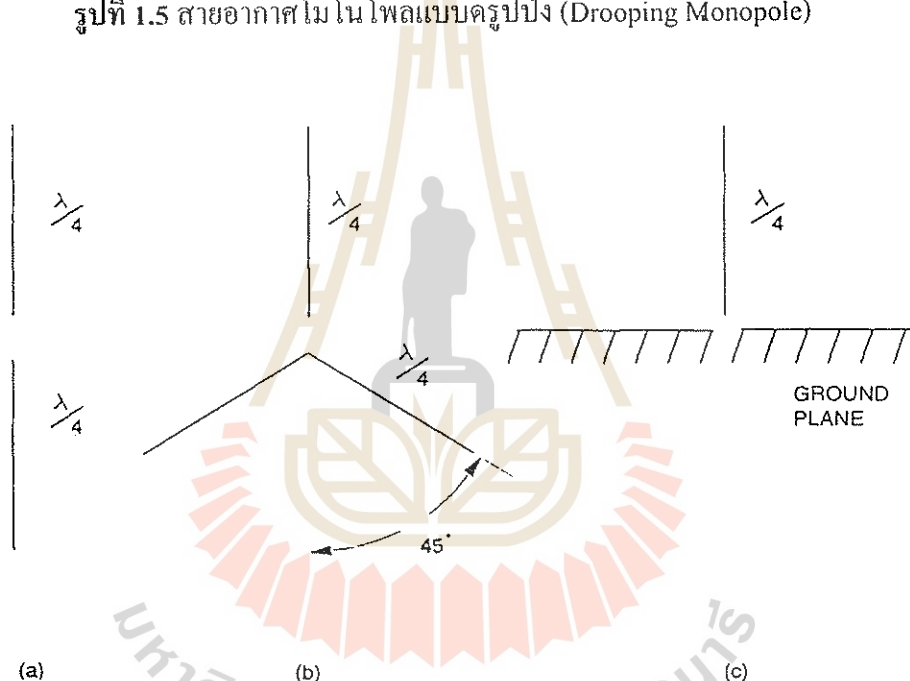
เมื่อ  $a = 0.159$  ซม. และ  $b = 0.317$  ซม. อิมพีเดนซ์ที่ได้จะเท่ากับ  $41.5$  โอห์ม ซึ่งเป็นค่าตรงกลางระหว่างค่าอิมพีเดนซ์ของสายโคแอกเชียลและค่าอิมพีเดนซ์ของสายอากาศโมโนโพล  $37.5$  โอห์ม

#### 1.2.4 สายอากาศโมโนโพลแบบครูปปิ้ง (Drooping Monopole)

นอกจากสายอากาศโมโนโพลแบบมาตรฐานแล้ว ในระบบของสายอากาศชนิดเดียวที่นิยมมีสายอากาศที่เรียกว่าสายอากาศโมโนโพลแบบครูปปิ้งด้วย หรืออาจจะเรียกว่าสายอากาศแบบระนาบกราวด์ (Ground Plane Antenna) กีได้ ดังแสดงในรูปที่ 1.5 ซึ่งเป็นการสร้างสายอากาศโมโนโพลให้มีความง่ายยิ่งขึ้น



รูปที่ 1.5 สายอากาศไมโน่โพลแบบครูปปิ้ง (Drooping Monopole)



รูปที่ 1.6 (ก) สายอากาศไดโพลครึ่งคลื่น

(ข) สายอากาศไมโน่โพลครูปปิ้ง

(ค) สายอากาศไมโน่โพลมาตรฐาน

เพื่อขอรับคุณลักษณะของสายอากาศไมโน่โพลครูปปิ้ง ให้พิจารณาลักษณะของสายอากาศไดโพลที่มีความยาวเป็นครึ่งหนึ่งของความยาวคลื่น ซึ่งมีค่าอินพุตอิมพีเดนซ์ 73 โอห์ม ในรูปที่ 1.6(ก) ถ้าเราจัดเส้นลวดที่อยู่ด้านล่างของตัวไดโพลให้แยกออกจากกัน โดยให้กางออกไป 180 องศา ดังรูปที่ 1.6(ค) เราจะได้สายอากาศไมโน่โพลแบบมาตรฐานที่มีอินพุตอิมพีเดนซ์ 37.5 โอห์ม แต่เมื่อปรับมุมของลวดลงมาด้านละ 45 องศา (ลวดทั้งสองจะทำมุมซึ่งกันและกัน 90 องศา) ดังรูปที่ 1.6(ข) จะทำให้ค่าอินพุตอิมพีเดนซ์ของสายอากาศใกล้เคียง 50 โอห์ม เราเรียกว่าแบบของสายอากาศแบบนี้ว่า สายอากาศไมโน่โพลแบบครูปปิ้ง ซึ่งมีค่าอินพุตอิมพีเดนซ์ของสายอากาศเมตซ์กับค่าอิมพีเดนซ์คุณลักษณะของสายโคแอกเชียล

### 1.3 สรุป

จากการศึกษาในหน่วยการเรียนรู้นี้ ผู้ศึกษาจะเข้าใจแบบรูปการแผ่นกระดาษสำหรับงานของสายอากาศ ไม่ในโพล  $\lambda/4$  ที่วางอยู่เหนือแผ่นกระดาษกราวด์ตัวนำ และสายอากาศไม่ในโพลครูปบีง  $\lambda/4$  และได้ศึกษาพฤติกรรมของสายอากาศไม่ในโพลเมื่อมีแผ่นกระดาษกราวด์และไม่มีแผ่นกระดาษกราวด์ นอกจากนั้นยังทราบถึงความแตกต่างของค่าอัตราขยายแบบเจาะจงทิศทาง (Directive Gain) ของทั้งสายอากาศได้โพล  $\lambda/2$  และสายอากาศไม่ในโพล  $\lambda/4$

### 1.4 คำถามหลังปฏิบัติการ

- 1) ให้อธิบายทฤษฎีที่มาของโครงสร้างของสายอากาศไม่ในโพลแบบมาตรฐาน
- 2) จงอธิบายว่าทำไม่ค่าสภาพเจาะจงทิศทางของสายอากาศไม่ในโพลที่วางอยู่เหนือแผ่นกระดาษกราวด์ขนาดอนันต์ซึ่งมีค่าเป็น 2 เท่าของสายอากาศได้โพล
- 3) ให้ออกแบบสายอากาศแบบไม่ในโพลที่ความถี่ 800 MHz (ย่านความถี่ UHF) พร้อมแผ่นกระดาษกราวด์ที่มีขนาดใกล้เคียงในอุดมคติ โดยแสดงการคำนวณขนาดของสายอากาศนี้ด้วย
- 4) ในการคำนวณหากค่าอินพุตอินพีเดนซ์ของสายอากาศแบบไม่ในโพล ค่าพารามิเตอร์ตัวใดที่สมควรต้องพิจารณา
- 5) เส้น漉คที่มีมุมเอียง 45 องศาทั้งสี่เส้น ซึ่งถูกติดตั้งอยู่ที่แต่ละมุมของสายอากาศไม่ในโพลแบบครูปบีง มีไว้เพื่อวัดคุณภาพคงค่า

## หน่วยที่ 2-2

### สายอากาศแบบบ่วง

#### (Loop Antennas)

##### 2.1 วัตถุประสงค์

การศึกษาในหน่วยนี้จะเป็นการศึกษาถึงคุณสมบัติต่างๆ ของสายอากาศแบบบ่วง (Loop Antennas) ที่มีความยาวของเส้นรอบวงของบ่วงเท่ากับหนึ่งความยาวคลื่น และสายอากาศแบบบ่วงขนาดเล็กที่มีเส้นรอบวงน้อยกว่าหนึ่งความยาวคลื่น

##### 2.2 ทฤษฎี

###### 2.2.1 สายอากาศแบบบ่วงเต็มความยาวคลื่น (Full-Wave Loop Antennas)

สายอากาศแบบบ่วงที่มีความยาวของบ่วงเท่ากับหนึ่งความยาวคลื่น จะถูกเรียกว่าสายอากาศแบบบ่วงเต็มความยาวคลื่น เป็นสายอากาศที่นำมาประยุกต์ใช้ประโยชน์กันอย่างกว้างขวาง เพราะมีค่าอัตราขยายและอินพุตอิมพีเดนซ์ที่เหมาะสมสามารถแปลงกลับให้ใกล้เคียงกับค่าอิมพีเดนซ์คุณลักษณะของสายนำสัญญาณ 50 โอห์ม หรือ 75 โอห์มได้โดยง่าย สายอากาศแบบบ่วงที่ใช้งานในปัจจุบันจะมีรูปร่างหลายรูปแบบ เช่น แบบวงกลม แบบสี่เหลี่ยมจัตุรัส แบบสี่เหลี่ยมผืนผ้า และแบบสี่เหลี่ยมขนมเปียกปูน ซึ่งแต่ละรูปแบบจะให้อัตราขยายและแบบรูปการแผ่กระจายกำลังงานมากน้อยแตกต่างกันไป

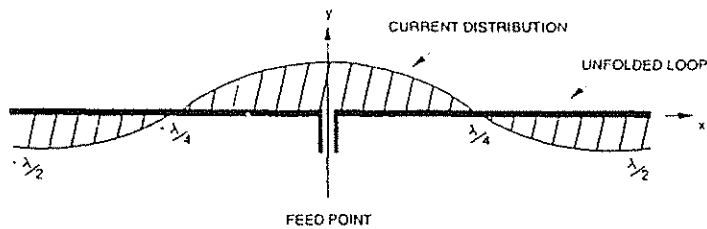
###### 2.2.2 การแจงรูปของกระแสตลอดความยาวของสายอากาศที่มีความยาวเต็มความยาวคลื่น

วิธีที่จะศึกษาแบบรูปการแผ่กระจายกำลังงานของสายอากาศแบบบ่วงที่มีขนาดเต็มความยาวคลื่นได้อย่างเข้าใจ ก็คือ จะต้องเข้าใจการแจงรูปของกระแสที่เกิดขึ้นตลอดความยาวของบ่วง และต้องเข้าใจผลของสนามที่เกิดการเสริมกันหรือหักล้างกันตลอดความยาวของบ่วงด้วย

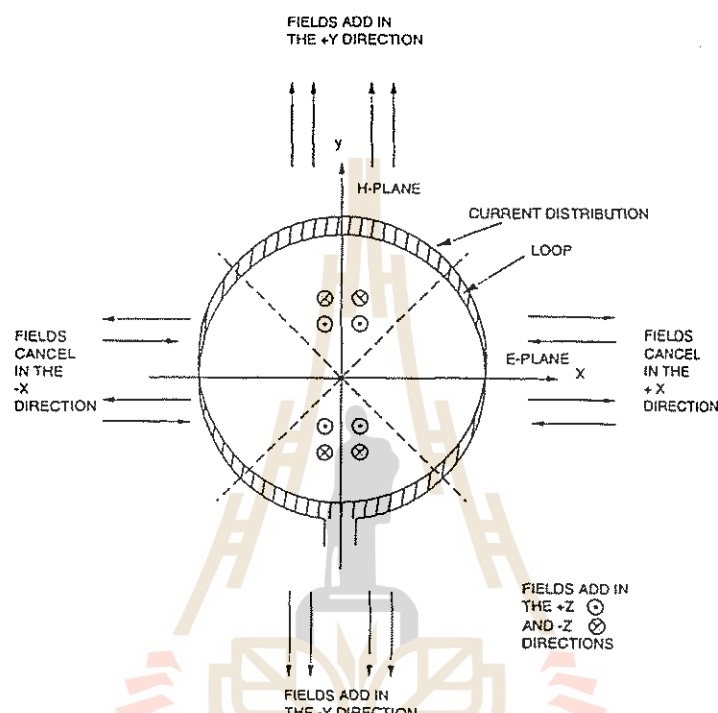
การพิจารณาสายอากาศแบบบ่วงที่มีความยาวของบ่วงเท่ากับหนึ่งความยาวคลื่นในระบบ X-Y นั้น จุดป้อนสัญญาณสามารถจะพิจารณาให้อยู่ที่จุดใดจุดหนึ่งรอบๆ บ่วงได้ อย่างไรก็ตามตำแหน่งของจุดป้อนสัญญาณที่แตกต่างกันจะมีผลต่อแบบรูปการแผ่กระจายกำลังงานด้วย

สมมติว่าจุดป้อนสัญญาณอยู่ที่บริเวณส่วนที่เป็นค่าลบของแกน Y จากนั้นแบ่งสายอากาศให้แยกออกจากกัน โดยมีความยาวเท่ากันและคลื่อออกในแนวแกน X ดังแสดงในรูปที่ 2.1 ซึ่งสามารถแสดงให้เห็นถึงการแจงรูปของกระแส ซึ่งมีลักษณะเหมือนคลื่นรูปโคไซน์ (Cosine Wave) ซึ่งมีจุดที่กระแสสูงสุดอยู่ตรงจุดป้อนสัญญาณ

รูปที่ 2.1 แสดงการแจงรูปของกระแสในสายอากาศแบบบ่วงวงกลม และแสดงการเสริมกันและหักล้างกันของสนามบนตัวของบ่วง ในกรณีนี้สนามจะเสริมกันในทิศทาง +Y, -Y และ +Z, -Z แต่จะหักล้างกันในทิศทาง +X และ -X



รูปที่ 2.1 การแจงรูปของกระแสตลอดความยาวเต็มความยาวคลื่นของสายอากาศแบบบ่วงที่ถูกคลื่อออก

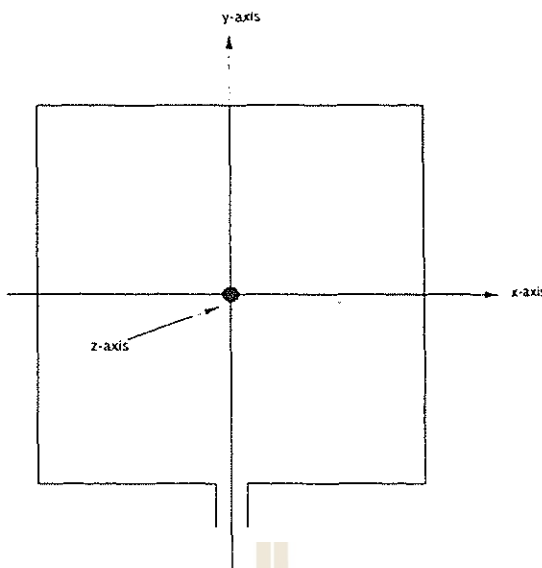


รูปที่ 2.2 การแจงรูปของกระแสในสายอากาศแบบบ่วงวงกลมที่มีความยาวหนึ่งความยาวคลื่น

### 2.2.3 แบบรูปการแผ่กระจายกำลังงานของสายอากาศแบบบ่วงเต็มความยาวคลื่น

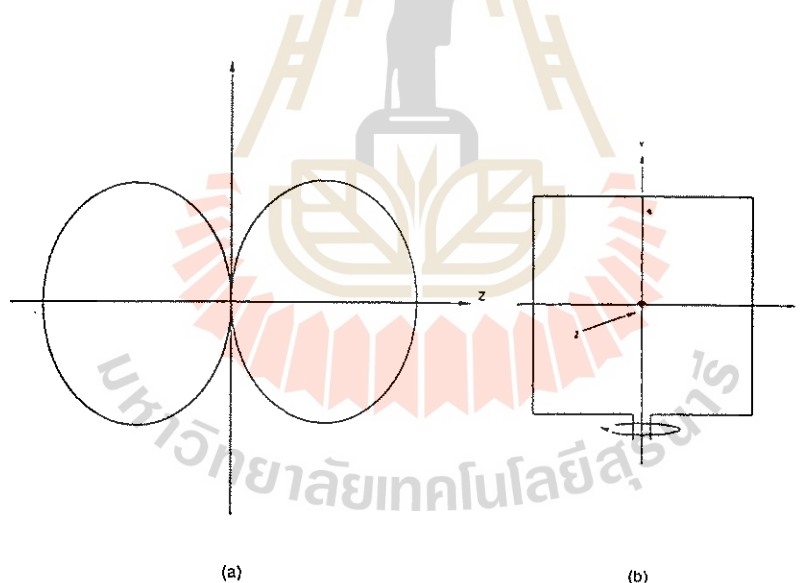
สายอากาศแบบบ่วงจะมีแนวระนาบที่ต้องทำการพิจารณาอยู่สามระนาบ คือ ระนาบสนานไฟฟ้า ระนาบสนานแม่เหล็ก และระนาบของบ่วง ซึ่งเป็นระนาบการวางแผนตัวของสายอากาศบ่วงเอง และเพื่อแสดงให้เห็นระนาบที่แล้วนี้ เราจะพิจารณาตัวอย่างจากสายอากาศแบบบ่วงสี่เหลี่ยมจตุรัส

สมมติว่าสายอากาศแบบบ่วงนี้วางอยู่ในแนวตั้งโดยมีระนาบ X-Y วางอยู่ด้านหน้าของเรานั้นคือ แนวแกน Z จะพุ่งเข้าหาตัวเรา ดังแสดงในรูปที่ 2.3 ถ้าเราปรับเทียบสายอากาศแบบบ่วงกับสายอากาศได้โพลที่มีจุดมุ่งตรงกลาง จะเห็นว่าระนาบ X-Z คือ ระนาบสนานไฟฟ้า ระนาบ Y-Z คือ ระนาบสนานแม่เหล็ก ส่วนระนาบของบ่วง ก็คือ ระนาบ X-Y นั่นเอง



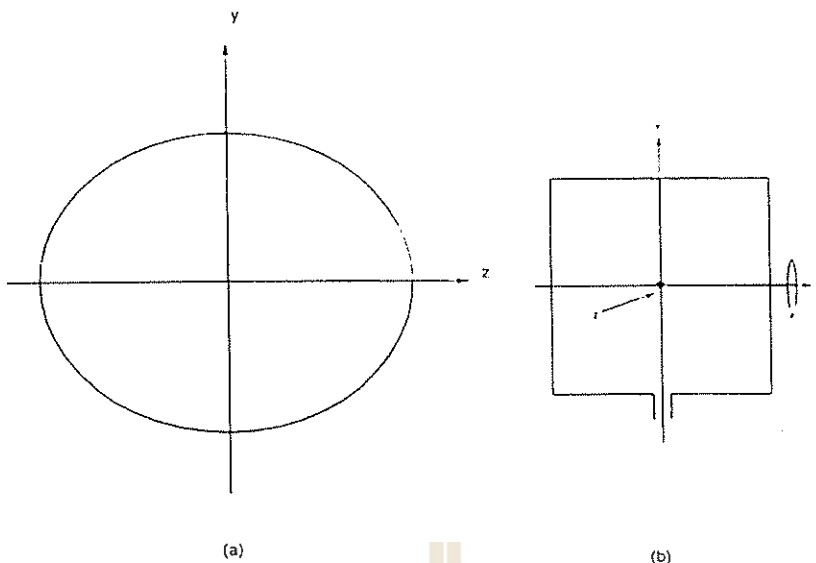
รูปที่ 2.3 สายอาภานแบบบ่งสีเหลี่ยมจัตุรัส

แบบรูปการแผ่กระจายกำลังงานของสายอาภานแบบบ่งที่ได้จากทฤษฎีในระบบฐานนามไฟฟ้า (ระบบ X-Z) นั้น ได้แสดงไว้ในรูปที่ 2.4(ก) และเพื่อที่จะทำการวัดในระบบบ่งนี้ ตัวของบ่งจะต้องถูกหมุนไปรอบๆแกน Y ดังแสดงในรูปที่ 2.4(ข)



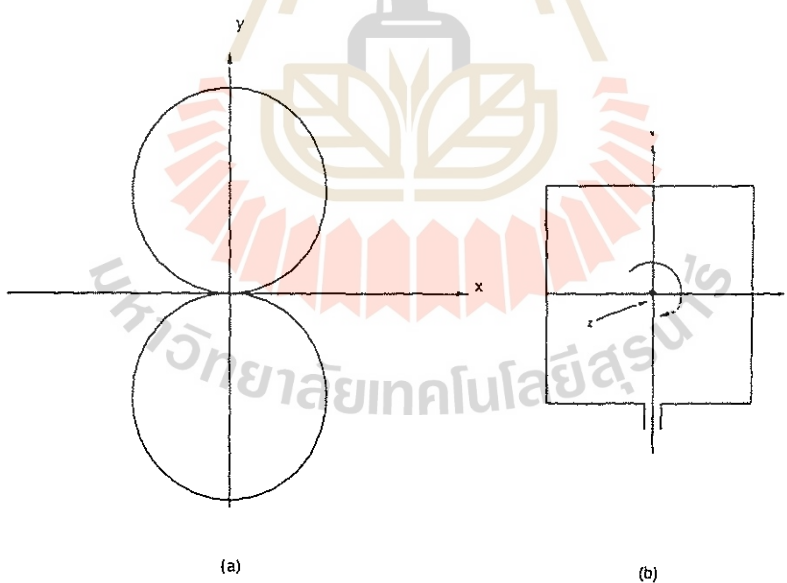
รูปที่ 2.4 (ก) แบบรูปการแผ่กระจายกำลังงานในระบบฐานนามไฟฟ้าของสายอาภานแบบบ่งเต็มความยาวคลื่น (ข) แสดงการหมุนของบ่งเพื่อที่จะวัดแบบรูปการแผ่กระจายกำลังงานในระบบฐานนามไฟฟ้า

สำหรับการวัดแบบรูปการแผ่กระจายกำลังงานในระบบฐานนามแม่เหล็ก (ระบบ Y-Z) นั้น ได้แสดงไว้ในรูปที่ 2.5(ก) ตัวของบ่งจะต้องถูกหมุนรอบแกน X ดังแสดงในรูปที่ 2.5(ข)



รูปที่ 2.5 (ก) แบบรูปการแผ่กระจายกำลังงานในระนาบฐานตามแม่เหล็กของสายอากาศแบบบ่วงเต็มความยาวคลื่น

(ข) แสดงการหมุนของบ่วงเพื่อวัดแบบรูปการแผ่กระจายกำลังงานในระนาบฐานตามแม่เหล็กสุดท้ายเป็นการวัดแบบรูปการแผ่กระจายกำลังงานในระนาบของตัวบ่วง (ระนาบ X-Y) ซึ่งได้แสดงไว้ดังในรูปที่ 2.6(ก) ตัวของบ่วงจะต้องถูกหมุนรอบแกน Z ดังแสดงในรูปที่ 2.6(ข)



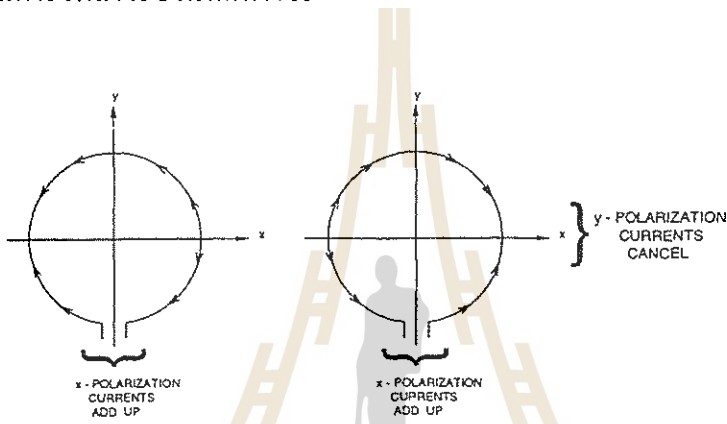
รูปที่ 2.6 (ก) แบบรูปการแผ่กระจายกำลังงานในระนาบของตัวบ่วงของสายอากาศแบบบ่วงเต็มความยาวคลื่น  
(ข) แสดงการหมุนของบ่วงเพื่อวัดแบบรูปการแผ่กระจายกำลังงานในระนาบของตัวบ่วง

ต่อไปจะเป็นการพิจารณาแบบรูปการแผ่กระจายกำลังงานที่ได้จากทฤษฎีทั้งในระนาบฐานไฟฟ้าและระนาบของบ่วงให้มากยิ่งขึ้น ดังแสดงในรูปที่ 2.4(ก), 2.5(ก) และ 2.6(ก) ตามลำดับ แม้ว่าแบบรูปการแผ่กระจายกำลังงานในระนาบฐานไฟฟ้าและระนาบของบ่วงจะมีลักษณะที่คล้ายกัน แต่

ระดับของแอมเพลจูดจะแตกต่างกัน ซึ่งพิจารณาได้จากรูปที่ 2.2 ผลของสานามที่เกิดขึ้นบริเวณจุดกึ่งกลางของบ่วงจะได้มาจากการเสริมกันของสานามที่เกิดจากกระแสที่มีเฟสเดียวกัน ส่วนบนแทน X ที่อยู่ภายนอกบ่วงสานามก็จะเสริมกันเข่นกันแต่จะมีเฟสแตกต่างกันเล็กน้อย ซึ่งเป็นสาเหตุให้สานามในระบบของบ่วงมีค่าต่ำกว่าสานามในระบบสานามไฟฟ้าอยู่ 3 dB

#### 2.2.4 การโพลาไรซ์ (Polarization)

ในรูปที่ 2.7(ก) และ 2.7(ข) แสดงให้เห็นทิศทางของกระแสไฟฟ้าในสายอากาศแบบบ่วงซึ่งมีความแตกต่างกันในช่วงละ จากรูปได้แสดงให้เห็นว่า ในทิศทางของ X นั้นกระแสจะเสริมกันทั้งในครึ่งบนและครึ่งล่างของบ่วง ขณะที่ในทิศทางของ Y นั้นกระแสจะหักล้างกันหมด จากเหตุผลนี้ทำให้คลื่นที่เกิดขึ้นในระบบสานามไฟฟ้าซึ่งมีการโพลาไรซ์ในทิศทาง X



รูปที่ 2.7 การโพลาไรซ์ของสานามไฟฟ้าในทิศทาง X

จากกรณีดังกล่าว ในทางปฏิบัตินั้นหมายความว่า ถ้าบ่วงถูกวางในแนวตั้งและมีการป้อนสัญญาณอยู่ที่ด้านล่างหรือด้านบนของบ่วง คลื่นในระบบสานามไฟฟ้าจะมีการโพลาไรซ์ทางแนวนอน แต่ถ้าบ่วงวางในแนวตั้งแต่มีจุดป้อนสัญญาณที่ด้านขวาหรือด้านซ้ายของบ่วง คลื่นในระบบสานามไฟฟ้าจะมีการโพลาไรซ์ทางแนวตั้ง

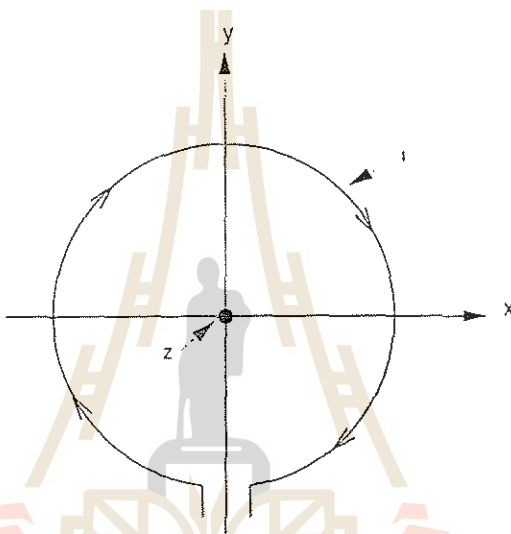
#### 2.2.5 อินพุตอิมพีเดนซ์ อัตราขยาย และความกว้างของลำคลื่น

ความต้านทานอินพุต (Input Resistance) ของสายอากาศแบบบ่วงจะมีค่าอยู่ที่ประมาณ 100 โอห์ม เมื่อความยาวของบ่วงมีค่าใกล้เคียงกับหนึ่งความยาวคลื่น ในขณะที่มีความยาวนี้ ค่าเรียกแตกน์ซินพุตจะมีค่าต่ำลงมากๆ ซึ่งถ้าบ่วงมีเงื่อนไขตามนี้ สายอากาศแบบบ่วงก็สามารถนำไปใช้ประโยชน์ได้และมีความกว้างลำที่กว้างพอสมควร สายอากาศแบบบ่วงจะมีค่าอัตราขยาย 3.09 dB ซึ่งน้อยกว่าค่าอัตราขยายของสายอากาศไดโอลแบบเต็มความยาวคลื่น ซึ่งมีค่าอัตราขยายประมาณ 3.82 dB แต่ก็มากกว่าของสายอากาศไดโอลแบบความยาวครึ่งคลื่น ซึ่งมีอัตราขยาย 2.15 dB ซึ่งเป็นผลมาจากการกว้างของลำคลื่นของสายอากาศนั้นเอง ในทางทฤษฎีนั้นจะมีค่าอยู่ระหว่างความกว้างของลำคลื่นของสายอากาศไดโอลแบบเต็มความยาวคลื่นและแบบความยาวครึ่งคลื่น ซึ่งมีความกว้างของลำคลื่น 47 องศา และ 78 องศา ตามลำดับ

### 2.2.6 สายอากาศแบบบ่วงขนาดเล็ก (Small Loop Antenna)

สายอากาศแบบบ่วงขนาดเล็กเป็นสายอากาศที่มีความยาวเส้นรอบวงของบ่วงประมาณ  $\lambda/8$  หรือน้อยกว่า สายอากาศแบบนี้จะมีแบบรูปการแผ่กระจายกำลังงานที่แตกต่างจากของสายอากาศแบบบ่วงเต็มความยาวคลื่นอย่างมาก และจะนำไฟประยุกต์ใช้งานที่แตกต่างจากงานปกติ เช่น สายอากาศสำหรับใช้ในการทางพิสัย เป็นต้น

เนื่องจากความยาวของบ่วงมีค่าน้อยกว่าความยาวคลื่นมาก กระแสที่เกิดขึ้นในทุกส่วนของตัวบ่วงสามารถที่จะพิจารณาให้เป็นเฟสเดียวกันได้ ดังแสดงในรูปที่ 1.8 ด้วยเหตุนี้สนามไฟฟ้าในแนวแกน Z จึงมีค่าเป็นศูนย์ สายอากาศแบบบ่วงขนาดเล็กจึงแตกต่างจากสายอากาศแบบบ่วงเต็มความยาวคลื่น ซึ่งมีสนามไฟฟ้าในแนวแกน Z สูงที่สุด



รูปที่ 1.8 กระแสที่ไหลในสายอากาศแบบบ่วงขนาดเล็ก

ส่วนในทิศทางอื่นๆ ที่ไม่ใช้ในแนวแกน Z แบบรูปการแผ่กระจายกำลังงานจะมีค่าไม่เท่ากับศูนย์ เช่น เดียวกับสายอากาศไดโอลูนด้าสั้น (Short Dipole) ซึ่งในความเป็นจริงแล้ว สายอากาศแบบบ่วงขนาดเล็กจะเป็นสายอากาศที่เป็นทวิภาค (Dual) กับสายอากาศไดโอลูนด้าสั้น (มีคุณลักษณะของแบบรูปการแผ่กระจายกำลังงานเหมือนกัน) ดังนั้นหากเราเปลี่ยนจากสายอากาศแบบบ่วงขนาดเล็กมาเป็นสายอากาศไดโอลูนด้าสั้น โดยวงตัวไดโอลูไวท์จุดกำเนิด (Origin) และวงตัวของไดโอลูนด้าสั้นไปตามแนวแกน Z แบบรูปการแผ่กระจายกำลังงานที่ได้จะไม่แตกต่างกันเลย สำหรับค่าความต้านทานอินพุตของสายอากาศแบบบ่วงขนาดเล็กนี้จะมีค่าค่อนข้างต่ำ ซึ่งมีค่าเป็นเศษส่วนของโอห์ม

## 2.3 สรุป

จากเนื้อหาการศึกษาที่ผ่านมาในหน่วยนี้ ผู้ศึกษาจะเข้าใจถึงความสัมพันธ์กันระหว่างจุดป้อนสัญญาณบนตัวสายอากาศแบบบ่วงกับการโพลาไรซ์ที่เกิดขึ้น แบบรูปการแผ่กระจายกำลังงานของสายอากาศแบบบ่วง การโพลาไรซ์ของสายอากาศแบบบ่วง อิมพีเดนซ์อินพุต อัตราขยาย ความกว้างลำคลื่น และสามารถคำนวณ

หาก้าอัตราขยายของสายอากาศนิดนี้ เพื่อศึกษาความสัมพันธ์กันระหว่างรูปร่างของบ่ังกับค่าสภาพเจาะจงทิศทางที่เกิดขึ้น

## 2.6 คำาณหลังการเรียนรู้

- 1) จงอธิบายการแข่งรูปของกระแสติดต่อความยาวเส้นลวดของสายอากาศแบบบ่ังที่มีความยาวเท่ากับหนึ่งความยาวคลื่น ( $\lambda$ )
- 2) หากนักศึกษาต้องการสร้างสายอากาศแบบบ่ังซึ่งมีความยาวเท่ากับหนึ่งความยาวคลื่น เพื่อรับสัญญาณความถี่ 28 MHz ที่มีการโพลาไรซ์ทางแนวตั้ง ให้อธิบายลักษณะของสายอากาศนี้
- 3) หากนำสายอากาศแบบบ่ังที่มีความยาวเท่ากับหนึ่งความยาวคลื่น มาใช้กับสายเคเบิลที่มีค่าอินเพดานซ์คุณลักษณะ 50 Ω ให้คำนวณหาค่า SWR และคำนวณหาว่ากำลังงานที่ถูกส่งออกไปจากสายอากาศนี้ มีค่าเป็นกี่เปอร์เซ็นต์ของค่ากำลังงานทั้งหมด (ให้อ้างอิงกับปฏิการที่ 5 ในบทที่ 1)
- 4) ถ้านักศึกษาต้องการใช้สายอากาศแบบบ่ังขนาดเล็กเพื่อรับสัญญาณเช่นเดียวกับในข้อที่ 2 สายอากาศแบบบ่ังขนาดเล็กของนักศึกษา จะต้องมีความยาวสูงสุดเท่าใด จงอธิบาย
- 5) ให้อธิบายว่าเหตุใดจึงมีการกล่าวว่าสายอากาศแบบบ่ังขนาดเล็กนั้นเป็นทวิภาคของสายอากาศได้โดยแบบสั้น



## หน่วยที่ 2-3

### การโพลาไรซ์แบบวงกลมและสายอากาศแบบเกลียว

#### (Circular Polarization and Helical Antenna)

### 3.1 วัตถุประสงค์

ในหน่วยนี้จะช่วยให้ผู้ศึกษาได้เรียนรู้ในเรื่องของการโพลาไรซ์แบบวงกลม รวมทั้งจะได้ศึกษาดูแลักษณะของสายอากาศแบบเกลียว ซึ่งมีการแผ่กระจายกำลังงานที่ให้การโพลาไรซ์เป็นแบบเกลียวทั้งแบบวนซ้ายมือและวนขวามือ

### 3.2 ทฤษฎี

#### 3.2.1 การโพลาไรซ์แบบวงกลม (Circular Polarization)

สายอากาศที่ได้ศึกษาผ่านมาทั้งหมดในหนังสือทฤษฎีวิศวกรรมสายอากาศเดมนี้ จะมีการโพลาไรซ์ของสนามไฟฟ้าเป็นแบบเชิงเดือน โดยเฉพาะในกรณีที่สายอากาศมีลักษณะเป็นเส้นตรง เช่น สายอากาศแบบไดโอล สายอากาศไดโอลแบบพับ และสายอากาศโมโนโอล ซึ่งจะมีสนามไฟฟ้าเปลี่ยนแปลงในทิศทางที่เหมือนกันโดยมีแนวของการโพลาไรซ์ทดสอบไปตามลักษณะทางทิศทางของเส้นลวดที่ใช้ทำสายอากาศ สายอากาศไดโอลที่มีสนามไฟฟ้าในระนาบท่างแนวอนก์จะมีสนามแม่เหล็กในระนาบท่างแนวตั้ง ดังนั้นหากต้องการรับสัญญาณจากสายอากาศชนิดนี้ให้ดีที่สุด สายอากาศภาครับจะต้องมีระนาบของสนามไฟฟ้าในทิศทางแนวอนด้วย

สายอากาศแบบบ่วงก์เบนเดียวกันจะมีการโพลาไรซ์เป็นแบบเชิงเดือน ตัวอย่างจากสายอากาศแบบบ่วงที่วางในแนวตั้งและมีการป้อนสัญญาณเข้าที่ด้านล่างของตัวสายอากาศ จะมีพฤติกรรมเหมือนกับสายอากาศไดโอลที่วางในแนวอนก์ ซึ่งจะให้การโพลาไรซ์ในระนาบทิศทางแนวอนด้วย และถ้าเราป้อนสัญญาณเข้าที่ด้านซ้ายหรือด้านขวาของตัวบ่วง เราจะได้การโพลาไรซ์ในระนาบทิศทางแนวตั้ง

ในกรณีที่เป็นห่อ南北แบบสี่เหลี่ยม จะมีการส่งสัญญาณที่มีการโพลาไรซ์เป็นแบบเชิงเดือนเช่นเดียว กัน ซึ่งการวัดสนามในระนาบส่วนไฟฟ้าและระนาบส่วนแม่เหล็กของห่อ南北จะให้ทำปฏิบัติการไปแล้วในบทที่ผ่านไป และได้พิสูจน์แล้วว่าทั้งสายอากาศส่งและสายอากาศรับจะต้องมีการโพลาไรซ์ที่เหมือนกันทุกประการ ดังนั้นการวางแผนตัวของสายอากาศทั้งสองจึงต้องปรับให้มีการโพลาไรซ์ที่ตรงกันด้วย จึงจะทำให้รับส่งสัญญาณได้ผลดีที่สุด อย่างไรก็ตามหากสายอากาศด้านใดด้านหนึ่งถูกหมุนไป 90 องศา จะมีสัญญาณที่มีระดับต่ำมากๆ ส่วนหนึ่งเท่านั้น ที่สายอากาศภาครับจะสามารถรับเข้ามาได้ ซึ่งกรณีนี้เกิดจากการแยกโคลด์เดียวชนิดนี้จะต้องมีค่าเป็นอนันต์และไม่ควรรับสัญญาณได้เลย แต่ในทางปฏิบัติการแยกโคลด์เดียวจะไม่สามารถกระทำได้อย่างสมบูรณ์

การโพลาไรซ์ของคลื่นที่เดินทางออกจากสายอากาศนั้น สามารถกำหนดให้มีลักษณะที่เป็นวงรีหรือวงกลมก็ได้ (ทั้งนี้ต้องขึ้นอยู่กับโครงสร้างของสายอากาศด้วย) การโพลาไรซ์แบบวงรี (Elliptical Polarization) จะเกิดจากการรวมกันของเวกเตอร์สนามไฟฟ้าสองเวกเตอร์ (โดยพิจารณาให้ห้องส่องเวกเตอร์มีการโพลาไรซ์เป็นแบบเชิงเส้น) ซึ่งมีความถี่เดียวกัน แต่ว่างด้วยคลื่นกระแสและกันและเดินทางไปในทิศทางเดียวกัน และในขณะที่คลื่นเคลื่อนที่ออกไปนั้น ความสัมพันธ์เชิงเฟสและเชิงแอมเพลจูดของเวกเตอร์ทั้งสองจะมีค่าแตกต่างกัน อีกกรณีหนึ่งก็คือ ถ้าแอมเพลจูดของทั้งสองเวกเตอร์มีค่าเท่ากัน และห้องส่องเวกเตอร์มีเฟสต่างกัน 90 องศา อย่างแท้จริง โพลาไรซ์ที่ได้จะเปลี่ยนไปเป็นการโพลาไรซ์เป็นแบบวงกลม (Circular Polarization) แต่ถ้าเวกเตอร์ใดเวกเตอร์หนึ่นมีแอมเพลจูดเป็นศูนย์ การโพลาไรซ์ก็จะกลายเป็นแบบเชิงเส้น จะเห็นว่าการโพลาไรซ์แบบเชิงเส้นและแบบวงกลมจะเป็นกรณีพิเศษที่เป็นผลจากการโพลาไรซ์แบบวงรี

วิธีการที่จะได้การโพลาไรซ์แบบวงกลมนั้น สนามไฟฟ้าจะต้องถูกทำให้หมุนและเคลื่อนที่ไปอย่างรวดเร็ว ซึ่งมีหลายวิธีที่สามารถจะทำให้เกิดขึ้นได้

วิธีแรก ก็คือ การส่งคลื่นออกไปทั้งที่เป็นการโพลาไรซ์ทางแนวตั้งและการโพลาไรซ์ทางแนวอนโดยไม่มีความต่างเฟสของคลื่นที่ต่อกัน 90 องศา คล้ายกับการสร้างภาพวงกลมให้ปรากฏบนอสซิลโลสโคป โดยการป้อนสัญญาณรูปไข่น์ที่ต่างเฟสกัน 90 องศาเข้าที่อินพุตของแกน X และแกน Y

อีกวิธีหนึ่ง ก็คือ การส่งคลื่นแม่เหล็กไฟฟ้าเข้าไปในคลาวด์รูปเกลียวซึ่งมีขนาดที่เหมาะสม คลื่นคงกล่าวจะเดินทางเข้าไปในเกลียวของคลาวด์ ซึ่งจะทำให้เกิดการหมุนของสนามไฟฟ้าไปตามแนวเกลียวของคลาวดอย่างรวดเร็ว ซึ่งวิธีนี้ ก็คือ หลักการทำงานพื้นฐานของสายอากาศแบบเกลียววนนั่นเอง

การหมุนของสนามไฟฟ้านั้น สามารถที่จะเกิดขึ้นได้ทั้งในทิศทางตามเข็มนาฬิกาหรือทวนเข็มนาฬิกา ถ้าเราทำมือขวาและให้นิ้วซึ่งนิ้วหัวอยู่ของมือขวาซึ่งแสดงทิศทางของการหมุนของสนามไฟฟ้า โดยให้นิ้วหัวแม่มือซึ่งไปในทิศทางการเคลื่อนที่ของคลื่นที่เดินทางออกไปในอากาศ เราจะเรียกการโพลาไรซ์ในลักษณะนี้ว่า การโพลาไรซ์แบบวนขวา (Right-Hand Circular Polarization) สำหรับในทิศทางที่หมุนตรงกันข้ามกัน เราจะเรียกลักษณะนี้ว่า การโพลาไรซ์แบบวนซ้าย (Left-Hand Circular Polarization)

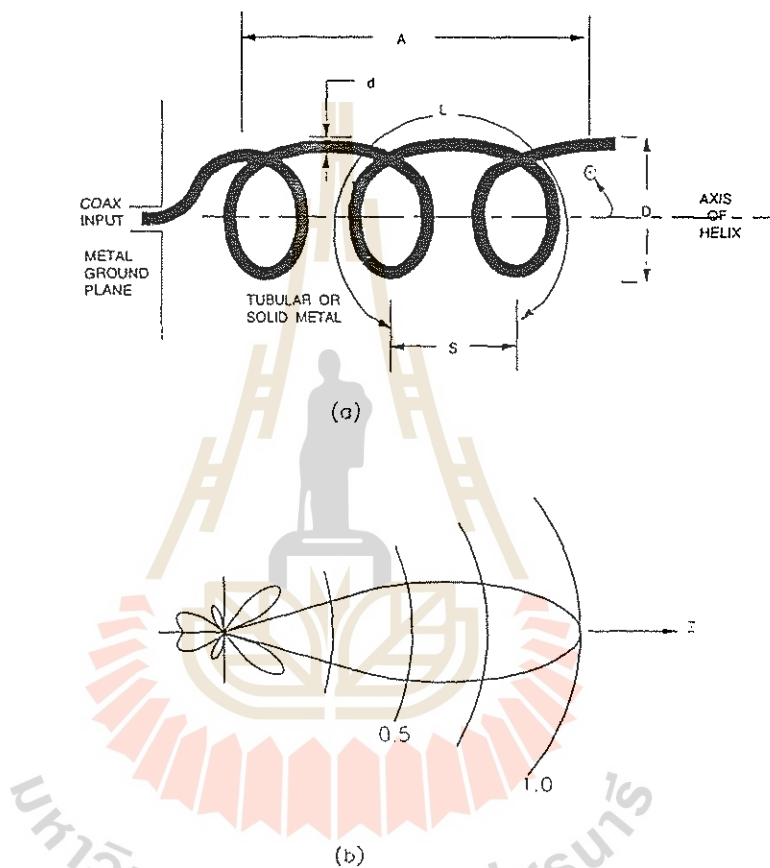
สำหรับการโพลาไรซ์แบบวงกลมนี้ ผลกระทบของการแยกโคลดเคี่ยวแบบข้ามขั้วจะเห็นได้อย่างชัดเจนมาก สายอากาศที่มีการโพลาไรซ์แบบวงกลมวนขวาจะไม่สามารถรับสัญญาณที่ส่งมาด้วยการโพลาไรซ์วงกลมแบบวนซ้ายได้ รวมทั้งในทางกลับกันด้วย แต่อย่างไรก็ตามสายอากาศเหล่านี้สามารถที่จะรับสัญญาณจากสายอากาศที่มีการโพลาไรซ์แบบเชิงเส้น ได้เช่นกัน แต่จะเกิดการลดthonของสัญญาณถึงหนึ่งเท่าตัว (3 dB)

ถึงแม้ว่าการโพลาไรซ์แบบเชิงเส้นน่าจะเพียงพอสำหรับการประยุกต์ใช้งานในหลายๆ สถานการณ์ แต่การโพลาไรซ์แบบวงกลมจะมีประโยชน์อย่างมากในการสื่อสารที่ต้องการความแน่นอน ตัวอย่างที่เห็นได้ชัดเจน ก็คือ การติดต่อสื่อสารระบบดาวเทียม ซึ่งเป็นเรื่องยากที่จะกำหนดให้ลักษณะการวางตัวของสายอากาศให้คงที่ได้ ดังนั้นถ้าใช้สายอากาศที่มีการโพลาไรซ์เป็นแบบเชิงเส้น อาจจะทำให้เกิดการจางหายของสัญญาณเมื่อการวางตัวของสายอากาศเปลี่ยนไป แต่ถ้าเป็นการโพลาไรซ์แบบวงกลม ความแรงของสัญญาณที่รับได้ค่อนข้างที่จะคงที่ โดยไม่สนใจว่าสายอากาศของดาวเทียมจะหมุนตัวไปอย่างไร

### 3.2.2 สายอากาศแบบเกลียว (Helical Antenna)

ในรูปที่ 3.1 แสดงให้เห็นลักษณะโดยทั่วไปของสายอากาศแบบเกลียวที่มีโหมดตามแกน (Axial-Mode Helical Antenna) ซึ่งเป็นสายอากาศแบบเกลียวที่ถูกออกแบบให้มีแบบรูปการแผ่กระจายกำลังงานเป็นรูปดินสอ (Pencil Beam) พุ่งไปตามแนวแกนของเกลียวออกจากแผ่นระหว่างกราด

สายอากาศแบบเกลียวชนิดนี้ได้ถูกนำมาใช้ประโยชน์ต่อในหลายลักษณะงาน ซึ่งนอกจากจะมีแบบรูปการแผ่กระจายกำลังงานที่ดีเยี่ยมแล้วยังให้ความกว้างเด่นความถี่ (Frequency Bandwidth) ที่กว้างพอสมควร และมีค่าอินพุตอิมพีเดนซ์อยู่ในช่วงระหว่าง 120-140 โอห์ม



รูปที่ 3.1 สายอากาศแบบเกลียวที่มีโหมดตามแกน

(ก) โครงสร้างของสายอากาศ

(ข) แบบรูปการแผ่กระจายกำลังงานรูปดินสอ

สัญลักษณ์ต่อไปนี้จะใช้สำหรับอธิบายสายอากาศแบบเกลียว

$N$  = จำนวนรอบของคลื่น

$S$  = ระยะห่างระหว่างคลื่น =  $C \tan \alpha$

$A$  = ความยาวของแกน =  $NS$

$D$  = เส้นผ่านศูนย์กลางของคลื่น

$d$  = เส้นผ่านศูนย์กลางของเส้นลวดตัวนำ

$$C = \text{เส้นรอบวง} = \pi D$$

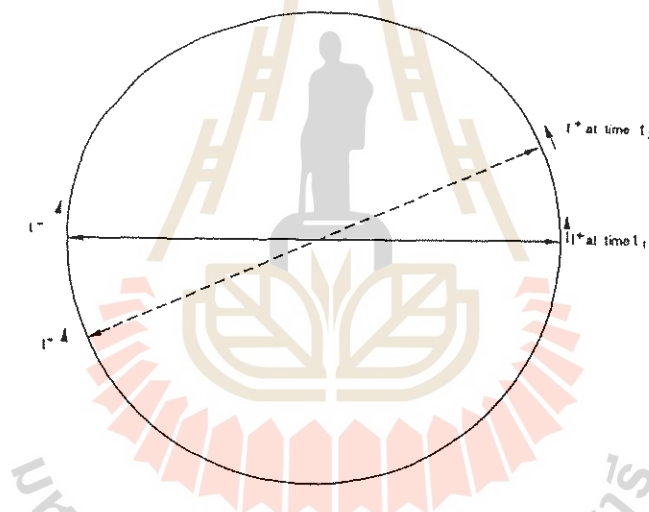
$L$  = ความยาวของคลื่นต่อ 1 รอบ

$$\alpha = \text{มุมพิทช์} = \tan^{-1}(S/C)$$

เกลียวขดคลื่นจะแผ่กระจายกำลังงานออกในโภรมดตามแกน เมื่อเส้นรอบวงของเกลียวเป็นค่าจำนวนเต็มของค่าความยาวคลื่น ย่านความถี่ใช้งานที่ได้จะมีค่าต่อหน้างกว้าง โดยย่านความถี่จะเป็นไปตามสมการ

$$\frac{3}{4}\lambda < C < \frac{4}{3}\lambda \quad (3.1)$$

กลไนรูปที่ 3.2 จัดเดินทางไปตลอดความยาวของขดคลื่นเกลียวที่พุ่งออกจากระนาบกราวด์ไปที่ปลายอีกค้านหนึ่งของขดคลื่น จึงเป็นที่มาของการเรียกสายอากาศแบบเกลียวนี้อีกชื่อหนึ่งว่า สายอากาศคลื่นจร (Traveling-Wave Antenna) และเพื่อที่จะทำความเข้าใจถึงการทำงานของสายอากาศแบบเกลียว เราจะพิจารณาจากขดคลื่นที่มีเส้นรอบวงเท่ากับ  $\lambda$  เพียงหนึ่งรอบก่อน ดังแสดงในรูปที่ 3.2



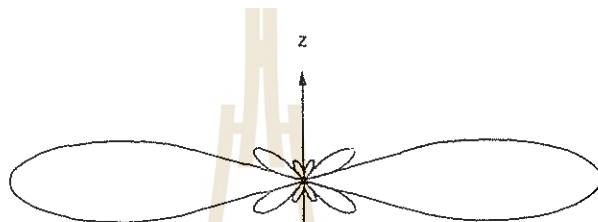
รูปที่ 3.2 แสดงสายอากาศแบบเกลียว ( $C = \lambda$ ) จำนวนหนึ่งรอบ

ที่เวลา  $t_1$  ที่ค้านหนึ่งของบ่วงกระแสจะมีค่าเป็นบวกและจะมีค่าเป็นลบที่ค้านตรงข้าม เนื่องจากเส้นรอบวงมีความยาวเท่ากับ  $\lambda$  จากรูปที่ 3.2 จะเห็นว่าจุดของ  $I^+$  และ  $I^-$  หัวของสูตรจะซึ่งไปในทิศทางที่อยู่บนรูปทรงเดียวกัน ซึ่งเป็นลักษณะหนึ่งของสายอากาศได้โพล และต่อมาก็ช่วงเวลาต่อๆ ไป  $t_2$  กระแสเดินทางเป็นระยะทางต่อๆ บนขดคลื่น ตัวของได้โพลก็จะหมุนไปอีก ซึ่งได้โพลนี้จะหมุนครบรอบที่หนึ่งความยาวคลื่นของความถี่ที่เครื่องส่งส่งออกมา

แบบรูปการแผ่กระจายกำลังงานที่พุ่งออกไปทางค้านข้างของขดคลื่นในรูปที่ 3.2 นั้นจะมีค่าเป็นศูนย์ การแผ่กระจายกำลังงานจะเดินทางออกไปในแนวแกนของเกลียวขดคลื่นเพียงอย่างเดียว ซึ่งเป็นเหตุให้สามารถที่เกิดขึ้นในแต่ละรอบวงของเกลียวขดคลื่นซึ่งมีไฟฟ้าเดียวกันเกิดการหันซ้อนกัน และจะรวมกันขึ้นเรื่อยๆ ในแต่ละวง ทำให้แบบรูปการแผ่กระจายกำลังงานพุ่งออกจากปลายทั้งสองค้านของเกลียวขดคลื่น ดังแสดงในรูป

ที่ 3.3 อย่างไรก็ตามในความเป็นจริงนั้น จะเกิดการห่วงเวลาขึ้นในขณะที่มีการแผ่กระจายกำลังงาน ทำให้เกิดความด่างไฟสูงขึ้น ส่งผลให้แบบรูปการแผ่กระจายกำลังงานเปลี่ยนแปลงไป จากที่ควรจะเกิดลำคลื่นทั้งสอง ลำคลื่น (Lobe) ก็จะเหลือเพียงลำคลื่นเดียว ดังแสดงในรูปที่ 3.1 (ข) สายอากาศแบบเกลียวที่สามารถจะพิจารณาให้เป็นแค่ลำดับแบบอนด์ไฟร์ (Endfire Array) ได้ เมื่อจากตำแหน่งขององค์ประกอบของสายอากาศและไฟส่องกระแสงทำให้เกิดลำคลื่นเพียงลำคลื่นเดียวในทิศทางแบบอนด์ไฟร์

ทิศทางในการพันเกลียวของขดลวดนั้น จะพิจารณาจากทิศทางของการโพลาไรซ์ เมื่อมองจากผ่าน ระนาบกราวด์ออกไปยังปลายอีกด้านหนึ่ง ลวดที่พันเกลียวในทิศทางตามเข็มนาฬิกาจะทำให้เกิดการโพลาไรซ์แบบวงกลมวนชี้ขึ้น



รูปที่ 3.3 แบบรูปการแผ่กระจายกำลังงานของสายอากาศแบบเกลียวที่มีลำคลื่นแบบพัด

### 3.2.3 อัตราส่วนแกน และอัตราขยาย (Axial Ratio and Gain)

การใช้สายอากาศแบบเกลียวที่มีการโพลาไรซ์แบบวงกลมในการรับสัญญาณนั้น สายอากาศแบบเกลียวจะให้ผลตอบสนองที่ค่อนข้างตื้น สำหรับสัญญาณที่รับได้จะมีค่าค่อนข้างคงที่ แม้ว่าสานามจะหมุนเปลี่ยนแปลงอยู่ตลอดเวลา ก็ตาม

เพื่อที่จะแสดงให้เห็นปรากฏการณ์นี้ ให้จินตนาการถึงสายอากาศที่มีการโพลาไรซ์แบบเชิงเส้น เช่น สายอากาศได้โพลมาทำหน้าที่เป็นสายอากาศภาคสั้น และให้สายอากาศแบบเกลียวเป็นสายอากาศภาครับ จากนั้นทำการเปลี่ยนการโพลาไรซ์ของสัญญาณที่สายอากาศภาคสั้น โดยการหมุนตัวโดยโพลตัวหมุนที่แน่นอนและคงที่ สายอากาศแบบเกลียวที่ทำหน้าที่เป็นสายอากาศภาครับจะให้ผลตอบสนองสอดคล้องกับการโพลาไรซ์ของได้โพลในทุกๆ หมุนขณะที่ทำการหมุน นั่นคือ สามารถตอบสนองได้ทุกๆ การโพลาเรชันนั่นเอง และเนื่องจากความยาวของเกลียวขดลวดมีระยะที่จำกัด การไม่สมมาตรรังสีเกิดขึ้นเล็กน้อย ดังนั้นจึงอาจมีการตอบสนองกับการโพลาเรชันบางตำแหน่งดีกว่าตำแหน่งอื่นๆ เพียงเล็กน้อย

การวัดผลการตอบสนองของเกลียวขดลวดต่อการโพลาไรซ์ที่แตกต่างกันนั้น จะเรียกว่า อัตราส่วนแกน (Axial Ratio) ซึ่งใช้บ่งบอกคุณสมบัติของความเป็นวงกลม (Circularity) ของการโพลาไรซ์ ซึ่งกำหนดจากอัตราส่วนของแอนเพลิจูดของการโพลาเรชันที่ให้ผลตอบสนองสูงสุดเทียบกับแอนเพลิจูดของการโพลาเรชันที่ให้ผลตอบสนองต่ำสุด สายอากาศที่ให้ผลตอบสนองเท่ากันทุกๆ การโพลาเรชัน จะมีค่าอัตราส่วนแกนเท่ากับ 1.0 หรือ 0 dB

## ค่าของอัตราส่วนแกน จะถูกกำหนดโดย

$$AR = \frac{2N + 1}{2N} \quad (3.2)$$

โดยที่  $AR$  คือ ค่าอัตราส่วนแกน

$N$  คือ จำนวนรอบของขดลวด

ค่าอัตราส่วนแกนสามารถวัดได้ด้วยการรับส่งสัญญาณระหว่างสายอากาศที่มีการโพลาไรซ์เชิงเส้น กับสายอากาศแบบเกลียว จากนั้นให้หมุนสายอากาศตัวได้ตัวหนึ่งเพื่อวัดหาค่าแอมเพลจูดที่สูงสุดและต่ำสุด ของสัญญาณที่วัดได้ จากนั้นจึงนำค่าของแอมเพลจูดทั้งสองค่าที่วัดได้มาคำนวณหาค่าอัตราส่วนแกน

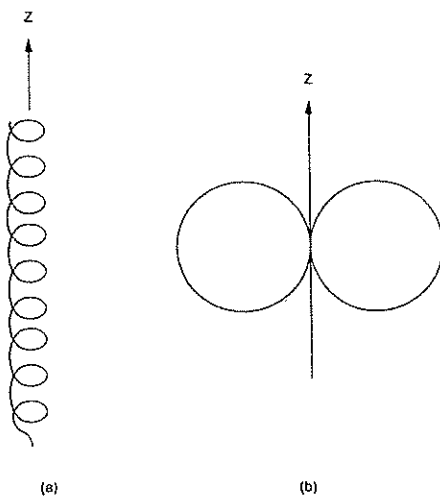
ในทางอุดมคติ สายอากาศแบบเกลียวจะมีค่าอัตราส่วนแกนอยู่ระหว่าง 1.0 ถึง 1.1 (0-0.83 dB) เพื่อให้ได้ค่าอัตราส่วนแกนดังกล่าว เทคนิคที่มักจะใช้กัน คือ การทำให้ส่วนปลายของเกลียวขดลวดมีขนาดเรียบลง ซึ่งในทางปฏิบัตินั้นถ้าให้เส้นผ่านศูนย์กลางของเกลียวขดลวดมีค่าคงที่ จะได้ค่าอัตราส่วนแกนประมาณ 1.2 (1 dB) และค่าอัตราข่ายของสายอากาศแบบเกลียว สามารถคำนวณได้จากการซึ่งเป็นผลที่ได้จากการทดลองดังนี้

$$G = 8.3 \left( \frac{\pi D}{\lambda} \right)^{\left[ \frac{(N+2)^{1/2}-1}{2} \right]} \cdot \left( \frac{NS}{\lambda} \right)^{0.8} \cdot \left[ \frac{\tan(12.5^\circ)}{\tan(\alpha)} \right]^{\frac{1}{(N/2)^2}} \quad (3.3)$$

### 3.2.4 โหมดตั้งฉากของการแผ่กระจายกำลังงาน (Normal Mode of Radiation)

มีความเป็นไปได้ที่จะสร้างสายอากาศแบบเกลียวให้มีแบบรูปการแผ่กระจายกำลังงานให้มีความแตกต่างออกไปจากเดิมทั้งหมด ดังแสดงในรูปที่ 3.4 สายอากาศแบบเกลียวจะทำการแผ่กระจายกำลังงานในโหมดตั้งฉาก นั่นคือ ทิศทางที่มีการแผ่กระจายกำลังงานออกมามากสูงสุดจะตั้งฉากกับแกนของสายอากาศ

วิธีการกำหนดให้สายอากาศแบบเกลียวทำงานในโหมดตั้งฉากได้นั้น เช่นรับวงของเกลียวขดลวด จะต้องมีความยาวสั้นกว่าความยาวคลื่น ซึ่งจะทำให้การแข็งรูปของกระแสมีแอมเพลจูดและเฟสค่อนข้างจะคงที่ตลอดเกลียวขดลวด ซึ่งขดลวดชนิดนี้จะมีขนาดทางไฟฟ้าเล็กและมีประสิทธิภาพดี



รูปที่ 3.4 โน้มดั้งดาของสายอากาศแบบเกลียว

(ก) โครงสร้างของสายอากาศ

(ข) แบบรูปการແຜ່ງຮາຍກຳລັງຈານ

### 3.2.5 ราໂດມ (Radome)

ในบางครั้งสายอากาศแบบเกลียวที่ใช้ในงานที่ความถี่สูงจะมีขนาดที่เล็กมาก ทำให้ยากต่อการจัดสร้าง โครงสร้างเพิ่มเติมเพื่อให้สายอากาศมีความแข็งแรงและไม่เปลี่ยนรูปได้ วิธีที่นิยมใช้กันคือ การป้องกันเกลียวขดลวด โดยใช้ราໂດມ (Radome) ราໂດມหรือเรดาร์ໂດມ (Radar Domes) เป็นโครงสร้างสำหรับป้องกันสายอากาศย่านคลื่นมิลลิเมตร (Millimeter-Wave) หรือย่านไมโครเวฟ จะถูกสร้างให้มีรูปร่างที่เหมาะสมสำหรับครอบคลุมตัวสายอากาศ วัสดุที่ใช้ทำราໂດมนั้นส่วนใหญ่จะมาจากໄโคอิเล็กทริกที่มีการสูญเสียต่ำและมีความหนาน้อยกว่าขนาดของความยาวคลื่น

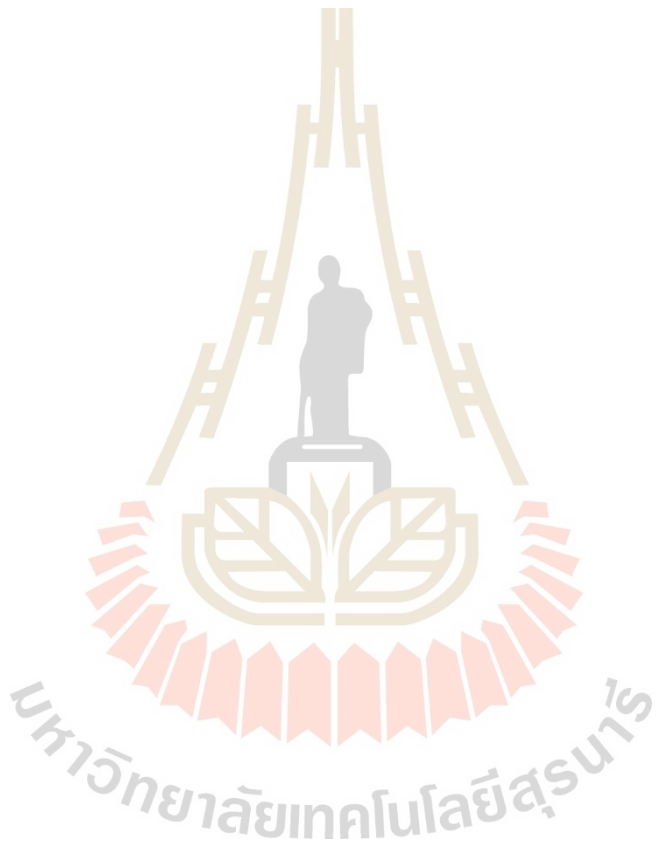
เนื่องจากการรับส่งคลื่นผ่านโครงสร้างของราໂດມ จะเกิดการสะท้อน การเลี้ยวเบน และการสูญเสียเกิดขึ้นภายในเนื้อวัสดุที่ใช้ทำตัวราໂດມ ทำให้ราໂດมมีผลต่อการเปลี่ยนแปลงคุณลักษณะทางไฟฟ้าของสายอากาศที่ถูกครอบอยู่ด้วย สิ่งที่เกิดขึ้นเสมอๆคือ จะไปรบกวนแบบรูปการແຜ່ງຮາຍກຳລັງຈານของสายอากาศ ในบางส่วนผิดเพี้ยนไป ทำให้อัตราขยาย ความกว้างແฉนความถี่ ระดับของลำคลื่นด้านข้าง และคุณสมบัติของการโพลาไรซ์เปลี่ยนแปลงไป ซึ่งราໂດมที่ใช้อาจจะมีผลทำให้ความกว้างลำคลื่นที่กำลังลดลงครึ่งหนึ่งลดลงเพียงเล็กน้อย แต่จะไปเพิ่มระดับของลำคลื่นด้านข้างของสายอากาศให้สูงขึ้นจากปกติที่ไม่ได้ใส่ราໂດม

## 3.3 ສຽງ

เนื้อหาในหน่วยนี้ ผู้ศึกษาจะทราบถึงความแตกต่างระหว่างสายอากาศแบบเกลียวที่มีการโพลาไรซ์แบบวงกลมขวา (RHP) และแบบวงกลมซ้าย (LHP) ทั้งสองแบบ และต้องคำนวณหาค่าความกว้างลำคลื่นที่กำลังลดลงครึ่งหนึ่ง ค่าอัตราขยาย และค่าอัตราส่วนแกน ซึ่งจะแสดงความเป็นวงกลมของสายอากาศแบบเกลียวได้

### 3.4 คำถ้ามหลังการเรียนรู้

- 1) จงอธิบายคำว่าการ โลลาไรซ์แบบวงกลม
- 2) ให้อธิบายความสัมพันธ์ระหว่างการ โลลาไรซ์แบบวงรี แบบเชิงเส้น และแบบวงกลม
- 3) สายอากาศแบบเกลียวที่มีจำนวนรอบ 4 รอบนั้น สามารถนำมาระบุกต์ใช้งานเป็นสายอากาศเพื่อรับสัญญาณที่มีการ โลลาไรซ์แบบเชิงเส้น ได้ดีหรือไม่ จงอธิบาย
- 4) ให้อธิบายความสัมพันธ์ระหว่าง โหนดตั้งฉากกับอัตราส่วนแกนของสายอากาศแบบเกลียว
- 5) ราโดม (Radome) มีไว้เพื่อวัดคุณประสิทธิภาพ อะไร และมีผลกระทบต่อคุณลักษณะทางไฟฟ้าของสายอากาศอย่างไร



## หน่วยที่ 2-4

### สายอากาศแคล้วลำดับปรสิต (ยา基-อุดา)

#### (Parasitic Array (Yagi-Uda) Antenna)

#### 4.1 วัตถุประสงค์

เมื่อได้ศึกษาทฤษฎีเรื่องสายอากาศแคล้วลำดับปรสิตในหน่วยนี้ ผู้ศึกษาจะมีความรู้และเข้าใจคุณลักษณะและโครงสร้างของสายอากาศแคล้วลำดับปรสิต (Parasitic Array Antennas) ชนิดยา基-อุดา (Yagi-Uda) ได้เป็นอย่างดี

#### 4.2 ทฤษฎี

สายอากาศแบบยา基 มีข้อเรียกเดิมๆ ว่าสายอากาศแบบยา基-อุดา ซึ่งตั้งชื่อตามชื่อของนักวิจัย S. Uda และศาสตราจารย์ H. Yagi ซึ่งเป็นผู้ค้นคว้าวิจัยและทำการทดลองเกี่ยวกับโครงสร้างของสายอากาศแบบแคล้วลำดับปรสิตในประเทศไทยปัจจุบันเมื่อปี พ.ศ. 2463

จากหน่วยการเรียนรู้ที่ผ่านมา ได้เคยกล่าวถึงโครงสร้างของสายอากาศที่มีการพิจารณาในลักษณะหลายองค์ประกอบ (Multiple Elements) โดยแต่ละองค์ประกอบจะมีการแข่งรูปของกระแสเป็นลักษณะเฉพาะของตัวเอง ซึ่งแบบรูปการแผ่กระจายกำลังงานของสายอากาศดังกล่าวจะเกิดจากการเสริมกันและหักล้างกันของกระแสที่กระจายอยู่ในแต่ละองค์ประกอบ

ในหน่วยที่ 5 ของบทที่ 1 ได้แสดงให้เห็นว่า การแข่งรูปของกระแสบนเส้นลวดสองเส้นที่วางอยู่ใกล้กันและขนานกัน ซึ่งประกอบขึ้นมาเป็นสายอากาศโดยโพลแบบพับนั้น จะเกิดการเสริมกันของกระแสทำให้แบบรูปการแผ่กระจายกำลังงานม่อออกไปในทิศทางที่แนวอน ส่วนในหน่วยที่ 2 ของบทที่ 2 จะแสดงให้เห็นการแข่งรูปของกระแสบนสายอากาศแบบบ่วง ซึ่งมีอยู่สองส่วนที่แตกต่างกันแต่มีความยาวในแต่ละส่วนเท่ากัน ทำให้เกิดการเสริมกันและหักล้างกันของกระแสที่เกิดขึ้นบนแต่ละส่วนของเส้นลวด ทำให้เกิดแบบรูปการแผ่กระจายกำลังงานในอีกลักษณะหนึ่ง สุดท้ายคือหน่วยที่ 3 ของบทที่ 2 เป็นการศึกษาคุณลักษณะของสายอากาศแบบเกลียว โดยได้แสดงให้เห็นผลของคลื่นจร (Traveling Wave) ซึ่งเกิดการเสริมกันจากปวงหนึ่งไปสู่อีกปวงหนึ่งของเกลียว ทำให้เกิดแบบรูปการแผ่กระจายกำลังงานที่มีคำลีนเป็นรูปดินสอ (Pencil Beam)

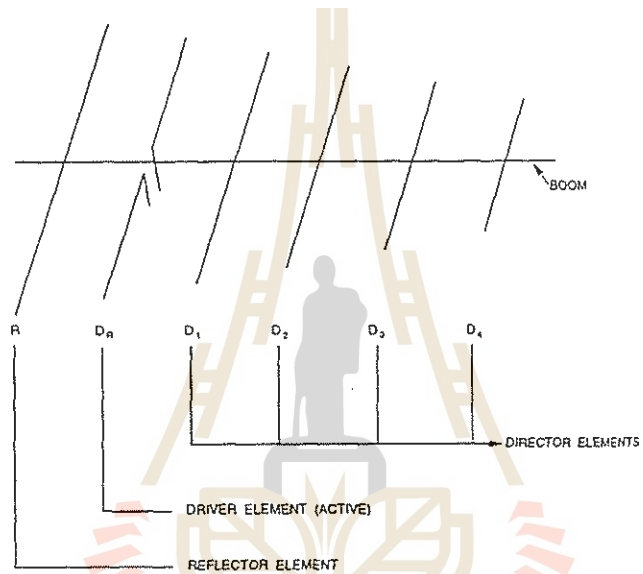
จากที่กล่าวมาทั้งหมดนี้ คือ ตัวอย่างที่เป็นผลจากแคล้วลำดับของสายอากาศแบบแอคทีฟ (Active Antenna Array Effects) ซึ่งเกิดจากองค์ประกอบของสายอากาศที่ถูกต่อเข้ากับโครงข่ายที่มีการป้อนสัญญาณชนิดเดชนิดหนึ่ง โดยที่สายอากาศหนึ่งตัวจะประกอบด้วยองค์ประกอบหลายตัววางแผนแบบออกจากกัน ซึ่งจะเรียกว่าลักษณะของการจัดองค์ประกอบแบบนี้ว่า แคล้วลำดับของสายอากาศ (Antenna Array)

การจัดองค์ประกอบของสายอากาศให้เป็นแบบแคล้วลำดับ อาจจะใช่องค์ประกอบของสายอากาศแบบปรสิต (Parasitic Antenna Elements) ซึ่งมีโครงสร้างเป็นโลหะหรือเส้นลวด แต่ไม่ได้ถูกต่อเข้ากับโครงข่ายของการป้อนสัญญาณโดยตรง ซึ่งถ้าเป็นกรณีนี้ ผลลัพธ์ที่ได้จากแคล้วลำดับจะพิจารณาในลักษณะของกระแสที่

ถูกเหนี่ยวนำซึ่งกันและกันในรูปแบบของสนามแม่เหล็กไฟฟ้าในแต่ละองค์ประกอบของสายอากาศประสิทธิ์ องค์ประกอบเหล่านี้จะถูกกระตุ้นด้วยสนามระยะใกล้ (Near-Field) ที่มีการเชื่อมร่วม (Coupling) มาจากตัวที่ทำหน้าที่เป็นองค์ประกอบตัวขับ (Driven Elements)

ตัวอย่างหนึ่งของสายอากาศแคล์ดับที่มีลักษณะนี้คือ สายอากาศที่ได้ศึกษาในหน่วยที่ 5 ของบทที่ 1 ซึ่งเป็นสายอากาศได้โพลแบบพับและนำไปติดตั้งกับเสาโลหะในแนวตั้ง ให้มีระยะห่าง  $\lambda/4$  ทำให้ค่าอัตราขยายของสายอากาศในทิศทางที่ตรงกันข้ามกับเสาโลหะซึ่งทำหน้าที่เป็นตัวสะท้อนมีค่าเพิ่มขึ้น โดยเสาโลหะนี้ ถูกจัดให้เป็นองค์ประกอบประสิทธิ์ตัวหนึ่งของสายอากาศแคล์ดับ เช่นกัน

#### 4.2.1 หลักการพื้นฐานของสายอากาศแบบยากิ



รูปที่ 4.1 ลักษณะของสายอากาศแบบยากิกขนาด 6 องค์ประกอบ

สายอากาศแบบยากิจะประกอบด้วยองค์ประกอบต่างๆ ดังนี้

- องค์ประกอบสายอากาศแยกทีฟ (Active Antenna Element) หรือองค์ประกอบตัวขับ (Driver) ซึ่งจะต่อเข้ากับโครงข่ายการป้อนสัญญาณ (Feed Network) องค์ประกอบตัวนี้อาจเป็นสายอากาศได้โพลแบบครึ่งความยาวคลื่นดังแสดงในรูปที่ 4.1 หรืออาจจะเป็นสายอากาศแบบอื่นๆ เช่น สายอากาศได้โพลแบบพับหรือแบบบ่วงก็ได้

- องค์ประกอบตัวสะท้อน (Reflector Element) จะถูกวางอยู่ที่ด้านหนึ่งขององค์ประกอบแยกทีฟโดยจะทำหน้าที่เป็นตัวสะท้อนคลื่นที่แผ่กระจายออกในทิศทางด้านหลังขององค์ประกอบแยกทีฟ ให้ย้อนกลับไปในทิศทางด้านหน้า โดยหลักการดังกล่าว เราสามารถเพิ่มจำนวนขององค์ประกอบตัวสะท้อนนี้ ให้มีจำนวนมากกว่าหนึ่งตัวก็ได้ โดยติดตั้งไว้ที่ด้านเดียวกันกับองค์ประกอบตัวสะท้อนตัวแรก และมีความยาวกับระยะ

ห่างระหว่างองค์ประกอบเท่าเดิม อย่างไรก็ตามในทางปฏิบัตินั้น การเพิ่มจำนวนขององค์ประกอบตัวสะท้อนจะให้ผลของการเพิ่มขึ้นของค่าอัตราขยายทำได้น้อยมาก ซึ่งนิยมที่จะใช้เพียงองค์ประกอบเดียวเท่านั้น

- องค์ประกอบไคเรกเตอร์ (Director Elements) จะอยู่อีกด้านหนึ่งขององค์ประกอบแยกที่ฟ จะช่วยทำให้สายอากาศมีการแผ่กระจายกำลังงานออกไปในทิศทางด้านหน้าได้มากขึ้น

องค์ประกอบตัวสะท้อนโดยทั่วไปแล้วจะหากว่าองค์ประกอบแยกที่ฟประมาณ 5% ในขณะที่องค์ประกอบไคเรกเตอร์ตัวแรกจะสั้นกว่าองค์ประกอบแยกที่ฟประมาณ 5% เท่านั้น ระยะห่างระหว่างองค์ประกอบที่เหมือนกัน ซึ่งจะทำให้เกิดค่าสภาพเฉพาะจังทิศทาง (Directivity) มีค่าสูงสุดได้นั้น ทั้งระยะห่างระหว่างองค์ประกอบตัวสะท้อนกับองค์ประกอบแยกที่ฟ จะอยู่ที่ประมาณ 0.15λ ถึง 0.25λ

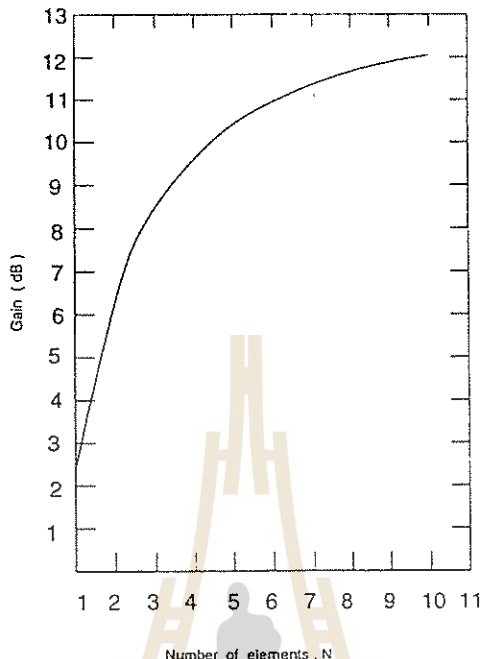
เมื่อมีองค์ประกอบไคเรกเตอร์หลายๆ ตัว ความขาวของแต่ละองค์ประกอบที่อยู่ห่างออกไปจากองค์ประกอบแยกที่ฟจะมีขนาดสั้นลงและมีระยะห่างระหว่างองค์ประกอบเพิ่มมากขึ้น ระยะห่างระหว่างองค์ประกอบตัวสะท้อนกับองค์ประกอบไคเรกเตอร์ตัวแรกจะมีความสำคัญที่สุด ในขณะเดียวกันต้องพิจารณาระยะห่างสำหรับองค์ประกอบไคเรกเตอร์ตัวอื่นๆ ด้วย ซึ่งจะมีผลต่อการแมตช์มากที่สุด อย่างไรก็ตามระยะห่างระหว่างองค์ประกอบเหล่านี้จะต้องไม่มากจนเกินไป ผลขององค์ประกอบแยกที่ฟที่มีต่องค์ประกอบปรสิตที่อยู่ใกล้กันมากๆ ก็คือ จะเกิดการเหนี่ยวนำกระแสในองค์ประกอบเหล่านี้ ดังนั้นสามารถไฟฟ้าที่เกิดขึ้นจะมีค่าแอมเพลจูดใกล้เคียงกันและมีเฟสตรงกันข้ามกับเฟสของสนามไฟฟ้าที่พุ่งมาตัดกระทน การทำจำลองตัวข้อมูลพิเศษได้แสดงให้เห็นว่าการเพิ่มความยาวขององค์ประกอบตัวสะท้อนและการลดความยาวขององค์ประกอบไคเรกเตอร์เมื่อเปรียบเทียบกับความยาวขององค์ประกอบแยกที่ฟ จะทำให้เกิดการเปลี่ยนแปลงของค่าสภาพเฉพาะจังทิศทางอย่างชัดเจน

ข้อดีของสายอากาศแคลคัมปรสิตที่สำคัญอย่างหนึ่ง ก็คือ เมื่อมีการเพิ่มจำนวนขององค์ประกอบไคเรกเตอร์มากกว่าหนึ่งตัว จะทำให้อัตราขยายของสายอากาศมีค่าเพิ่มขึ้น อย่างไรก็ตามค่าอัตราขยายนี้จะลดลงทีละน้อยเมื่อจำนวนขององค์ประกอบไคเรกเตอร์ยังมีจำนวนมากขึ้น ที่เป็นเช่นนี้เพราะว่าองค์ประกอบไคเรกเตอร์ที่เป็นปรสิตที่อยู่ห่างออกไปจากองค์ประกอบแยกที่ฟมากๆ จะเกิดการเหนี่ยวนำกระแสลดลง ผลที่ตามมาคือ จะไม่ช่วยในการเพิ่มอัตราขยายของสายอากาศมากเท่าใดนัก ดังแสดงในรูปที่ 4.2 และตารางที่ 4.1

ค่าอินพุตอิมพีเดนซ์ของสายอากาศแบบยกน้ำหนักนี้ จะเป็นฟังก์ชันของค่าอินพุตอิมพีเดนซ์ขององค์ประกอบตัวขับ (Driven Element) แต่จะได้รับผลกระทบจากการขององค์ประกอบปรสิตด้วย จากทฤษฎีของสายอากาศแคลคัมแบบไคโพล 3 องค์ประกอบ จะมีค่าอินพุตอิมพีเดนซ์ประมาณ  $25 \Omega$  การเปลี่ยนแปลงของค่าอิมพีเดนซ์จะเปรียบเท่าโครงสร้างของสายอากาศซึ่งจะมีค่าอยู่ในช่วง  $20 \Omega$  ถึง  $100 \Omega$

จากที่อธิบายมาข้างต้นจะเห็นว่า คำว่ายกน้ำหนักนี้จะเป็นการบอกถึงโครงสร้างของสายอากาศนิดหนึ่งเท่านั้นมากกว่าจะที่จะบอกรูปร่างหรือลักษณะเฉพาะตัวของสายอากาศ ซึ่งในทางปฏิบัติ สายอากาศยกน้ำหนักจะมีรูปร่างหรือลักษณะหลากหลายรูปแบบ

เนื่องจากการวิเคราะห์สายอากาศแบบด้วยวิธีเชิงวิเคราะห์ (Analytical Method) นั้น จะทำได้ก่อนข้างยาก ดังนั้นในการที่จะวิเคราะห์หรือหาค่าองค์ประกอบนและปัจจัยต่างๆ ให้เหมาะสม มักจะใช้การคำนวณเชิงเลข (Numerical Method) และการจำลองสถานการณ์ด้วยเครื่องคอมพิวเตอร์เสมอ



รูปที่ 4.2 กราฟแสดงค่าอัตราขยายเมื่อเทียบกับจำนวนขององค์ประกอบของสายอากาศแบบยกทั่วไป

ตารางที่ 4.1 อัตราขยายของสายอากาศแบบยกที่มีจำนวนขององค์ประกอบต่างกัน  
(ระยะห่างระหว่างองค์ประกอบ 0.15λ)

จำนวนองค์ประกอบ	ค่าอัตราขยาย (dB)
3	8.7
4	9.9
5	10.5
6	11.1

การใช้วิธีเชิงเลขและการทดสอบเพื่อใช้ในการศึกษาเกี่ยวกับสายอากาศกินนี้ ได้กระทำกันมาอย่างมากมา ซึ่งผลจากการศึกษาวิจัยและทดสอบ ได้มีการนำเสนอเอาไว้อย่างมากมายในรายงานการวิจัย วารสาร หนังสืออ้างอิง และคู่มือต่างๆ เป็นจำนวนมาก (ดูรายชื่องานวิจัยได้จากบรรณานุกรมของหนังสือเล่มนี้)

### 4.3 สรุป

ในหน่วยนี้ นักศึกษาได้เรียนรู้หลักการพื้นฐานและโครงสร้างของสายอากาศกิ-อุดะ ผู้ศึกษาได้เข้าใจถึงผลกระทบที่เกิดขึ้นเมื่อมีการเพิ่มจำนวนของค่าอัตราขยาย ความกว้างลำคลื่นที่กำลังลดลงครึ่งหนึ่ง (HPBW) และอัตราส่วนลำคลื่นด้านหน้าต่อด้านหลัง (F/B Ratio)

### 4.6 คำถามหลังการทดลอง

- 1) อธิบายความสัมพันธ์ระหว่างสายอากาศได้โพลแบบพับ แบบบ่วง แบบเกลียว และแบบยางกิ-อุดะ
- 2) สายอากาศแบบยางกิ ต่างจากสายอากาศที่ได้กล่าวไว้ในคำถามข้อที่ 1 อย่างไร
- 3) อธิบายวัตถุประสงค์ขององค์ประกอบแต่ละตัวของสายอากาศแบบยางกิ-อุดะ
- 4) อธิบายความสัมพันธ์ระหว่างจำนวนขององค์ประกอบกับค่าอัตราขยายของสายอากาศแบบยางกิ
- 5) ทำไมเมื่อเพิ่มจำนวนขององค์ประกอบไปเรกเดอร์ของสายอากาศยางกิให้มีจำนวนมากขึ้น แต่กลับไม่ได้ทำให้ค่าอัตราขยายของสายอากาศมากขึ้นกว่าเดิมเท่าไนก



## บทที่ 3

### สายอากาศไมโครสตริปและสายอากาศแควลำดับ (Microstrip and Array Antennas)

#### กตัญ弩

ทฤษฎีวิชาชีวกรรมสายอากาศในบทสุดท้ายนี้ จะเป็นการศึกษาลักษณะของสายอากาศแควลำดับ และเทคโนโลยีของสายอากาศไมโครสตริปซึ่งสามารถนำมาประยุกต์ใช้เป็นสายอากาศแควลำดับต่อไปได้ เช่นเดียวกัน

สายอากาศอย่างง่ายที่พัฒนาโดยทั่วไป เช่น สายอากาศไดโอล สายอักษณิดีจะมีการแจกรูปของ กระแสที่ทำให้เกิดเป็นสนามไฟฟ้าสนามเดียว ส่วนสายอักษณิดื่นๆ นั้นอาจจะมีจำนวนสนามไฟฟ้าเกิดขึ้นสองสนามหรือมากกว่าก็ได้ ซึ่งลักษณะของสนามดังกล่าวจะเกิดการเสริมกันหรือหักล้างกันในทิศทางที่ สังเกตได้ ทั้งนี้ขึ้นอยู่กับโครงสร้างของสายอักษณิดื่นๆ ด้วย ซึ่งตัวอย่างของกรณีดังกล่าว ได้แก่ สายอากาศไดโอลแบบพับ (Folded Dipole) สายอากาศแบบบ่วง (Loop Antenna) และสายอากาศแบบเกลียว (Helical Antenna) ซึ่งการเสริมกันหรือหักล้างกันของสนามดังที่กล่าวมานี้ จะมีผลโดยตรงต่อลักษณะของ แบบรูปการแผ่กระจายกำลังงานของสายอากาศ

การนำสายอากาศหลายตัวมาวางเรียงกันในรูปทรงต่างๆ เราจะเรียกว่า เป็นสายอากาศแควลำดับ (Array Antenna) ซึ่งสามารถออกแบบได้โดยอาศัยคุณลักษณะการรวมของสนามที่เกิดขึ้นจากสายอากาศแต่ละตัวที่นำมาทำเป็นแควลำดับ ซึ่งสายอากาศเหล่านี้จะประกอบด้วยสายอากาศแบบพื้นฐานที่มีลักษณะเหมือนกันมาจัดวางเรียงกัน โดยมีตำแหน่งที่แน่นอนและมีการแผ่กระจายกำลังงานออกมายังแต่ละตัว อนึ่งลักษณะ ของแบบรูปการแผ่กระจายกำลังงานของสายอากาศแควลำดับ จะมีลักษณะเฉพาะตัวซึ่งขึ้นอยู่กับแบบการจัดเรียงแควลำดับนั้นๆ ซึ่งเรียกว่า ตัวประกอบแควลำดับ (Array Factor)

ในหน่วยที่ 1 ของบทที่ 3 นี้ จะเป็นการศึกษาคุณลักษณะของสายอักษณิดีที่เรียกว่า สายอากาศแควลำดับแบบร่อง (Slot Array Antenna) ซึ่งเป็นสายอากาศพื้นฐานที่ทำจากห่อน้ำคลื่นในย่านความถี่ไมโครเวฟ นักศึกษาจะได้ทำความเข้าใจในเรื่องตัวประกอบแควลำดับที่เกิดขึ้นจากสายอักษณิดี

ในหน่วยที่ 2 จะเป็นการกล่าวถึงเทคโนโลยีของสายอากาศไมโครสตริป โดยจะทำการศึกษาสาย อักษณิดีไมโครสตริปนิคแผ่นรูปสี่เหลี่ยมนูมจาก (Rectangular Patch Antenna) แม้ว่าสายอักษณิดีจะเป็น สายอากาศแบบองค์ประกอบเดี่ยวซึ่งไม่ได้เป็นแบบแควลำดับ แต่ความสามารถที่จะพิจารณาให้เป็นสายอากาศ แควลำดับที่มีลักษณะเป็นร่องจำนวนสองร่องได้ ซึ่งเทคโนโลยีของสายอักษณิดีไมโครสตริปนี้ จะมีประโยชน์ อย่างมากในปัจจุบัน เนื่องจากสามารถสร้างได้ง่าย และมีความสะดวกมากที่จะนำมาสร้างเป็นแควลำดับ

ส่วนในหน่วยที่ 3 จะเป็นการให้ความรู้เกี่ยวกับการสร้างสายอากาศแควลำดับไมโครสตริปสองนิค ได้แก่ แควลำดับที่มีการป้อนสัญญาณไฟฟ้าแบบอนุกรม และแควลำดับที่การป้อนสัญญาณไฟฟ้าแบบขนาน ซึ่งในหน่วยนี้ จะได้นำเสนอรายละเอียดของตัวประกอบแควลำดับด้วย

## หน่วยที่ 3-1

### แคลด์บของสายอากาศ: สายอากาศแบบร่อง

#### (Antenna Arrays: The Slot Antenna)

##### 1.1 วัตถุประสงค์

เพื่อศึกษาทฤษฎีขั้นพื้นฐานของสายอากาศแบบแคลด์บ ซึ่งในหน่วยนี้จะเน้นเฉพาะการศึกษาคุณสมบัติของสายอากาศแบบแคลด์บ ที่เป็นสายอากาศแบบร่องและถูกเจาะลงบนห้องน้ำคัลล์แบบสี่เหลี่ยม

##### 1.2 หัวข้อ

###### 1.2.1 แคลด์บของสายอากาศ (Antenna Arrays)

แคลด์บของสายอากาศ (Antenna Array) หมายถึง การนำสายอากาศหลายๆ ตัวมาจัดวางเรียงกัน โดยมีระยะห่างที่แน่นอน โดยสายอากาศแต่ละตัวที่นำมาจัดเรียงให้เป็นแคลด์บนั้น จะเรียกว่า องค์ประกอบ (Element) ซึ่งการนำเอาองค์ประกอบมาจัดเรียงเป็นแคลด์บ จะให้สมรรถนะคล้ายคลึงกับสายอากาศองค์ประกอบเดียวที่มีขนาดใหญ่มาก แต่การจัดเรียงเป็นแคลด์บนั้นจะสามารถจัดปัญหาในเรื่องของกลไกต่างๆ อันเนื่องมาจากขนาดที่ใหญ่เทอะทะของสายอากาศได้

ข้อดีของการนำสายอากาศมาจัดเรียงเป็นแคลด์บ โดยการใช้สายอากาศที่มีลักษณะเหมือนกันหลายๆ องค์ประกอบแทนการใช้สายอากาศองค์ประกอบเดียว จะทำให้สามารถเพิ่มค่าสภาพเจาะจงทิศทาง และค่าอัตราขยายของสายอากาศได้ นอกจากนี้สายอากาศแบบแคลด์บยังสามารถปรับขนาดของแอมพลิจูด และเฟสของสัญญาณที่ป้อนให้แต่ละองค์ประกอบได้อีกด้วย ซึ่งทำให้สามารถปรับแบบรูปการแผ่กระจายกำลังงานให้เป็นไปตามที่เราต้องการในการใช้งานแต่ละประเภทได้ การเปลี่ยนเฟสอย่างต่อเนื่องของสายอากาศเมื่อเทียบกับเวลาจะทำให้สายอากาศสามารถควบคุมอุปกรณ์ทิศทางต่างๆ ได้ ซึ่งในกรณีนี้จะเรียกแคลด์บแบบนี้ว่า แคลด์บแบบปรับเฟส (Phased Array)

แคลด์บแบบปรับเฟส ได้ถูกนำมาประยุกต์ใช้งานได้หลายๆ ประเภท โดยเฉพาะสายอากาศที่ใช้ในงานระบบเรดาร์ การปรับเฟสของแคลด์บจะใช้วิธีการปรับเฟสโดยอาศัยวงจรอิเล็กทรอนิกส์ ซึ่งถูกควบคุมด้วยคอมพิวเตอร์อีกรอบหนึ่ง เพื่อปรับเฟสให้มีผลทำให้ทิศทางการแผ่กระจายกำลังงานสามารถควบคุมไปยังตำแหน่งต่างๆ ได้อย่างรวดเร็ว

เราสามารถแบ่งการจัดเรียงองค์ประกอบของแคลด์บตามรูปร่าง ได้หลายประเภท เช่น แคลด์บแบบเชิงเส้น (Linear Array) จะประกอบไปด้วยองค์ประกอบจำนวนมากที่จัดเรียงกันอย่างสมมาตรเมื่อเทียบกับจุดศูนย์กลางของแคลด์บในแนวเส้นตรง ซึ่งอาจจะมีระยะห่างขององค์ประกอบห่างเท่ากันหรือไม่เท่ากัน ก็ได้ ประเภทต่อไปก็คือ แคลด์บเชิงระนาบ (Planar Array) จะเป็นการจัดเรียงองค์ประกอบในลักษณะสองมิติบนผืนกระดาษ ซึ่งการจัดเรียงแคลด์บในลักษณะนี้ อาจจัดเรียงในลักษณะของสี่เหลี่ยมนูนจากหรือรูปปั่ว

กลุ่มก็ได้โดยขึ้นอยู่กับพื้นที่ที่มีอยู่ เมื่อพื้นที่ที่ใช้ในการจัดเรียงแฉลิดันมีลักษณะไม่แบบราบ เช่น ที่ส่วนหัวของจรวดหรือเครื่องบิน การจัดเรียงแฉลิดันก็จะต้องมีรูปร่างเป็นไปตามลักษณะของพื้นที่ดังกล่าวด้วย แฉลิดันแบบนี้จะถูกเรียกว่า แฉลิดันแบบคงรูป (Conformal Array)

ถ้าทิศทางของการแผ่กระจายกำลังงานสูงสุดมีทิศทางตั้งฉากหรือเกือบจะตั้งฉากกับเส้นหรือระนาบของแฉลิดัน แฉลิดันแบบนี้จะมีชื่อเรียกเฉพาะว่า แฉลิดันแบบบรรด้ไซด์ (Broadside Array) แต่ถ้าทิศทางในการแผ่กระจายกำลังงานสูงสุดมีทิศทางที่ขนานกับระนาบของแฉลิดัน จะมีชื่อเรียกเฉพาะว่า แฉลิดันแบบเอนด์ไฟร์ (End-fire Array)

### 1.2.2 ตัวประกอบแฉลิดัน (Array Factor)

แบบรูปการแผ่กระจายกำลังงานของสายอากาศแฉลิดันจะขึ้นอยู่กับตัวประกอบที่แตกต่างกันบางตัวประกอบ ได้แก่ ชนิดขององค์ประกอบที่ใช้ และการวางตัวขององค์ประกอบในแฉลิดัน ซึ่งถือว่าเป็นส่วนเฉพาะขององค์ประกอบ ดังนั้นจึงมีผลกระทบโดยตรงต่อแบบรูปการแผ่กระจายกำลังงานเฉพาะของแต่ละองค์ประกอบเท่านั้น ตัวประกอบด้วยอื่นๆ จะเป็นลักษณะการจัดเรียงตัวของแฉลิดันนั่นก็อ จำนวนองค์ประกอบของแฉลิดัน ตำแหน่งขององค์ประกอบ รวมทั้งขนาดแอมพลิจูดและเฟสของกระแสที่ป้อนให้กับองค์ประกอบนั้นๆ

เพื่อความสะดวกในการวิเคราะห์ปัญหาในทางทฤษฎีของแฉลิดันที่กำหนดในเบื้องต้น เราจะไม่พิจารณาผลของแบบรูปการแผ่กระจายกำลังงานที่แผ่กระจายออกมาจากแต่ละองค์ประกอบ เนื่องจากต้องการพิจารณาเฉพาะผลที่เกิดจากการจัดเรียงตัวของแฉลิดันเท่านั้น ซึ่งสามารถทำได้โดยการพิจารณาให้แต่ละองค์ประกอบที่นำมาทำเป็นแฉลิดันเป็นตัวแผ่กระจายคลื่นแบบไอโซทรอปิก (Isotropic Radiator) ที่เป็นมีลักษณะจุด ดังนั้นแบบรูปการแผ่กระจายกำลังงานที่แผ่กระจายออกมาจากแฉลิดันที่มีองค์ประกอบเป็นแหล่งกำเนิดชนิดจุดแบบไอโซทรอปิก จะเรียกว่า ตัวประกอบแฉลิดัน (Array Factor) ของแฉลิดันภายใต้การวิเคราะห์ ดังนั้นการเปลี่ยนแปลงตัวประกอบแฉลิดันซึ่งมีผลกระทบต่อแบบรูปการแผ่กระจายกำลังงานสามารถทำได้เพียงแค่การเปลี่ยนแปลงรูปร่างหรือลักษณะของแฉลิดันเท่านั้น

เมื่อหากำตัวประกอบแฉลิดันได้แล้ว ต่อไปจะพิจารณาแบบรูปการแผ่กระจายกำลังงานเฉพาะของแต่ละองค์ประกอบ จากนั้นแบบรูปการแผ่กระจายกำลังงานทั้งหมดของแฉลิดันจะสามารถหาได้โดยใช้หลักการคูณแบบรูปการแผ่กระจายกำลังงาน (Pattern Multiplication) ซึ่งเป็นการคูณกันระหว่างแบบรูปการแผ่กระจายกำลังงานของแต่ละองค์ประกอบกับตัวประกอบแฉลิดัน ตัวอย่างเช่น ถ้าเราพิจารณาสายอากาศแบบร่องบันท่อน้ำคลื่นซึ่งประกอบด้วยร่องจำนวน 6 ร่อง ซึ่งมีระยะห่างระหว่างร่องเท่ากับ  $\lambda/2$  และมีการแผ่กระจายกำลังงานที่มีขนาดและเฟสเท่ากัน ดังนั้นแบบรูปการแผ่กระจายกำลังงานทั้งหมดจะเท่ากับ

แบบรูปการแผ่กระจายกำลังงานของสายอากาศแบบร่องบันท่อน้ำคลื่นที่ประกอบด้วยร่องจำนวน 6 ร่อง	=	แบบรูปการแผ่กระจายกำลังงานของแต่ละองค์ประกอบ	×	ตัวประกอบแฉลิดันสำหรับ 6 องค์ประกอบที่วางห่างกัน $\lambda/2$ และมีการแผ่กระจายกำลังงานที่มีขนาดและเฟสเท่ากัน
---	---	--	---	--

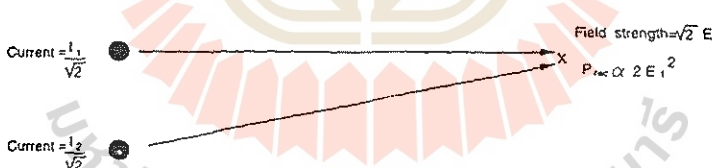
ตัวประกอบแผลวัดสำนักในกรณีจะเป็นแบบรูปการแผ่กระจายกำลังงานของสายอากาศแบบไอโซทรอปิก 6 ตัว ซึ่งวางห่างกัน  $\lambda/2$  และแผ่กระจายคลื่นทั่วขนาดและเพสเท่ากัน

### 1.2.3 ค่าอัตราขยายของสายอากาศแผลวัดสำนัก (Gain of Array Antennas)

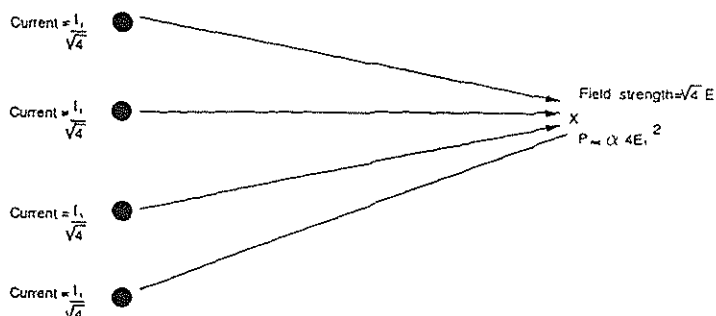
ค่าสภาพเฉพาะจังทิศทางรวมทั้งค่าอัตราขยายเชิงกำลังงานของสายอากาศแผลวัดสำนัก มักจะมีค่ามากกว่ากรณีของสายอากาศองค์ประกอบเดี่ยว ซึ่งคุณสมบัตินี้มีประโยชน์อ่อนมากทั้งในการส่งและรับสัญญาณ ใน การส่งสัญญาณนั้น สายอากาศที่มีสภาพเฉพาะจังทิศทางที่ดีจะสามารถรวมกำลังงานให้อยู่ในทิศทางใดทิศทางหนึ่งมากกว่าทิศทางอื่นๆ ได้ ซึ่งให้ผลเสมอว่าเกิดการเพิ่มกำลังงานให้กับจุดนั้นๆ ของเครื่องส่ง ส่วนทางด้านรับ สายอากาศจะทำหน้าที่เสมือนว่าเลือกรับคลื่นที่เข้ามาในทิศทางที่เจาะจง โดยจะไม่เลือกรับสัญญาณที่เราไม่ต้องการรวมทั้งการแทรกสอดจากทิศทางอื่นๆ

เพื่อความเข้าใจเกี่ยวกับการเพิ่มค่าอัตราขยายของสายอากาศแผลวัดสำนัก ในเบื้องต้นจะพิจารณาองค์ประกอบเดี่ยวของสายอากาศไอโซทรอปิกซึ่งมีการแผ่กระจายกำลังงานด้วยกำลังงาน  $P_1$  ดังแสดงในรูปที่ 1.1 โดยกระแสในองค์ประกอบของสายอากาศนี้มีค่า  $I_1$  ณ จุดที่ใกล้ออกไปกำหนดให้เป็นจุด  $X$  ค่ากระแสจะสร้างความเข้มของสนาม (ศักดิ์ไฟฟ้า) เป็น  $E_1$  ซึ่งค่านี้จะเป็นสัดส่วนโดยตรงกับกระแสในองค์ประกอบของสายอากาศ

รูปที่ 1.1 สายอากาศองค์ประกอบเดี่ยวที่มีการส่งกำลังงาน  $P_1$



รูปที่ 1.2 สายอากาศซึ่งมีสององค์ประกอบที่มีการส่งกำลังงาน  $P_1$



รูปที่ 1.3 สายอากาศซึ่งมีสี่องค์ประกอบที่มีการส่งกำลังงาน  $P_1$

ค่ากำลังงานที่รับได้โดยสายอากาศที่จุด  $X$  จะเป็นสัดส่วนโดยตรงกับกำลังสองของความเข้มสนามทั้งหมด  $E_T$  ที่จุดนั้น ก่อlawคือ

$$P_{rec} \propto E_T^2 = E_1^2 \quad (1.1)$$

ต่อไปจะแทนองค์ประกอบเดียวด้วยสายอากาศนิดเดียวตามด้านซ้ายของค่ากำลัง  $P_1$  ซึ่งประกอบด้วยองค์ประกอบไอโซทรอนิกที่มีลักษณะเหมือนกัน 2 องค์ประกอบ และมีการแบ่งระหว่างกำลังงานด้วยกำลังงานที่เท่ากันทั้งหมดคือ  $P_1$  ดังแสดงในรูปที่ 1.2 ค่ากำลังงานที่แบ่งระหว่างกำลังงานด้วยกำลังงานที่เท่ากันทั้งหมด  $P_1/2$  แต่เนื่องจากค่าของกระแสจะเป็นสัดส่วนโดยตรงกับรากที่สองของกำลังงาน ดังนั้นกระแสที่เกิดขึ้นในแต่ละองค์ประกอบจะเท่ากับ  $I_1/\sqrt{2}$

ความเข้มของสนามที่จุด  $X$  ซึ่งถูกสร้างขึ้นมาจากการแบ่งขององค์ประกอบจะเป็นสัดส่วนโดยตรงกับกระแสในองค์ประกอบนั้น ดังนั้นความเข้มของสนามที่จุด  $X$  จากแต่ละองค์ประกอบจะเท่ากับ  $E_1/\sqrt{2}$  และถ้าค่าส่วนของทั้งสององค์ประกอบมาถึงที่จุด  $X$  โดยมีไฟส่องกันอย่างสมบูรณ์ ความเข้มของสนามทั้งหมด  $E_T$  ที่จุด  $X$  จะเป็นผลรวมของความเข้มของสนามดังนี้

$$E_T = \frac{2E_1}{\sqrt{2}} = \sqrt{2}E_1 \quad (1.2)$$

กำลังงานทั้งหมดที่รับได้จะเท่ากับ

$$P_{rec} \propto E_T^2 = (\sqrt{2}E_1)^2 = 2E_1^2 \quad (1.3)$$

เมื่อเปรียบเทียบระหว่างสมการ (1.1) และสมการ (1.3) จะเห็นว่ากำลังสองของค่าความเข้มของสนามทั้งหมด ( $E_T^2$ ) ที่จุด  $X$  จะมีค่าเป็นสองเท่า ด้วยเหตุผลนี้สามารถแสดงได้ว่าค่ากำลังงานที่รับได้ที่จุด  $X$  ก็จะมีค่าเป็นสองเท่า ดังนั้นเมื่อใช้เวลาเดียวที่มีองค์ประกอบสององค์ประกอบแทนองค์ประกอบเดียวจะทำให้ได้ค่าอัตราขยายเชิงกำลังงานมีค่าเป็นสองเท่า

สมมติว่าเราเพิ่มจำนวนองค์ประกอบของแต่ละด้านเป็นสองเท่าดังแสดงในรูปที่ 1.3 ก็จะได้ผลลัพธ์ที่มีขนาด 4 องค์ประกอบ ซึ่งทำหน้าที่ในการแบ่งระหว่างกำลังงานทั้งหมดเป็น  $P_1$  กระแสในแต่ละองค์ประกอบจะมีค่าเป็น  $I_1/\sqrt{4}$  ดังนั้นความเข้มของสนามที่ถูกสร้างขึ้นจากแต่ละองค์ประกอบที่จุด  $X$  จึงกลายเป็น  $E_1/\sqrt{4}$

ความเข้มของสนามทั้งหมด  $E_T$  ที่เกิดจากแต่ละด้านซึ่งประกอบด้วย 4 องค์ประกอบจะเท่ากับ

$$E_T = \frac{4E_1}{\sqrt{4}} = \sqrt{4}E_1 \quad (1.4)$$

และกำลังงานทั้งหมดที่รับได้จะมีค่าเท่ากับ

$$P_{rec} \propto E_T^2 = (\sqrt{4}E_1)^2 = 4E_1^2 \quad (1.5)$$

ดังนั้นค่าของ  $E_T^2$  และค่ากำลังงานที่รับได้ทั้งหมดก็จึงมีค่าเป็นสองเท่า

ความสัมพันธ์ที่กล่าวมาทั้งหมดในด้วอย่างจะถูกพิจารณาภายใต้เงื่อนไขดังต่อไปนี้

1. องค์ประกอบของสายอากาศทุกด้วยต้องมีลักษณะเหมือนกันและมีกระแสเท่ากัน
2. สนามที่แผ่กระจายออกจากองค์ประกอบของสายอากาศทั้งหมดจะต้องมีเฟสตรงกันที่จุดรับ
3. กระแสที่เหนี่ยวนำในแต่ละองค์ประกอบจะไม่ถูกนำมายิงณา

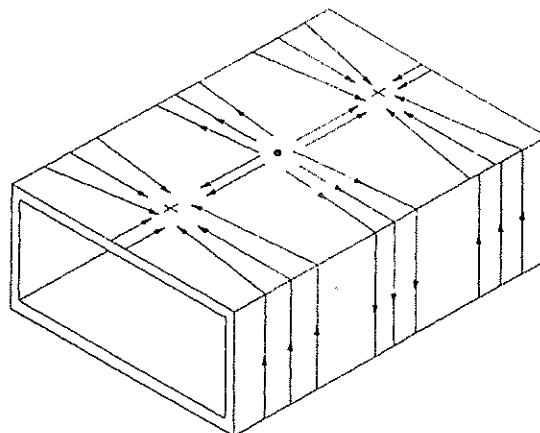
เงื่อนไขที่สองจะเป็นจริงได้ถ้าไฟส่องกระแสแต่ละองค์ประกอบเท่ากัน และจุดสังเกต  $X$  ซึ่งไปในทิศทางที่ตั้งฉากโดยตรงกับสายอากาศแต่ละด้าน และให้สมมุติว่าที่สนามระยะใกล้ซึ่งมีระยะห่างจากจุด  $X$  ของทุกองค์ประกอบมีค่าเท่ากัน ส่วนเงื่อนไขที่สามจะขึ้นอยู่กับระยะห่างระหว่างองค์ประกอบเป็นสำคัญ

สำหรับสายอากาศแต่ละด้านในทางปฏิบัติ เงื่อนไขเหล่านี้จะเป็นเพียงการประมาณเห็นนั้น แม้ว่าการสูญเสียซึ่งเกิดจากการป้อนสัญญาณและจากตัวประกอบอื่นๆ จะมีส่วนในการจำกัดการเพิ่มขึ้นของค่าอัตราขยาย แต่อย่างไรก็ตามคุณสมบัติเหล่านี้จะดีขึ้นเมื่อจำนวนองค์ประกอบของสายอากาศเพิ่มขึ้น โดยทั่วไปพบว่าค่าอัตราขยายของแต่ละด้านจะเพิ่มขึ้นเป็นสองเท่า (เพิ่มขึ้นประมาณ 3 dB) ทุกๆ ครั้งที่จำนวนองค์ประกอบเพิ่มขึ้นเป็นสองเท่าเข่นกัน โดยที่ระยะห่างระหว่างองค์ประกอบถูกกำหนดไว้ให้คงที่

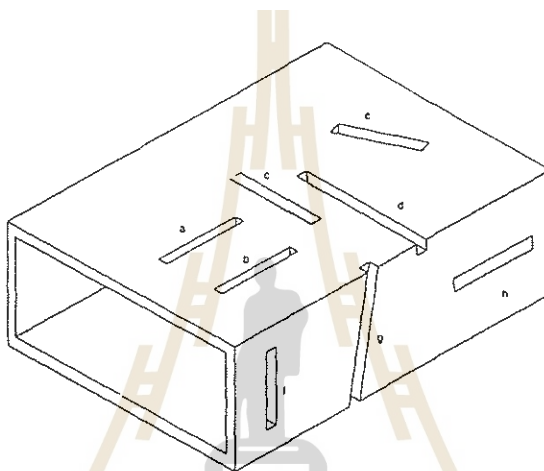
### 1.3 สายอากาศแบบร่อง (The Slot Antenna)

อิกวิธีการหนึ่งในการสร้างแต่ละด้านก็คือโดยการตัดร่องแบบอนุกรมบนท่อนำคลื่นซึ่งเรียกว่า สายอากาศแบบร่อง (Slot Antenna) หรือสายอากาศแบบร่องบนท่อนำคลื่น (Slotted Waveguide Antenna) ซึ่งมีการประยุกต์ใช้งานในหลายแบบ เช่น ในเรดาร์ และการสื่อสารไมโครเวฟ เพราะว่าสายอากาศชนิดนี้มีข้อดีที่น้ำหนักเบาและมีขนาดเล็ก

ร่องที่เจาะบนผนังของท่อนำคลื่น โดยปกติจะไปขัดขวางการไหลของกระแสบนผนังของท่อนำคลื่นและเกิดการเหนี่ยวนำให้เกิดสนามไฟฟ้าขึ้น ซึ่งจะแผ่กระจายเป็นคลื่นความถี่วิทยุต่อไป ขนาดและเพสของกำลังงานที่แผ่กระจายออกไปนั้น สามารถหาได้จากขนาดมิติของท่อนำคลื่น และการจัดเรียงตำแหน่งของร่อง ดังรูปที่ 1.4 แสดงถึงการไหลของกระแสที่ผนังของท่อนำคลื่น ส่วนรูปที่ 1.5 แสดงลักษณะที่เป็นไปได้ทั้งหมดของตำแหน่งของร่อง ซึ่งตำแหน่งของร่องที่มีการใช้งานมากที่สุด คือร่อง  $b$  (ร่องที่เจาะบนผนังด้านกว้างของท่อนำคลื่น) และร่อง  $g$  (เป็นร่องที่เจาะเอียงบนผนังด้านแคบของท่อนำคลื่น) และร่อง  $e$  (เป็นร่องที่เจาะเอียงบนผนังด้านกว้างของท่อนำคลื่น)



รูปที่ 1.4 การไหลของกระแสบนผนังห้องนำคลื่น



รูปที่ 1.5 ร่องบนผนังห้องนำคลื่น

จากรูปที่ 1.4 และ 1.5 จะเห็นว่าร่อง  $c$ ,  $d$  และ  $e$  จะถือว่าเป็นร่องที่วางในแนวอนุกรมในห้องนำคลื่น เพราะว่าร่องเหล่านี้จะไปตัดกับกระแสในแนวยาวของผนังห้องนำคลื่น ส่วนร่อง  $b$ ,  $g$  และ  $h$  จะไปตัดกับกระแสในแนววางซึ่งนานกับผนังห้องนำคลื่น และร่อง  $a$  และ  $f$  จะไม่มีการตัดกับกระแส ดังนั้นจึงไม่มีการแผ่กระจายกำลังงานออกมานอกจากความยาวของผนังห้องนำคลื่น (โดยทั่วไปประมาณ  $0.47\lambda_g$  โดยที่  $\lambda_g$  เป็นความยาวคลื่นของคลื่นที่เดินทางในห้องนำคลื่น) ร่องคงกล่าวจะทำให้เกิดการเรโซแนนซ์ (Resonant) และให้ผลลัพธ์เมื่อันกับการแผ่กระจายกำลังงานออกจากการสาขากลับนิดเส้นคลื่นที่ยาวครึ่งหนึ่งของความยาวคลื่น โดยร่องโดยทั่วไปจะมีรูปทรงเป็นสี่เหลี่ยมนูนๆ ซึ่งเราจะถือว่าทิศทางของสนามไฟฟ้าจะมีเฉพาะในทิศทางตลอดทางด้านกว้างของร่องเท่านั้น

ถ้าลำดับที่มีองค์ประกอบของห่างกัน  $\lambda_g/2$  จะเรียกว่า ถ้าลำดับเรโซแนนซ์ (Resonant Arrays) เนื่องจากระยะห่างที่เป็นพังก์ชันของความยาวคลื่น ถ้าลำดับเรโซแนนซ์จะมีความกว้างແບ蔻ความถี่ที่ใช้งานแคนมาก ซึ่งถ้าลำดับเรโซแนนซ์นี้จะมีลักษณะที่ไม่เกี่ยวข้องกับร่องที่เรโซแนนซ์แต่ประการใด เป็นเนื้องจากในทางปฏิบัติร่องที่ใช้งานจริงจะเป็นร่องที่เรโซแนนซ์เท่านั้น

ลักษณะที่สำคัญอีกประการหนึ่ง ก็คือ สายอากาศแบบร่องมักจะถูกัดด้วยหัวที่ปลายด้านหนึ่งด้วยการปิดด้วยแผ่นตัวนำ หรืออาจจะถูกตัดด้วยโลหดที่ออกแบบมาให้สร้างคลื่นนิ่งที่มีกระแสสูงสุดที่แต่ละร่อง ซึ่งการกระทำดังกล่าวนี้ จะทำให้เกิดค่าการแผ่กระจายกำลังงานสูงสุดออกมายาวกว่างานเดียว

สายอากาศแบบร่องที่ใช้ในการปฏิบัติการจะเป็นชนิดที่เรียกว่า แควลำดับแบบคลื่นนิ่ง (Standing Wave Array) ซึ่งหมายความว่าเป็นแควลำดับที่ถูกปิดปลายท่อน้ำકลื่นด้วยการลดด้วยหัวที่กระทำดังกล่าวที่ดีที่สุด การลดด้วยหัวที่กระทำที่ระบบ  $d = \lambda_g / 4 + n\lambda_g / 2$  โดยที่ความถี่ปฏิบัติการ 10 GHz จะมี  $\lambda_g = 3.6455$  ซม. ซึ่งความยาวคลื่นของคลื่นที่เดินทางในห่อน้ำคือ  $\lambda_g / 4$  ได้ถูกกำหนดโดยสมการ

$$\lambda_g = \frac{\lambda}{\sqrt{1 - (f_c - f)^2}} \quad (1.6)$$

โดยที่  $\lambda$  เป็นความยาวคลื่นของคลื่นในช่องว่างอิสระ

$f$  เป็นความถี่ของสัญญาณ

$f_c$  เป็นความถี่คัดอุฟของห่อน้ำคือ (สำหรับห่อน้ำคือ WR-90,  $f_c = 6.557$  GHz)

## 1.4 สรุป

จากที่ศึกษาผ่านมาทั้งหมดในหน่วยนี้ ผู้ศึกษากำเนิดเข้าใจโครงสร้างและคุณลักษณะที่สำคัญของสายอากาศชนิดร่องแควลำดับ ได้เรียนรู้เกี่ยวกับตำแหน่งของจุดลักษณะของสายอากาศชนิดร่องแควลำดับแบบคลื่นนิ่ง ค่าอัตราขยายของสายอากาศชนิดนี้ และเกิดความเข้าใจในหน้าที่การทำงานของสายอากาศแควลำดับให้มากขึ้น

## 1.7 คำถามหลังปฏิบัติการ

- 1) จงอธิบายความหมายขององค์ประกอบแควลำดับมาพอสั้นๆ
- 2) ตัวประกอบแควลำดับของสายอากาศสามารถคำนวณหาได้อย่างไร
- 3) ถ้าเราต้องการเพิ่มค่าอัตราขยายของสายอากาศแควลำดับที่ประกอบด้วย 6 องค์ประกอบขึ้นไปอีกประมาณ 6 dB นักศึกษาจะต้องเพิ่มจำนวนองค์ประกอบเข้าไปอีกเป็นจำนวนเท่าไร
- 4) จงอธิบายการทำงานของสายอากาศแบบร่องของสายอากาศโดยย่อ
- 5) จากทฤษฎีจะเห็นได้ว่าตำแหน่งของร่องควรจะอยู่ที่บริเวณใด จึงจะทำให้เกิดการแผ่กระจายกำลังงานมากที่สุด

## หน่วยที่ 3-2

### เทคโนโลยีของสายอากาศไมโครสตริป: สายอากาศแพทช์รูปสี่เหลี่ยมมุนจาก

#### (Microstrip Technology: The Rectangular Patch Antenna)

## 2.1 วัตถุประสงค์

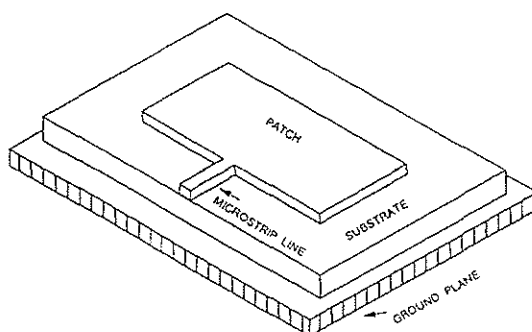
สำหรับเนื้อหาในหน่วยนี้ มีวัตถุประสงค์เพื่อต้องการให้ผู้ศึกษาได้เข้าใจคุณสมบัติของสายอากาศแบบแพทช์และเทคโนโลยีของไมโครสตริปที่จะใช้ในการนำมาสร้างสายอากาศแบบแพทช์

## 2.2 ทฤษฎี

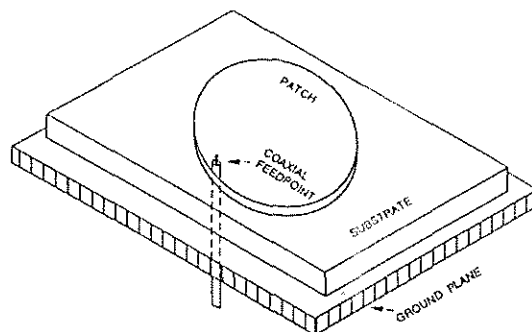
### 2.2.1 เทคโนโลยีของสายอากาศไมโครสตริป (Microstrip Antenna Technology)

สายอากาศไมโครสตริป (Microstrip Antenna) จะประกอบไปด้วยส่วนที่เป็นแผ่นหรือที่เรียกว่า แพทช์ (Patch) ซึ่งเป็นตัวนำ โดยทั่วไปจะมีรูปร่างเป็นสี่เหลี่ยมมุนจากหรือวงกลม ซึ่งถูกแยกออกจากกันด้วย แผ่นระนาบกราวด์ที่มีความบาง (เป็นเศษส่วนของความยาวคลื่น) และมีลักษณะเป็นชั้นหรือที่เรียกว่าเป็น ชั้นสเตรท (Substrate) ของสาร ไดอิเล็กทริก ในไมโครสตริปได้รับความนิยมอย่างมากในการใช้งาน เนื่องจากมี ลักษณะแบบรูป ไม่ต้านลม และสามารถติดกับผิวของยานพาหนะได้ นอกจากนี้ยังมีข้อดีในเรื่องของราคาถูก น้ำ หนักเบา และมีความสะดวกในการสร้างและการติดตั้ง แต่จะมีผลเสียคือในเรื่องของขนาดที่ต้องมีความยุ่งยาก เช่น กัน

รูปที่ 2.1 และรูปที่ 2.2 แสดงสายอากาศไมโครสตริปแพทช์รูปสี่เหลี่ยมมุนจากและรูปวงกลม ซึ่งสาย อากาศดังกล่าวมีความสะดวกในการสร้างลงในแผ่นวงจรพิมพ์ (Printed-Circuit Board) โดยที่แพทช์จะถูกวาง ไว้ที่ด้านหนึ่งของแผ่นวงจรพิมพ์ และอีกด้านหนึ่งจะทำหน้าที่เป็นแผ่นกราวด์ ดังแสดงในรูปที่ 2.1 เป็น แพทช์รูปสี่เหลี่ยมมุนจาก โดยลัญญาณความถี่วิทยุจะถูกป้อนเข้าที่สายป้อนลัญญาณที่เป็นสตริปโลหะแคบๆ ในรูปที่ 2.2 แสดงแพทช์รูปวงกลมที่ป้อนด้วยด้านนำผ่านช่องในระนาบกราวด์ ซึ่งการป้อนลัญญาณใน ลักษณะนี้จะเรียกว่าการเชื่อมต่อแบบช่องเปิด (Aperture Coupling) ผ่านช่องเปิดเดียว ในระนาบกราวด์

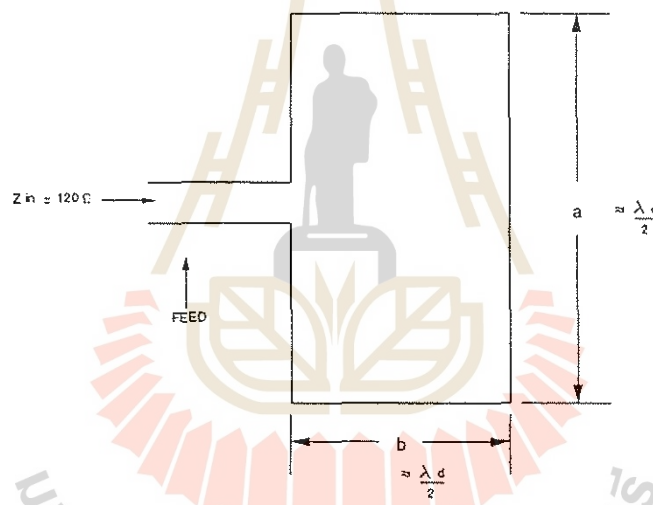


รูปที่ 2.1 แพทช์ของไมโครสตริปที่ป้อนผ่านสายนำลัญญาณในไมโครสตริป



รูปที่ 2.2 สายอากาศไมโครสตริปปุ่งกลมที่มีการป้อนกระแส  
ผ่านสายนำสัญญาณไมโครสตริป

สำหรับสายอากาศไมโครสตริปนี้ ความแม่นยำของค่าคงที่ไดอิเล็กตริกของชั้บสเตรทถือว่ามีความสำคัญมาก เพราะเป็นพารามิเตอร์ที่มีผลต่อค่าคงที่ของการเดินทางของคลื่น ความถี่เรโซแนนซ์ และคุณลักษณะการแผ่กระจายคลื่นของสายอากาศ



รูปที่ 2.3 สายอากาศไมโครสตริปพื้นฐานรูปสี่เหลี่ยมนูนจาก

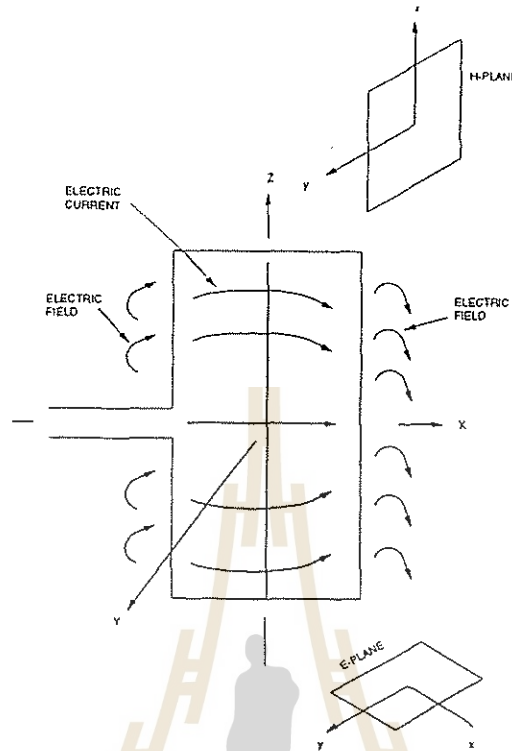
### 2.2.2 คุณลักษณะของแพทช์รูปสี่เหลี่ยมนูน (Characteristics of a Rectangular Patch)

รูปที่ 2.3 แสดงมิติพื้นฐานของสายอากาศไมโครสตริปซึ่งเป็นแพทช์รูปสี่เหลี่ยมนูนจาก โดยค่าความกว้างของสายอากาศจะเป็นพังก์ชันของความยาว  $a$  โดยที่ความถี่เรโซแนนซ์จะเป็นพังก์ชันของความยาว  $b$  ซึ่งความยาว  $b$  จะถูกกำหนดโดย

$$b = 0.49\lambda_d = 0.49 \frac{\lambda_0}{\sqrt{\epsilon_r}} \quad (2.1)$$

โดยที่  $\lambda_d$ ,  $\lambda_0$  คือ ความยาวคลื่นในสาร ไดอิเล็กตริกและในอากาศอิสระ ตามลำดับ  
 $\epsilon_r$  คือ ค่าคงที่ไดอิเล็กตริกสัมพัทธ์ ของชั้บสเตรท

เนื่องจากการแพร่พันของค่าคงที่ไดอิเล็กทริกและค่าความนำของตัวป้อนสัญญาณ การทดสอบเพื่อหาความยาวที่แท้จริงของแพทช์ซึ่งเป็นสิ่งจำเป็นอย่างยิ่ง



รูปที่ 2.4 กระแสไฟฟ้าและลักษณะเส้นแรงไฟฟ้าที่เกิดขึ้นบนแพทช์

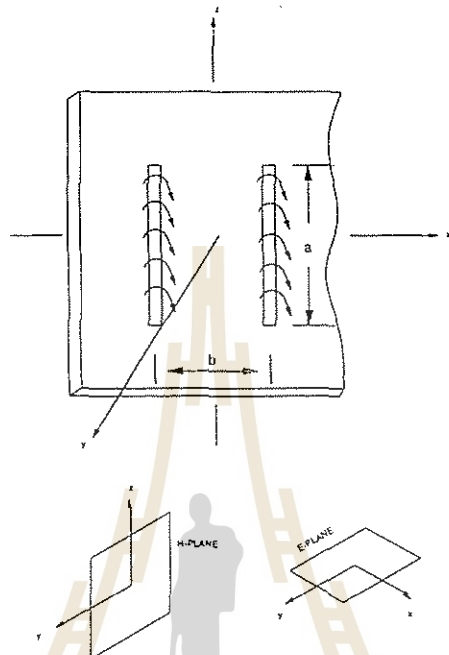
ในรูปที่ 2.4 เป็นการแสดงกระแสไฟฟ้าและเส้นแรงของสนามไฟฟ้าภายในและบริเวณรอบๆ แพทช์ โดยปกติสนามไฟฟ้าที่บริเวณขอบของแพทช์ที่ถูกต่อด้วยสายนำสัญญาณและด้านตรงข้ามขอบซึ่งมีผลต่อคุณสมบัติการแผ่กระจายคลื่นของสายอากาศ คลื่นที่แผ่กระจายจากสายอากาศในรูปที่ 2.4 จะมีการโพลาไรซ์ในแนวอน ซึ่งระนาบของสนามไฟฟ้า (ระนาบ x-y) จะมีทิศทางในแนวอน และระนาบของสนามแม่เหล็ก (ระนาบ y-z) จะมีทิศทางในแนวตั้ง

ระยะห่าง  $b$  ซึ่งเป็นระยะของขอบห้องส่องด้านของแพทช์จะมีค่าประมาณครึ่งหนึ่งของความยาวคลื่นที่เดินทางภายในสารไดอิเล็กทริก ( $0.49\lambda_d$ ) ซึ่งที่ระยะห่างขนาดนี้จะมีผลทำให้ร่องท่อญี่ปุ่นร่องข้ามมีการป้อนไฟฟ้าที่ตรงกันข้าม อย่างไรก็ตามสนามไฟฟ้าที่แผ่กระจายออกมานั้นประกอบทั้งสองจะมีการเสริมกันเนื่องจากไฟฟาระบกัน ทำให้ทิศทางการแผ่กระจายคลื่นออกมาในทิศตั้งฉากกับองค์ประกอบ (มีทิศทางบรรด้วยในทิศทาง y)

### 2.2.3 แบบรูปการแผ่กระจายคลื่นของสายอากาศแบบร่องสองร่องบนท่อนำคลื่น

(Radiation Pattern for an Array of Two Waveguide Slots)

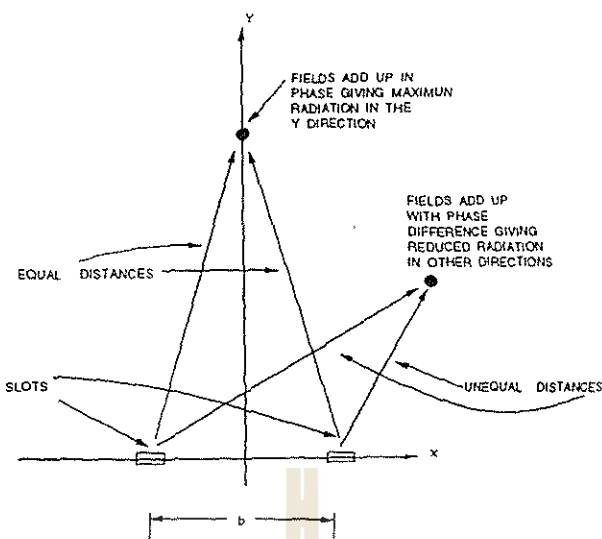
มีวิธีที่จะช่วยในการคำนวณคุณลักษณะของสายอากาศแบบแพทช์รูปสี่เหลี่ยมนั้นๆ ได้อีกตัวอย่างหนึ่ง คือ การนำร่องสองร่องบนท่อนำคลื่นมาใช้ในการคำนวณคุณลักษณะของสายอากาศแบบแพทช์รูปที่ 2.3 กับสายอากาศแบบร่องสองร่องบนท่อนำคลื่นในรูปที่ 2.5



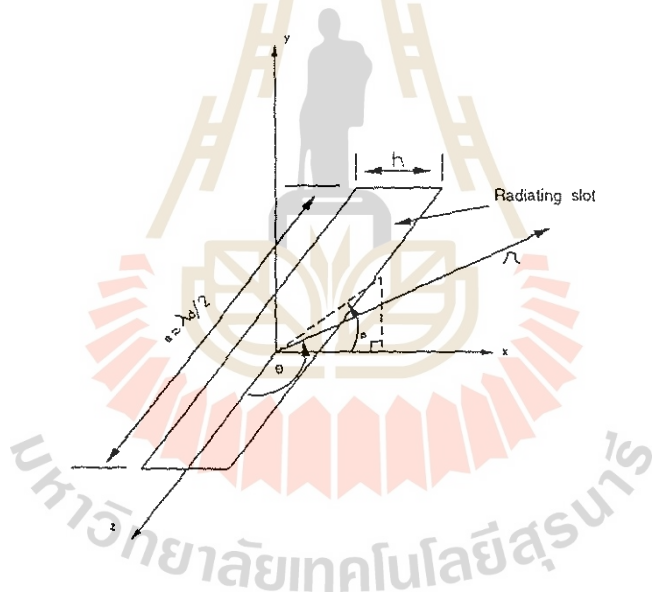
รูปที่ 2.5 ร่องสองร่องที่ขานนกันบนท่อนำคลื่น

เพื่อจะคำนวณคุณลักษณะของสายอากาศแบบร่องสองร่องบนท่อนำคลื่นในรูปที่ 2.5 จะมีลักษณะที่สมมูลกับสายอากาศแพทช์ในรูปที่ 2.3 ดังนี้ แบบรูปการแผ่กระจายคลื่นของทั้งสองจึงมีลักษณะเหมือนกัน

เพื่อความเข้าใจในแบบรูปการแผ่กระจายคลื่นของสายอากาศนิดเดียว ร่องสองร่องบนท่อนำคลื่นที่มีระยะห่างระหว่างร่องเท่ากับ  $b$  และสนามไฟฟ้าที่แผ่กระจายมาจากร่องทั้งสองนั้นจะมีเฟสตรงกัน ลักษณะการกระจายของสนาม ได้แสดงไว้ในรูปที่ 2.6 ณ ที่จุดใดๆ บนแกน  $y$  ระยะทางจากแต่ละร่องจะมีค่าเท่ากัน ดังนั้นสนามจากร่องทั้งสองจะมีการเสริมกันที่บริเวณระยะไกล เพราะมีเฟสตรงกัน ซึ่งจะทำให้เกิดการกระจายคลื่นสูงสุด ส่วนในทิศทางอื่นๆ ระยะจากร่องทั้งสองจะมีค่าไม่เท่ากัน ดังนั้นสนามจะไม่เสริมกัน อย่างสมบูรณ์ เพราะไฟฟ้าจะไม่ตรงกันพอดี ด้วยเหตุนี้แบบรูปการแผ่กระจายคลื่นจึงมีลำคลื่นหลักที่มีค่าสูงสุด ในทิศทางตามแนวแกน  $y$



รูปที่ 2.6 ลักษณะของแบบรูปการแผ่กระจายคลื่นในระบบไกล  
ในระนาบสนาณไฟฟ้าจากแพทช์รูปสี่เหลี่ยมมุมฉาก



รูปที่ 2.7 โครงร่างที่ใช้ในการคำนวณแบบรูปการแผ่กระจายคลื่นในระนาบ  
สนาณไฟฟ้าและสนาณแม่เหล็กของร่องที่แผ่กระจายคลื่น

รูปที่ 2.7 เป็นการแสดงโครงร่างแบบสามมิติของร่องเดี่ยวโดยมุม  $\psi$  และ  $\theta$  สำหรับใช้ในการพิจารณาให้เป็นจุดอ้างอิงในการเขียนสมการ มิติของ  $a$  และ  $b$  ในสมการ (2.2) และ (2.3) จะสอดคล้องกับความกว้าง  $a$  และความยาว  $b$  ของสายอากาศแพทช์ที่ได้แสดงในรูปที่ 2.3 ความกว้างของร่อง  $h$  ในรูปที่ 2.7 จะสอดคล้องกับความหนาของชั้นสเตรทที่เป็นโครงสร้างตัวทิก ซึ่งเป็นระยะห่างระหว่างแพทช์จากผนังระนาบกราวด์ ดังแสดงในรูปที่ 2.1 และ 2.2

แบบรูปการแผ่กระจายคลื่นในรูปของสนาณไฟฟ้าสำหรับร่องสองร่อง ซึ่งมีการป้อนด้วยกระแสที่มีเฟสตรงกันและมีแอนเพลิจูดเท่ากัน จะสามารถกำหนดได้ด้วยสมการ

$$F_{patch}(\phi) = \frac{\sin\left(\frac{\beta h}{2} \cos\phi\right)}{\frac{\beta h}{2} \cos\phi} \cos\left(\frac{\beta b}{2} \cos\phi\right) \quad (2.2)$$

โดยที่  $h$  คือ ความกว้างของร่อง (ซึ่งมีค่าเท่ากับความหนาของสารชั้นสตereoที่เป็นไดอะลิสต์ทริกของสายอากาศแพทท์ที่สมมูลกัน)

$b$  คือ ระยะห่างระหว่างสองสองร่อง (มีค่าเท่ากับความยาวของสายอากาศแพทท์)

$$\text{และ } \beta = \frac{2\pi}{\lambda}$$

แบบรูปการแผ่กระจายคลื่นของสนามแม่เหล็กได้ถูกกำหนดโดย

$$F_{patch}(\theta) = \frac{\sin\left(\frac{\beta a}{2} \cos\theta\right)}{\frac{\beta a}{2} \cos\theta} \sin\theta \quad (2.3)$$

โดย  $a$  เป็นความยาวของร่อง ซึ่งแบบรูปการแผ่กระจายคลื่นในระบบสนามไฟฟ้าและระบบสนามแม่เหล็กในทางทฤษฎีแสดงดังรูปที่ 2.8

#### 2.2.4 อิมพีเดนซ์ของสายอากาศไมโครสตอริป (Microstrip Antenna Impedance)

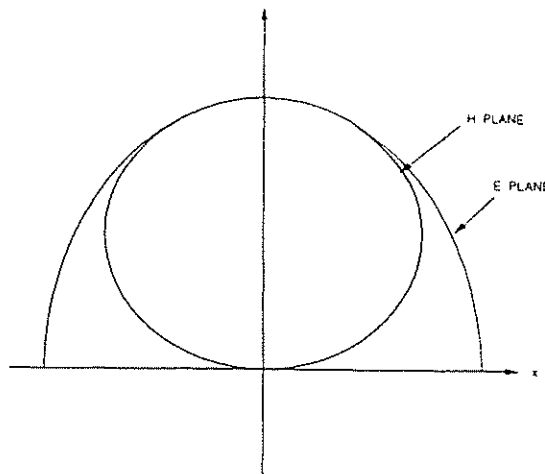
อินพุตอิมพีเดนซ์ของสายอากาศแบบร่องสองสองร่อง และของสายอากาศแพทท์รูปสี่เหลี่ยมนูนจะหา  $\lambda/2$  จะถูกแสดงในรูปของค่าความต้านทานที่มีคุณสมบัติของการแผ่กระจายคลื่นที่ดี โดยที่ค่าความต้านทานที่อินพุต สามารถประมาณค่าได้ด้วยสมการ

$$R_{in} = \frac{60/\lambda_0}{a} = \frac{60/\lambda_0}{\lambda_0/2} = 120\Omega \quad (2.4)$$

โดยที่  $a$  เป็นความยาวของร่อง

$\lambda_0$  เป็นความยาวคลื่นในช่องว่างอิสระ

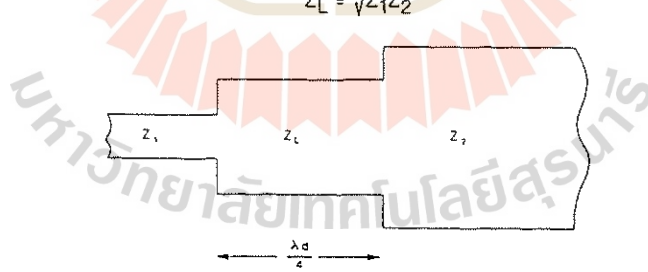
ในทางอุคณคิดค่าอินพุตอิมพีเดนซ์ของสายอากาศแพทท์จะมีค่าประมาณ  $120\Omega$  ดังนั้นค่าอิมพีเดนซ์ของตัวป้อนสัญญาณแบบไมโครสตอริปหรือของสายโคงแอ็อกเชียลที่นำมาต่อ ก็จะมีค่า  $120\Omega$  ด้วย อย่างไรก็ตามในการที่จะต่อสายโคงแอ็อกเชียล  $50\Omega$  เข้ากับเครื่องมือวัดและทดสอบสายอากาศ จำเป็นต้องใช้สายนำสัญญาณแบบไมโครสตอริปที่มีค่าอิมพีเดนซ์  $50\Omega$  ด้วย



รูปที่ 2.8 แบบรูปการแผ่กระจายคลื่นในระบบสนามไฟฟ้าและสนามแม่เหล็กทางทฤษฎีของร่องสองร่องที่ถูกป้อนด้วยกระแสที่มีเฟสตรงกันและแอมเพลจูดเท่ากัน  
( $b = \lambda_d/2$  โดยที่  $\lambda_d < \lambda$ )

เพื่อที่จะแมตช์ค่าอิมพีเดนซ์ระหว่างสายนำสัญญาณแบบไมโครสตริป  $50 \Omega$  กับสายอากาศแพทช์ที่มีค่าอิมพีเดนซ์  $120 \Omega$  จำเป็นต้องใช้เส้นสตริปที่มีความยาว  $\lambda/4$  ของความยาวคลื่น เทคนิคง่ายๆ ที่จะทำให้การแมตช์ค่าอิมพีเดนซ์ในช่วงความถี่แคบๆ สามารถทำได้โดยใช้สมการซึ่งเป็นความสัมพันธ์ระหว่าง  $Z_1$  และ  $Z_2$  และอิมพีเดนซ์  $Z_L$  ของเส้นสตริปที่ยาว  $1/4$  ของความยาวคลื่น นั่นคือ

$$Z_L = \sqrt{Z_1 Z_2} \quad (2.5)$$

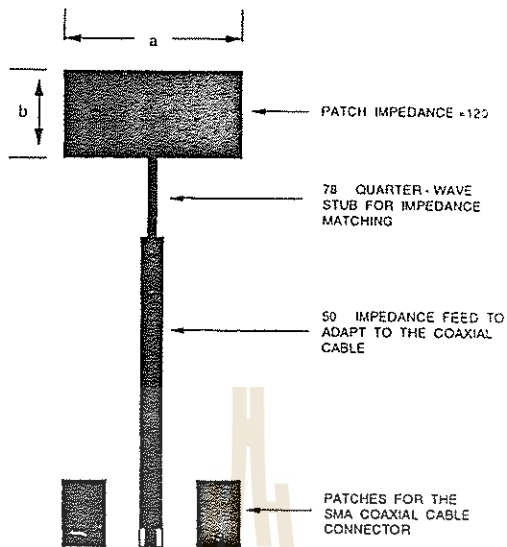


รูปที่ 2.9 เส้นสตริปที่ยาว  $1/4$  ของความยาวคลื่นสำหรับแปลงอิมพีเดนซ์  $Z_L$   
เพื่อไปแมตช์กับ  $Z_1$  และ  $Z_2$

ถ้า  $Z_1$  คือ ค่าอิมพีเดนซ์ของสายโคล杏กหรือสายนำสัญญาณแบบไมโครสตริปซึ่งมีค่า  $50 \Omega$  และถ้า  $Z_2$  คือ ค่าอิมพีเดนซ์ของสายอากาศในไมโครสตริปแพทช์ที่มีค่า  $120 \Omega$  ดังนั้นค่าอิมพีเดนซ์ของสายนำสัญญาณแบบไมโครสตริปที่มีความยาว  $1/4$  เท่าของความยาวคลื่นที่ใช้ต่อระหว่างสายนำสัญญาณแบบไมโครสตริปและแพทช์จะมีค่าเท่ากับ

$$Z_L = \sqrt{Z_1 Z_2} = \sqrt{(50)(120)} = 78 \Omega \quad (2.6)$$

ในรูปที่ 2.10 เป็นการแสดงลักษณะของสายอากาศแพทท์เดียวที่ใช้ในปฏิบัติการ รวมทั้งเส้นสตริปที่มีความยาว  $1/4$  เท่าของความยาวคลื่นและมีอินพิดเอนซ์เป็น  $78 \Omega$



รูปที่ 2.10 สายอากาศแพทท์เดียวที่ใช้ในปฏิบัติการ

## 2.2.5 สารไอดอลิสติกที่ใช้เพิ่มความแข็งแรงและป้องกันไม้ให้สายอากาศเสียหาย

### (Dielectric Materials used for Antenna Protection and Strengthening)

ในบางครั้งเรามีความจำเป็นที่จะต้องเพิ่มความแข็งแรงและป้องกันความเสียหายให้สายอากาศ ซึ่งความต้องการดังกล่าวจะขึ้นอยู่กับชนิดของสายอากาศ รวมทั้งความต้องการในการใช้งานแต่ละประเภทที่แตกต่างกัน มีวัสดุหลายชนิดที่ถูกนำมาใช้เพื่อวัตถุประสงค์ดังกล่าว โดยมีร่าโดม (Radome) ซึ่งเป็นตัวอย่างหนึ่งที่ใช้ในวัตถุประสงค์นี้ โดยทำจากวัสดุซึ่งมีความแข็งแรงทนทานสูง ในขณะเดียวกันต้องยอมให้สัญญาณความถี่วิทยุผ่านไปได้อย่างมีประสิทธิภาพด้วย

ในบางสถานการณ์ ความโปร่งใสของวัสดุก็ถือว่ามีความจำเป็นต่อการเดินทางของคลื่นแม่เหล็กไฟฟ้าด้วย เช่น ส్ಟაటోโฟమ (Styrofoam) ซึ่งมีความหนาแน่นในการใช้งานสำหรับเพิ่มความแข็งแรงให้กับสายอากาศชนิดเกลียวที่ความถี่สูง ( $\sim 10 \text{ GHz}$ ) เพราะพบว่าสัญญาณย่านความถี่วิทยุสามารถผ่านได้ดี

ในการเลือกวัสดุที่ใช้สำหรับเพิ่มความแข็งแรงและใช้ในการป้องกันความเสียหายของสายอากาศ ต้องแรกที่ต้องพิจารณาค่าคงที่ของสาร ไอดอลิสติกของวัสดุและค่าการสูญเสียสัมผัส (Loss Tangent) ซึ่งเป็นพิองก์ชั้นของความถี่และความหนาแน่นของสาร ไอดอลิสติก การเลือกวัสดุที่จะนำมาใช้จะต้องมีความแข็งแรงเพียงพอและให้ประสิทธิภาพสูงสุด ตารางที่ 2.1 จึงได้แสดงชนิดของวัสดุต่างๆ และค่าคงที่ไอดอลิสติกของมัน เพื่อนำไปใช้ประโยชน์ในการออกแบบต่อไป

ตารางที่ 2.1 ค่าคงที่ของสารไดอิเล็กทริกของวัสดุต่างๆ (ที่ความถี่ 10 GHz)

Material	Dielectric constant
Porcelain	4.74
E glass	6.11
Water (room temperature)	80
Styrofoam 103.7	1.03
Bakelite	3.52
Duroid 5650	2.65
Epoxy resin RN-48	2.91
Fiberglass, laminated BK-174	4.37
Lexan	2.86
Plexiglass	2.59
Teflon	2.08

ในบางกรณีการสะท้อนกลับของคลื่นจะมีผลกับวัสดุที่ใช้ในการป้องกันความแข็งแรงด้วย หัวเข็มขัดยึดระเบิดทางระหว่างวัสดุที่ใช้เสริมความแข็งแรงและป้องกันการสะท้อนกลับของสายอากาศที่เกิดขึ้น ว่า สัญญาณที่รับได้จะหักล้างกันเพียงบางส่วนหรือมีการเสริมกัน ซึ่งขึ้นอยู่กับเฟสสัมพัทธ์ของสัญญาณที่รับได้ และสัญญาณที่สะท้อนกลับ

### 2.3 สรุป

ในหน่วยการเรียนรู้นี้ ผู้ศึกษาได้เข้าใจและรับทราบถึงเทคโนโลยีของสายอากาศไมโครสตริป ได้ศึกษาคุณลักษณะที่สำคัญต่างๆ ของสายอากาศนิดนึง เข้าใจผลกระทบจากขนาดของแพทช์ที่มีต่อประสิทธิภาพของสายอากาศ และสุดท้ายได้ศึกษาผลกระทบของരะดูมที่มีต่อแบบรูปการแผ่กระจายคลื่นของสายอากาศ

### 2.6 คำถามหลังการเรียนรู้

- พารามิเตอร์อะไรบ้างที่มีผลต่อความถี่เร ไซแนนซ์และคุณลักษณะการแผ่กระจายคลื่นของสายอากาศไมโครสตริป
- ลักษณะที่คล้ายคลึงกันแบบใดที่ใช้ในการคำนวณหาคุณลักษณะของสายอากาศไมโครสตริปที่เป็นแพทช์รูปสี่เหลี่ยมนูนลาก
- จงอธิบายโน้มน้าวการแผ่กระจายคลื่นของสายอากาศแพทช์รูปสี่เหลี่ยมนูนลาก
- จะทำย่างไร จึงจะสามารถเชื่อมต่อสายอากาศไมโครสตริปแบบแพทช์รูปสี่เหลี่ยมนูนลากที่มีอินพีเดนซ์ 120 โอมม์ เข้ากับสายนำสัญญาณไมโครสตริปที่มีอินพีเดนซ์ 72 โอมม์
- จงอธิบายถึงการเปลี่ยนแปลงของสัญญาณที่รับได้ เมื่อเปลี่ยนแปลงระยะห่างระหว่างสายอากาศและ raided ที่เป็นแผ่นกระจกเพล็กต์

## หน่วยที่ 3-3

### สายอากาศแคลดับบ์แบบระนาบในโครงสร้าง

#### (Microstrip Planar Array Antennas)

##### 3.1 วัตถุประสงค์

ในหน่วยสุดท้ายนี้ ต้องการให้ผู้ศึกษาได้ศึกษาคุณสมบัติของสายอากาศแบบแคลดับบ์แบบระนาบ ซึ่งสร้างขึ้นโดยใช้เทคโนโลยีของสายอากาศในโครงสร้าง (Microstrip Antenna) ผู้ศึกษาจะได้เข้าใจถึงหลักการในการสร้างและจำแนกตัวประกอบแคลดับบ์ที่เกิดจากองค์ประกอบแต่ละตัวและการป้อนแหล่งกำเนิดที่มีแอมเพลจูดแตกต่างกัน ซึ่งส่งผลต่อแบบรูปการแผ่กระจายคลื่นแบบเชิงข้อ (Polar Radiation Pattern) นอกจากนี้จะได้ศึกษาคุณลักษณะของการป้อนสัญญาณให้กับสายอากาศแคลดับบ์ในโครงสร้าง ทั้งวิธีการป้อนสัญญาณแบบบานานและการป้อนสัญญาณแบบอนุกรม

##### 3.2 ทฤษฎี

จากหน่วยที่ 1 ได้มีการศึกษาเกี่ยวกับแนวความคิดทางทฤษฎีของตัวประกอบแคลดับบ์ ซึ่งตัวประกอบแคลดับบ์ (Array Factor) นี้ จะมีผลต่อการเปลี่ยนแปลงลักษณะแบบรูปการแผ่กระจายคลื่นโดยรวมของสายอากาศอย่างมาก โดยเฉพาะเมื่อกำหนดรูปร่างของแคลดับบ์ ซึ่งจะเห็นได้ว่าแบบรูปการแผ่กระจายคลื่นโดยรวมของสายอากาศสามารถหาได้จากการคูณแบบรูปการแผ่กระจายคลื่น ซึ่งได้จากการคูณระหว่างแบบรูปการแผ่กระจายคลื่นขององค์ประกอบเดี่ยวและตัวประกอบแคลดับบ์

ในหน่วยที่ 2 เป็นการเปรียบเทียบระหว่างสายอากาศในโครงสร้างชนิดสี่เหลี่ยมผืนผ้า (Rectangular Microstrip Antenna) กับสายอากาศแบบหอน้ำคลื่นที่ประกอบด้วยร่อง 2 ร่อง (Two-Slot Waveguide Antenna) เพื่อจากสายอากาศทั้งสองมีลักษณะเป็นคู่สัมมูลยกัน ดังนั้นแบบรูปการแผ่กระจายคลื่นจึงเหมือนกัน

แบบรูปการแผ่กระจายคลื่นในระบบสนามไฟฟ้าสำหรับร่องทั้งสองร่องที่ป้อนด้วยแหล่งกำเนิดที่มีเฟสเดียวกันและแอมเพลจูดที่เท่ากันจะมีค่าเท่ากับแบบรูปการแผ่กระจายคลื่นในระบบสนามไฟฟ้าของร่องเดี่ยวคูณกับตัวประกอบแคลดับบ์สำหรับสององค์ประกอบ ซึ่งสามารถแสดงเป็นสมการได้ดัง

$$F_{patch}(\phi) = \underbrace{\frac{\sin\left(\frac{\beta h}{2} \cos \phi\right)}{\frac{\beta h}{2} \cos \phi}}_{E - plane radiation array factor} \underbrace{\cos\left(\frac{\beta h}{2} \cos \phi\right)}_{Pattern of one slot} \quad (3.1)$$

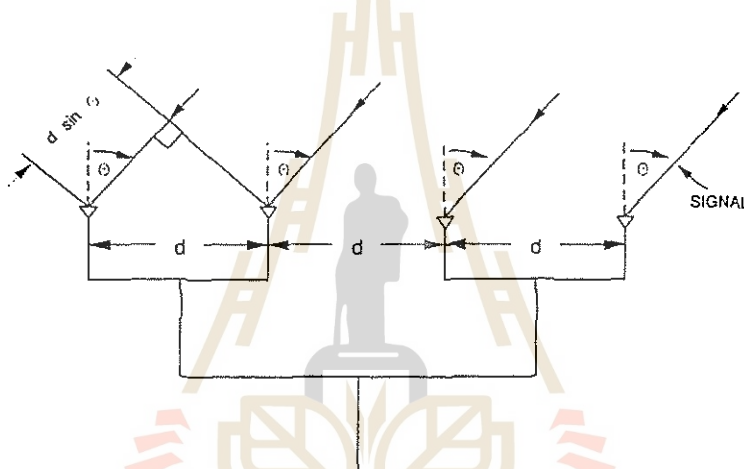
โดยที่  $n$  คือ ความกว้างของร่อง (จะเท่ากับความหนาของสารชั้นสเตรทที่เป็นไดอิเล็กทริกของสายอากาศแบบแผ่นที่สมมูลกัน)

$b$  คือ ระยะห่างระหว่างร่อง

$$\text{และ } \beta = \frac{2\pi}{\lambda}$$

### 3.2.1 ตัวประกอบแคลว์ดับ (The Array Factor)

เพื่อทำความเข้าใจในการคำนวณตัวประกอบของแคลว์ดับให้มากขึ้น เราจะพิจารณาในกรณีของ แคลว์ดับเชิงเส้นที่มีระยะห่างระหว่างองค์ประกอบเท่ากันทั้งหมดเท่ากัน  $d$  ดังแสดงในรูปที่ 3.1 ซึ่งสัญญาณที่รับได้จะเป็นสานะระยะใกล้และชี้ในทิศทางบรรด้วย (Broadside;  $\theta = 0$ ) และระยะห่างระหว่างองค์ประกอบไปยังแหล่งกำเนิดถูกกำหนดให้มีค่าเท่ากัน ดังนั้นกระแสที่เกิดขึ้นในแต่ละองค์ประกอบจะเสริมกัน เมื่อมีเฟสเหมือนกัน



รูปที่ 3.1 สายอากาศแคลว์ดับเชิงเส้นที่ประกอบด้วย 4 องค์ประกอบ

ในรูปที่ 3.1 เมื่อ  $\theta$  มีค่ามากกว่าศูนย์ ระยะห่างจะไม่เท่ากัน ซึ่งองค์ประกอบของความมีจังหวะมากกว่า องค์ประกอบข้างมือที่อยู่ตัดกันเป็นระยะ  $d \sin \theta$  ซึ่งความแตกต่างของระยะห่างดังกล่าวจะมีผลให้เกิดความแตกต่างของเฟสของกระแสในแต่ละองค์ประกอบนั้น โดยความต่างเฟส จะมีค่าเท่ากัน

$$\psi = \beta d \sin \theta \quad (3.2)$$

ตัวประกอบแคลว์ดับ  $AF$  สำหรับแคลว์ดับแบบเชิงเส้นที่ประกอบไปด้วย  $N$  องค์ประกอบ สามารถ เก็บเป็นสมการได้คือ

$$AF = e^{j(N-1)\psi/2} \frac{\sin(N\psi/2)}{\sin(\psi/2)} \quad (3.3)$$

ตัวประกอบ  $e^{j(N-1)\psi/2}$  จะแสดงถึงการเลื่อนเฟสของแคลว์ดับจากจุดศูนย์กลางเมื่อเทียบกับจุดกำนิดเป็นจุดอ้างอิง ซึ่งตัวประกอบเฟสสามารถตัดทิ้งได้ ผลที่ได้จะกลายเป็น

$$AF = A_o \frac{\sin(N\psi / 2)}{\sin(\psi / 2)} \quad (3.4)$$

เมื่อ  $\psi = 0$  สมการ (3.4) จะมีค่าสูงสุดเป็น  $A_o N$  โดยการหารสมการ (3.4) ด้วยค่าสูงสุดดังกล่าว ค่าตัวประกอบแคลคูลัสที่ลูกนอร์แมลไลซ์  $f(\psi)$  ของค่าวัตถุประกอบแคลคูลัสที่ประกอบด้วย  $N$  องค์ประกอบที่มีระยะห่างระหว่างองค์ประกอบเท่ากันและมีการป้อนแหล่งกำเนิดที่มีเฟสเดียวกัน โดยมีจุดศูนย์กลางของแคลคูลัสอยู่ที่จุดกำเนิดจะมีค่าดังสมการ

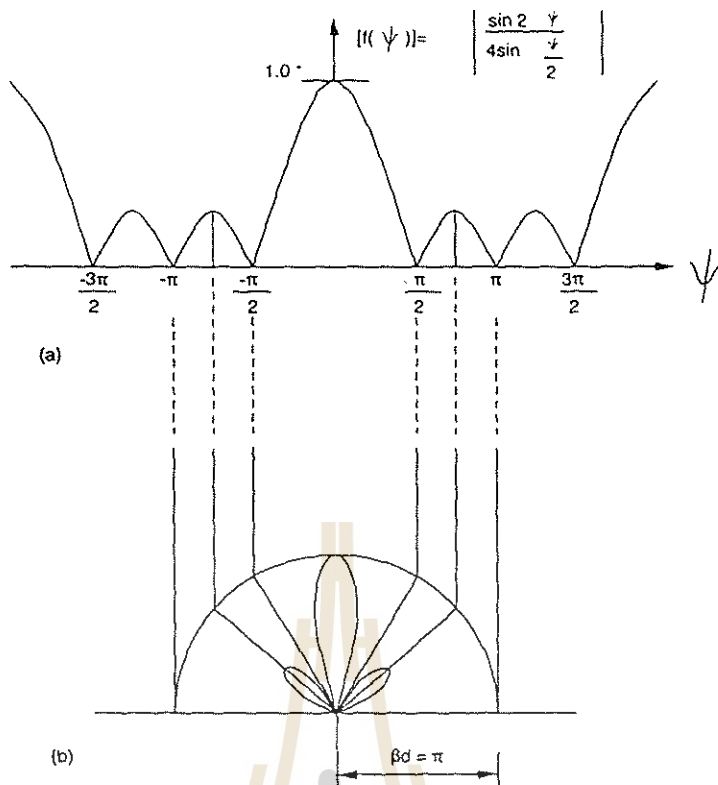
$$f(\psi) = \frac{\sin(N\psi / 2)}{N \sin(\psi / 2)} \quad (3.5)$$

กราฟของแบบรูปการแผ่กระจายคลื่นที่ลูกนอร์แมลไลซ์แล้วได้แสดงในรูปที่ 3.2(g) ซึ่งกราฟดังกล่าวจะแสดงการตอบสนองของสายอากาศที่เป็นฟังก์ชันของความต่างเฟส  $\psi$  ระหว่างองค์ประกอบที่อยู่ติดกันของแคลคูลัส ซึ่งผลการตอบสนองจะมีค่าสูงสุดเมื่อความแตกต่างเฟสเป็นศูนย์ทำให้แบบรูปการแผ่กระจายคลื่นที่ได้ชี้ไปในทิศทางบรรอดได้ดี

ด้วยวิธีเชิงกราฟ เราจะได้แบบรูปการแผ่กระจายคลื่นของสายอากาศดังแสดงในรูปที่ 3.2(h) ซึ่งเป็นแบบรูปการแผ่กระจายคลื่นแบบเชิงข้าม แบบรูปการแผ่กระจายคลื่นแบบนี้สามารถสร้างได้โดยการหาดครึ่งวงกลมที่มีรัศมี  $\beta d$  ดังแสดงถัดลงมาจากแบบรูปการแผ่กระจายคลื่นแบบสี่เหลี่ยมนูนจาก ตัวอย่างเช่น ถ้าระยะห่างระหว่างองค์ประกอบเป็นครึ่งหนึ่งของความยาวคลื่น ค่ารัศมีจะเป็น  $\beta d = (2\pi / \lambda)(\lambda / 2) = \pi$

เมื่อหาดครึ่งวงกลมเสร็จ จะต้องหาดเส้นตรงในแนวตั้งจากจุดบนเส้นตัวประกอบแคลคูลัสไปยังเส้นรอบวงของครึ่งวงกลมจากจุดตัดของเส้นแนวตั้ง และที่เส้นรอบวงนี้จะลากเส้นอีกเส้นหนึ่งที่ต่อจากจุดกำเนิดของวงกลมไปยังเส้นรอบวง การลากเส้นสุดท้ายซึ่งเป็นระยะทางจากจุดกำเนิดไปยังจุดบนเส้นรอบวงนี้ จะเรียกว่า แอมเพลจูดของแคลคูลัส

ตัวอย่างเช่น ที่  $\psi = \pi/2$  ตัวประกอบของแคลคูลัสจะเป็นศูนย์เนื่องจากจุดบนกราฟเชิงข้ามอยู่ที่จุดกำเนิด ระหว่าง  $\psi = \pi/2$  และ  $\psi = \pi$  จะมีจุดสูงสุดของตัวประกอบแคลคูลัสซึ่งเป็นจุดสูงสุดของกราฟเชิงข้ามด้วย



รูปที่ 3.2 (ก) ตัวประกอบแคลดับสำหรับ 4 องค์ประกอบ

(ข) แบบรูปการแผ่กระจายคลื่น  $d = \lambda/2$

### 3.2.2 แคลดับแบบอนุกรมและแบบขนาน (Parallel and Series Arrays)

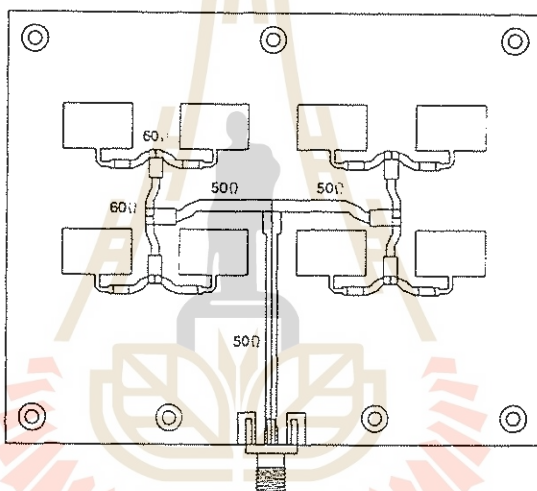
สายอากาศไมโครสตริป (Microstrip Antenna) ที่ใช้เป็นองค์ประกอบพื้นฐานของแคลดับ ในปฏิบัติการนี้ได้แบ่งเป็น 2 แบบ คือ สายอากาศแคลดับไมโครสตริปที่มีการป้อนกระแสเป็นแบบอนุกรม (Series-Fed) และที่มีการป้อนแบบขนาน (Parallel-Fed)

สายอากาศแคลดับแบบไมโครสตริปจะรวมถึงองค์ประกอบของไมโครสตริปหลายๆ ชิ้นและโครงข่ายการป้อนสัญญาณให้กับไมโครสตริป ซึ่งโครงข่ายการป้อนสัญญาณนี้จะรวมถึงองค์ประกอบแบบพาสซีฟ เช่น ตัวแบ่งกำลังงานและสายนำสัญญาณ รวมทั้งองค์ประกอบแบบแยกทีฟ เช่น ตัวเลื่อนเฟส ตัวขยายสัญญาณ ตัวกำเนิดสัญญาณ และตัวผสมสัญญาณ สำหรับเส้นสตริปที่ใช้ในการป้อนสัญญาณจะถูกต่อโดยตรงกับองค์ประกอบการแผ่กระจายคลื่น แต่จะไม่มีผลกระทบต่อแบบรูปการแผ่กระจายคลื่น

ข้อดีอย่างหนึ่งของสายอากาศไมโครสตริปคือ ทุกๆ องค์ประกอบของแคลดับและวงจรโครงข่ายการป้อนสัญญาณ สามารถที่จะอยู่รวมกันบนเดียวกันเดียวของแผ่นวงจรพิมพ์ ดังนั้นองค์ประกอบเป็นจำนวนร้อยๆ องค์ประกอบ สามารถรวมกันเป็นแคลดับได้โดยสิ้นเปลืองค่าใช้จ่ายน้อยมาก และส่วนที่เป็นแคลดับยังมีลักษณะที่บาง และที่สำคัญคือ สามารถบรรจุจำนวนองค์ประกอบได้เป็นปริมาณมาก จึงถือว่าแคลดับชนิดนี้จะมีสมรรถนะที่สูงมากเช่นกัน ข้อดีอีกประการหนึ่งของสายอากาศแคลดับคือ ความแม่นยำซึ่งเกิดจากแคลดับทั้งหมด ได้ถูกสร้างจากส่วนของทองแดงเพียงชิ้นเดียว ดังนั้นปัญหาจากการเหลื่อมล้าของการเชื่อมต่อ กันจึงมีน้อยมาก แต่อย่างไรก็ตามสายอากาศไมโครสตริปที่เป็นแพทช์อย่างง่ายเมื่อประกอบ

กันเป็นแคลดี้บบ์ไม่โกรสติปแล้วจะมีแทนความถี่ใช้งานแคนบมาก ดังนั้นแคลดี้บบ์ไม่โกรสติปจะใช้งานเพียงความถี่ใดความถี่หนึ่งเท่านั้น

ในสายอากาศแคลดี้บบ์ไม่โกรสติปที่มีการป้อนแบบบานาน องค์ประกอบจะถูกป้อนในแนวที่ขนานกัน จึงทำให้ได้ความสัมพันธ์ที่แท้จริงของเฟส ซึ่งโดยปกติจะมีการป้อนໄว้มีเฟสตรงกันเพื่อที่จะสร้างลำคลื่นหลักให้ตั้งฉากกับระยะของตัวแคลดี้บบ์ และเพื่อหลีกเลี่ยงความด่างไฟฟ้าที่อาจจะเกิดขึ้นระหว่างองค์ประกอบนั้น จึงต้องทำให้เกิดความสมมาตรระหว่างสายนำสัญญาณและองค์ประกอบด้วย ซึ่งโครงสร้างที่มีลักษณะรูปต้นไม้ (Tree-Like Structure) หรือที่เรียกว่า การป้อนสัญญาณแบบเป็นกลุ่ม (Corporate Feed) จะให้กำลังงานที่แผ่กระจายออกไปมีไฟเดียวกัน ซึ่งปัญหาเหล่านี้จะสัมพันธ์กับเนื้อที่บันแพ่นพิมพ์เมื่อจำนวนองค์ประกอบมีขนาดใหญ่มาก สำหรับในการปรับแต่งชั้นอินพิคเคนซ์จะใช้ตัวแปลงที่เรียกว่า ตัวแปลงชนิดที่มีความยาวหนึ่งในสี่ของความยาวคลื่น (Quarter-Wavelength Transformers) ซึ่งจะทำให้องค์ประกอบทั้งหมดมีค่าอินพิคเคนซ์เป็น 50 Ω ให้ใช้ป้อนสัญญาณให้กับสายอากาศ



รูปที่ 3.3 แคลดี้บบ์ของแพทช์ไม่โกรสติป

อีกวิธีการหนึ่งซึ่งใช้ในการป้อนกระแสให้กับแพทช์ไม่โกรสติปก็คือ เชื่อมต่อแต่ละองค์ประกอบของแคลดี้บบ์แบบอนุกรม แต่การเชื่อมต่อแคลดี้บบ์แบบอนุกรมนี้จะมีความซับซ้อนในการออกแบบมากกว่าแคลดี้บบ์ที่ถูกป้อนหรือเชื่อมต่อแบบบานาน เพราะว่าจะไม่เกิดความอิสระระหว่างองค์ประกอบ โดยแต่ละแพทช์จะถูกมองให้เป็นร่องสองร่องและผลของการเชื่อมต่อระหว่างแพทช์จะถูกพิจารณาในการหาค่าอินพิคเคนซ์ที่เปลี่ยนไปด้วย

สำหรับแคลดี้บบ์ที่มีป้อนแบบบานานนั้น การสูญเสียจากการป้อนสัญญาณจะไปจำกัดการเพิ่มขึ้นของค่าอัตราขยายที่คาดว่าจะเกิดขึ้นจากการเพิ่มจำนวนองค์ประกอบเป็นสองเท่า การสูญเสียเหล่านี้เป็นการสูญเสียที่เกิดจากการเชื่อมต่อชนิดตัวเหนี่ยวนำและชนิดตัวเก็บประจุระหว่างสายนำสัญญาณที่เกิดขึ้นเป็นจำนวนมาก สำหรับแพทช์ที่มีการป้อนสัญญาณแบบอนุกรมการเชื่อมต่อระหว่างแพทช์จะมีลักษณะเป็นเชิงเส้น และมีปัญหาน้อยกว่า

การป้อนสัญญาณทั้งสองแบบสามารถนำมาร่วมกันได้ เพื่อให้เป็นการป้อนสัญญาณของเดาลำดับแบบผสมหรือแบบขนานอนุกรม ซึ่งได้รวมข้อดีของการรวมสัญญาณเข้าด้วยกันไว้ แต่อัศัยการป้อนสัญญาณแบบอนุกรมจำนวนมากๆ มาต่อขนานกัน ทำให้เราสามารถออกแบบแบบแลวลำดับขนาดใหญ่โดยลดความซับซ้อนของวงจรป้อนสัญญาณ และลดการสูญเสียอันเนื่องมาจากการเดินทางของคลื่นได้

### 3.3 สรุป

จากความรู้ที่ผ่านมาในหน่วยนี้ ผู้ศึกษาได้เข้าใจวิธีการสร้างสายอากาศไมโครสตริปให้เป็นแบบแลวลำดับทั้งแบบอนุกรมและแบบขนาน ได้ศึกษาถึงการควบคุมแบบรูปการแผ่นกระดาษกำลังงานของสายอากาศชนิดนี้ด้วยการปรับที่ระยะห่างระหว่างองค์ประกอบของสายอากาศและวิธีการป้อนแหล่งกำเนิดให้กับแต่ละองค์ประกอบ

### 3.4 คำถามหลังปฏิบัติการ

- 1) จงอธิบายการโพล่าไรซ์ของสายอากาศแลวลำดับแบบระนาบชนิดไมโครสตริปที่ใช้ในการทดลองนี้
- 2) จงอธิบายสิ่งที่ต้องคำนึงถึงในการออกแบบสายอากาศแลวลำดับเพื่อให้มีพิเศษของลำดับนี้แต่กระจายไปในทิศทางที่ตั้งฉาก
- 3) ข้อดีที่สำคัญของการพัฒนาสายอากาศแลวลำดับโดยใช้เทคโนโลยีไมโครสตริปคืออะไร
- 4) การป้อนแบบเป็นกลุ่ม (Corporate Feed) คืออะไร และทำไ่มีจุดนิยมใช้ในการออกแบบสายอากาศแลวลำดับของไมโครสตริปที่มีการป้อนแบบขนาน
- 5) องค์ประกอบที่ควรพิจารณาในการปรับปรุงสายอากาศแลวลำดับไมโครสตริปที่มีการป้อนสัญญาณแบบอนุกรมคืออะไร

## เอกสารอ้างอิง

1. Lab-Volt's Staff, *Antenna Fundamentals*, 1<sup>st</sup> Ed., Quebec, Canada, 1996
2. C.A.Balanis, *Antenna Theory: Analysis and Design*, 2<sup>nd</sup> Ed., John Wiley & Sons, Inc., New York, 1997

## แหล่งวิทยากร

1. ผู้ช่วยศาสตราจารย์ ดร.รังสรรค์ วงศ์สรรค์, สาขาวิชาวิศวกรรมโทรคมนาคม สำนักวิชาวิศวกรรมศาสตร์ มหาวิทยาลัยเทคโนโลยีสุรนารี อำเภอเมือง จังหวัดนครราชสีมา 30000, โทรศัพท์/โทรสาร 0-4422-4392
2. ผู้ช่วยศาสตราจารย์ ดร.ชูวงศ์ พงษ์เจริญพาณิชย์, ภาควิชาวิศวกรรมโทรคมนาคม คณะวิศวกรรมศาสตร์ สถาบันเทคโนโลยีพระจอมเกล้าเจ้าคุณทหารลาดกระบัง ถนนฉลองกรุง เขตตลาดกระบัง กรุงเทพฯ 10520, โทรศัพท์ 0-2737-3000